

DOTT. GEOL. GIUSTI ARRIGO
42019 SCANDIANO (R.E.) - VIA CESARI, 18
TEL. (0522) 984819 - (348) 9109596
www.geogiusti.it arrigogiusti@alice.it



COMUNE DI SAN MARTINO IN RIO
(Provincia di Reggio nell'Emilia)

LOCALITÀ : VIA DONIZETTI - CAPOLUOGO

VARIANTE AL P.R.G.
AREA L3



COMMITTENTE : IMMOBILIARE R.B.R. s.n.c.

RELAZIONE GEOLOGICA E PERICOLOSITÀ SISMICA DI BASE

CONSULENZE NEL CAMPO GEOLOGICO GEOTECNICO ED ESTRATTIVO

Con riferimento agli accordi intercorsi con il Geom. Lorenzo Cattani di Prato di Correggio (RE), trasmetto la presente relazione geologica e sulla pericolosità sismica di base atta a definire le caratteristiche geomeccaniche e sismiche dell'area L3, sita in comune di San Martino in Rio (RE), oggetto di richiesta di variante al P.R.G. vigente.

(Foglio n° 5 - mappale n° 763)

MORFOLOGIA, PEDOLOGIA E CARATTERISTICHE CLIMATICHE

L'area in oggetto di studio, posta alla quota media di 34 m s.l.m., è ubicata nella periferia ovest dell'abitato di San Martino in Rio.

Più precisamente, viene qui esaminato un lotto di terreno di forma rettangolare sito in località Villanova, a Sud del Canale di Correggio, ad occidente di Via Forche e del Cavo Tresinaro, a valle di Via Lemizzone; l'accesso è da via G. Donizetti (cf. stralcio dalla C.T.R. in scala 1:5.000 elemento n° 201064 – San Martino in Rio; estratto di planimetria catastale in scala 1:2000 nonché ortofoto proposta sul frontespizio).

I suoli tipici di questa Unità Idrogeologica appartengono all'associazione dei “suoli alluvionali”. Si tratta di entisuoli, generalmente calcarei e sub alcalini, a prevalente tessitura limo-sabbiosa.

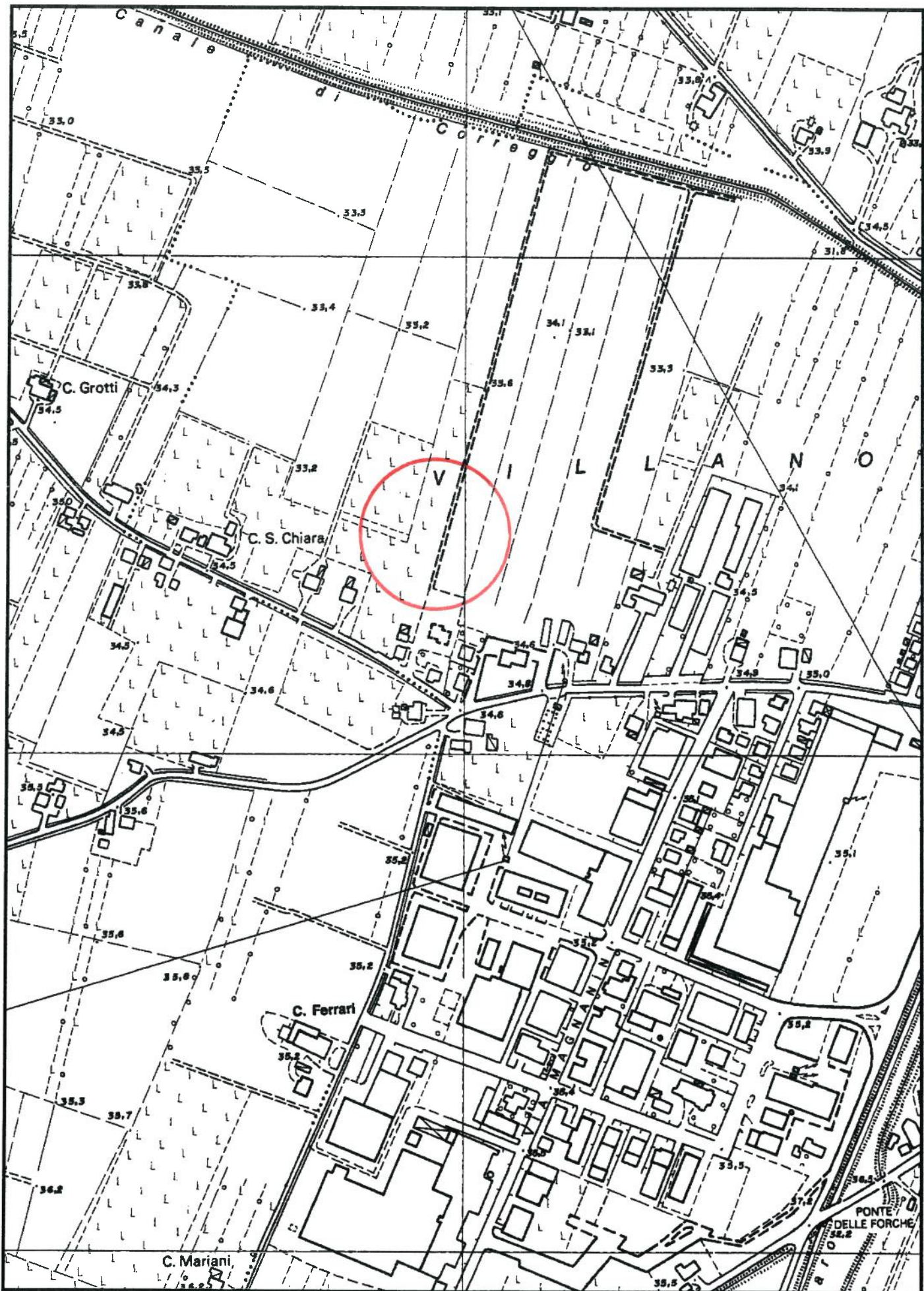
L'utilizzo prevalente è a seminativo; la potenzialità, piuttosto elevata, è limitata solamente dalla tessitura particolarmente fine.

Il regime pluviometrico della zona è di tipo continentale. Il valore medio annuo delle precipitazioni è di 683 mm con punte massime di piovosità in primavera (184 mm) ed in autunno (187 mm).

La temperatura media mensile annua è di 12.7 °C, con valori medi massimi di 29.8 °C, per il mese di luglio, e minimi di - 2.3 °C, per il mese di gennaio. L'escursione annua è quindi di 32.1 °C

STRALCIO DALLA C.T.R. IN SCALA 1: 5000

Elemento n° 201064 - San Martino in Rio



N=4955100

E=1640200



INQUADRAMENTO TETTONICO E CENNI DI GEOLITOLOGIA

L'intero territorio del Comune risulta compreso nel bacino subsidente pliocenico-quaternario della Pianura Padana, costituito da un'ampia depressione a stile compressivo colmata da sedimenti mesozoici, terziari e quaternari.

I litotipi che compongono il primo sottosuolo, in relazione alle evoluzioni idrografiche di fiumi e torrenti, hanno un andamento lentiforme, discontinuo, con passaggi laterali e verticali da una componente granulometrica all'altra più o meno graduali.

Dal punto di vista stratigrafico, il territorio in esame si presenta quindi di una complessità non trascurabile dovuta a migrazioni di fiumi e torrenti, al costipamento differenziato dei sedimenti fluviali, nonché al massiccio intervento antropico volto alla regimazione dei corsi d'acqua, con tutta una serie di deviazioni, canalizzazioni e bonifiche.

Consultando la cartografia geologica ufficiale, si può facilmente notare come il territorio in esame si trovi a SE dell'asse di un'anticlinale sepolta che, con direzione SW/NE, costituisce le ultime propaggini della dorsale ferrarese.

In questa località l'Agip Mineraria ha effettuato una serie di trivellazioni per la ricerca di idrocarburi il più profondo dei quali raggiunge i 2605 m.

I dati forniti da queste indagini hanno consentito di quantificare lo spessore dei sedimenti e delle alluvioni quaternarie in circa 1000 m, tuttavia, secondo quanto riportato dal "Rilevamento-studio delle risorse idriche sotterranee nel territorio della provincia di Reggio Emilia" edito dall'Amministrazione provinciale, il limite effettivo delle conoscenze stratigrafiche è di 220 m dal piano campagna.

Utilizzando una sezione riportata nello studio in precedenza citato, si nota che, a intervalli regolari, abbiamo numerosi livelli sabbiosi che si alternano alla prevalente massa limo-argillosa.

Caratteristica principale di questi sedimenti è infatti la prevalenza di materiali limo-argilosì rispetto a quelli permeabili.

La carta geologica del Servizio Geologico d'Italia (Foglio n° 74 - Reggio nell'Emilia), evidenzia come il territorio in esame si caratterizzi per la presenza, in superficie, di alluvioni oloceniche prevalentemente argillose.

In sintonia con questa classificazione, la "Carta della litologia di superficie" in scala 1 : 25.000 evidenzia che l'area in esame ricade al passaggio, verso settentrione e ad occidente, fra "depositi prevalentemente limosi con lenti sabbiose in subordine" e "depositi prevalentemente argillosi o argilloso-limosi", entrambi di età olocenica.

Le prove penetrometriche statiche, appositamente effettuate per accertare la reale natura del primo sottosuolo, hanno riscontrato che il deposito possiede una prevalente natura coesiva.

A limi ed argille ad elevata componente organica e torbosa si alternano tuttavia, soprattutto oltre i 10÷11 m, livelli di limi sabbiosi, sabbie limose e sabbie, talora anche in banchi, della potenza di circa 2 m, come quello attraversato dall'indagine CPT3 tra 11 m e 13 m.

Oltre 18÷19 m le penetrometrie hanno riscontrato un netto incremento della consistenza delle argille; visti i dati forniti dal sondaggio sismico a rifrazione tipo MASW, anche in questo caso, il deposito alluvionale può annettere lenti e banchi di sabbie cementate.

CARTA DELLA LITOLOGIA DI SUPERFICIE

(SCALA 1 : 25.000)

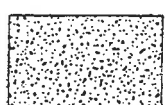
LEGENDA



Depositi prevalentemente argillosi o argilloso-limosi.
Olocene



Depositi prevalentemente limosi con lenti sabbiose
in subordine. Olocene



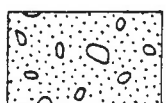
Depositi prevalentemente sabbiosi, con scarse lenti
di ghiaie fini e/o di limi. Pleistocene sup.-Olocene



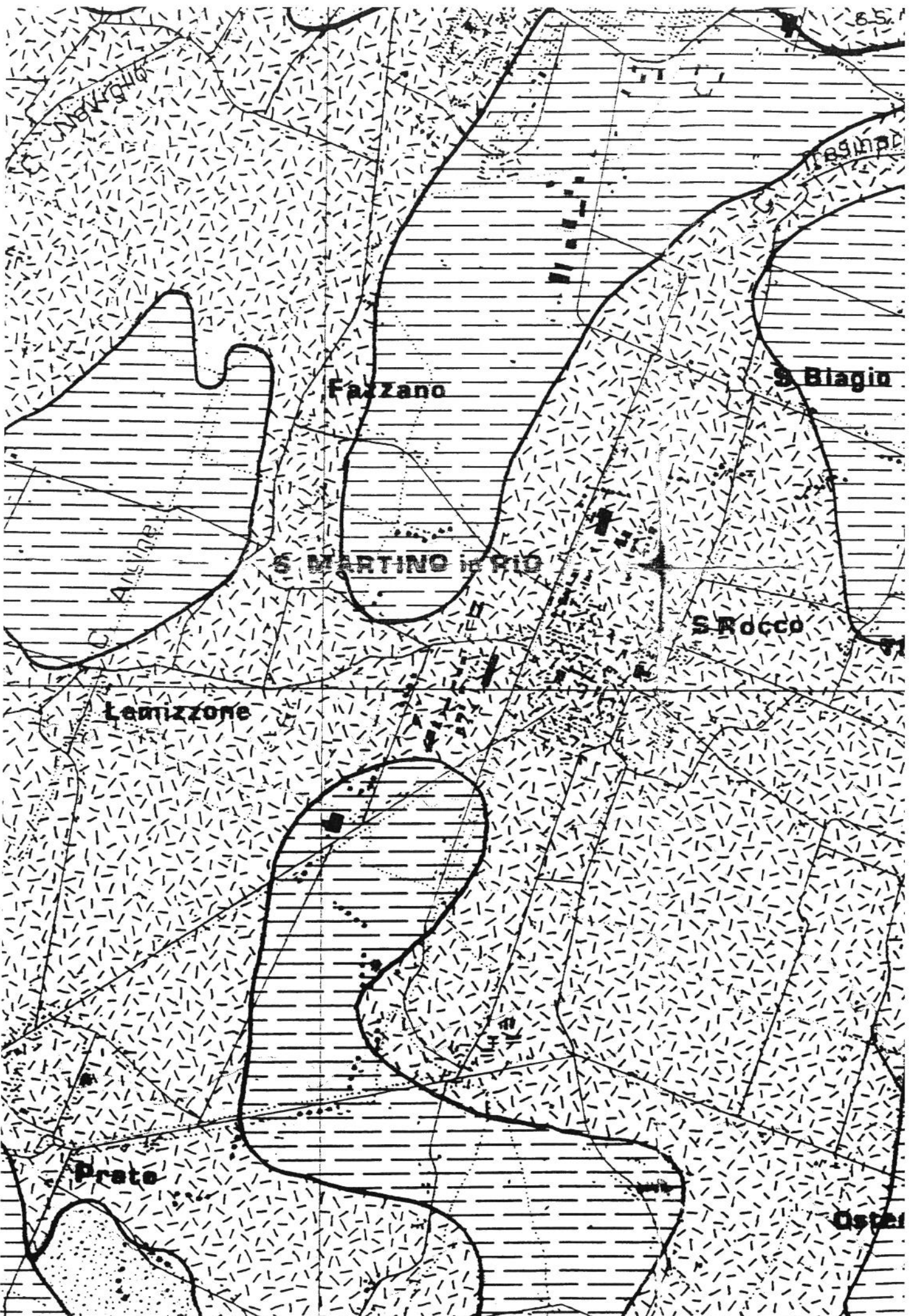
Depositi di ghiaie eterometriche alternati a
livelli con granulometria piu' fine.
Pleistocene sup. (Wurm)-Olocene



Ghiaie grossolane debolmente cementate con lenti
di sabbie e limi sabbiosi. Limi eolici (Loess)
dell' altopiano del Ghiardo. Riss



Conglomerati sabbioso-arenacei con clasti alterati.
Mindel



INQUADRAMENTO IDROGEOLOGICO

L’acquifero che si rinviene nel territorio del Comune di San Martino in Rio (RE) è ascrivibile all’Unità Idrogeologica della Media Pianura.

In realtà, quest’ultima è costituita da un insieme di unità idrogeologiche appenniniche, malamente individuabili e suddividibili, che possono essere accumunate in un’unica unità dalle caratteristiche abbastanza omogenee.

I limiti territoriali di questa zona sono infatti molto sfumati verso sud mentre sono abbastanza netti verso nord, a confine con l’Unità idrogeologica del Po.

La caratteristica principale di questa unità è la prevalenza di materiali limo-argillosi impermeabili rispetto a quelli permeabili: si tratta pertanto di una zona povera di acque sotterranee.

I materiali permeabili, acquiferi, sono rappresentati da sabbie (le ghiaie sono quasi assenti) in lenti sottili e discontinue. L’alimentazione delle falde è ancora di provenienza appenninica, dalle falde delle conoidi dell’Enza, del Secchia e dei corsi d’acqua minori; l’infiltrazione diretta, dal suolo, è invece molto limitata.

È altresì accertato che, a profondità superiori ai 300 metri, le falde hanno spessore e continuità maggiore, ma cambia sensibilmente il chimismo dell’acqua.

IDROGEOLOGIA LOCALE

I numerosi dati acquisiti con perforazioni per pozzi idrici e sondaggi geognostici effettuati nel territorio hanno consentito di ricostruire, per i primi 220 metri del sottosuolo, la serie idrogeologica locale.

La serie è stata ricreata nell’ambito di studi territoriali quali il “Rilevamento-studio delle risorse idriche sotterranee nel territorio della provincia di Reggio Emilia” - Edito dall’Amministrazione

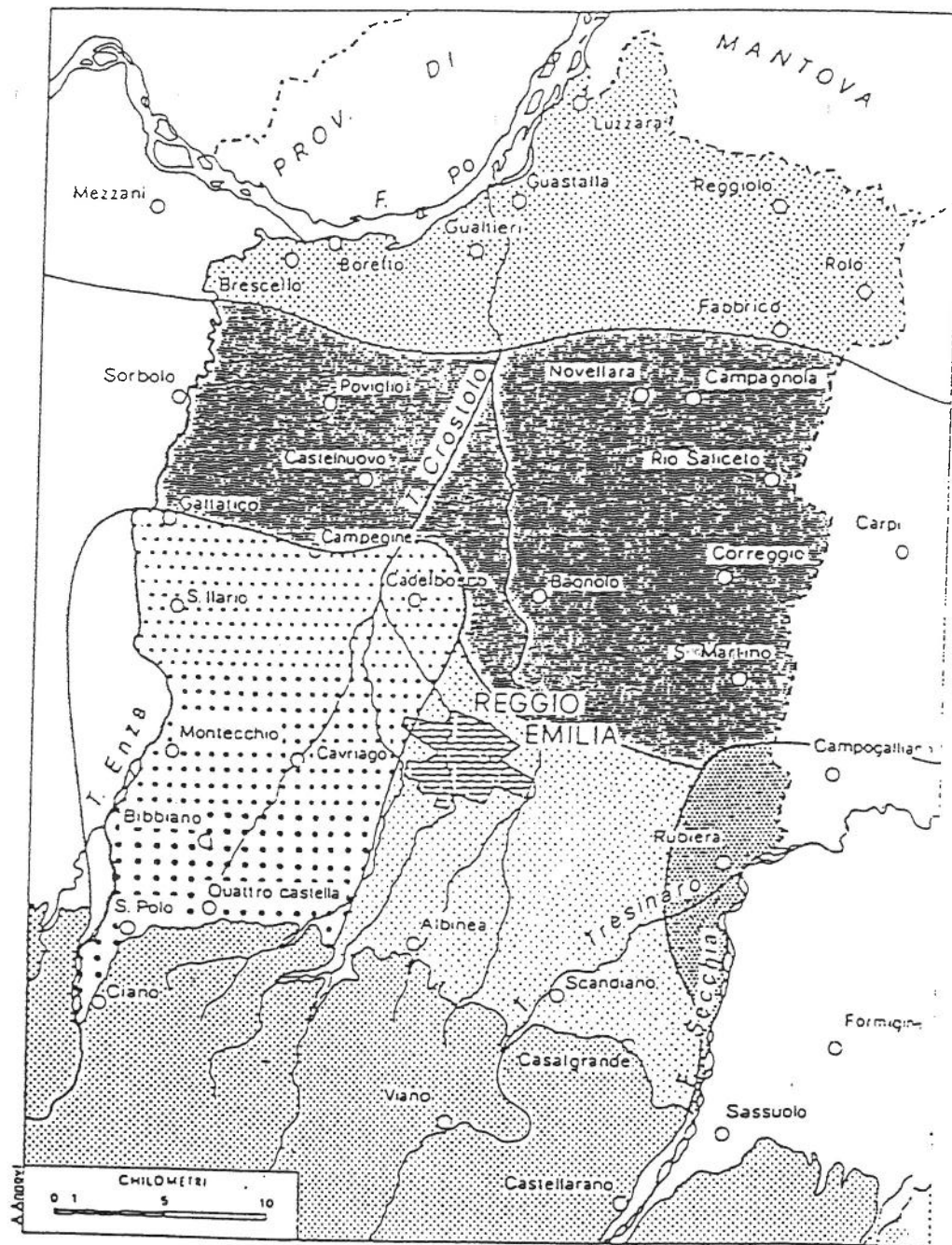
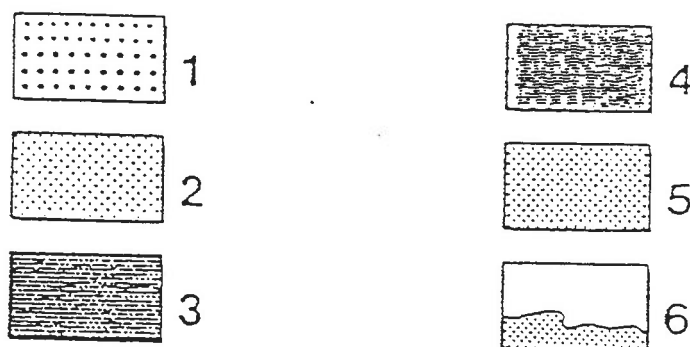


Figura 1) - Distribuzione delle unità idrogeologiche della pianura reggiana: 1) Unità idrogeologica del T. Enza; 2) Unità idrogeologica dei corsi d'acqua minori; 3) Unità idrogeologica del F. Secchia; 4) Unità idrogeologica della media pianura; 5) Unità idrogeologica del F. Po; 6) Terreni impermeabili del margine appenninico che delimitano a sud i bacini idrici sotterranei.



L'elaborato è tratto da "Indagine sullo stato delle acque sotterranee della pianura reggiana"; 1988 - Amministrazione Provinciale di Reggio nell'Emilia

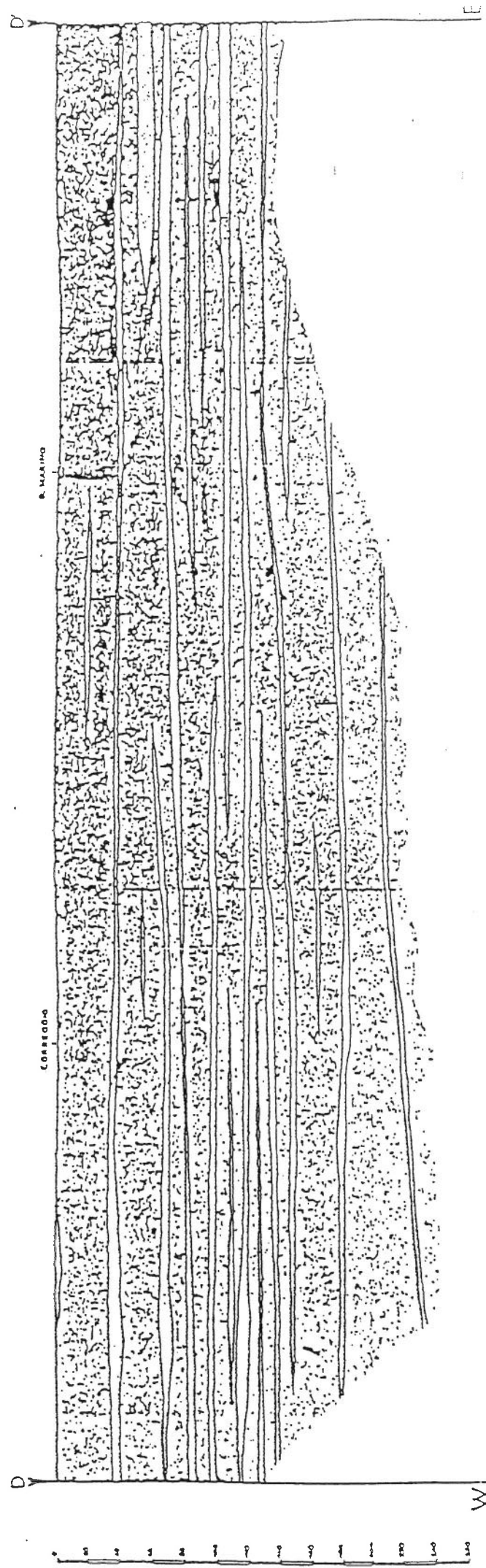
Provinciale di Reggio Emilia e lo “Studio geologico del territorio di media pianura: Comprensorio Carpi-Correggio”.

Come in precedenza accennato, nel territorio in esame, l’acquifero si caratterizza per l’alternanza di litotipi argillosi e argilloso-limosi con frequenti lenti di sabbia.

La serie può essere così sintetizzata:

- a) orizzonte a litologia variabile, della potenza di 15-20 metri, costituito da un’alternanza di livelli lentiformi formati da argille, torbe e sabbie medio-fini talvolta affioranti; all’interno del suddetto orizzonte è sempre presente, in livelli sabbiosi di paleoalveo a struttura spiccatamente lentiforme, l’acquifero freatico direttamente interessato da ricarica per infiltrazione dalla superficie;
- b) unità sostanzialmente impermeabile formata prevalentemente da limi e argille - potenza da 15 a 30 m;
- c) orizzonte permeabile, formato da sabbie fini, avente uno spessore variabile tra 3 e 6 m, che di solito si riscontra tra -35 e -45 m dal p.c.; è questo il primo acquifero artesiano che è tuttavia permeato da acque di qualità scadente;
- d) complesso impermeabile, dello spessore di 20/40 m, formato da livelli argillosi più o meno limosi con locali intercalazioni sabbioso fini limose;
- e) livello sostanzialmente sabbioso, della potenza di 3/6 metri, rinvenibile mediamente tra -60 e -80 m dal p.c., permeato da acque dolci;
- f) orizzonte impermeabile, della potenza di 25/35 m, che si riscontra tra -80 e -110 m dal p.c., che ingloba lenti sabbiose - sabbioso fini;
- g) unità permeabile sostanzialmente sabbiosa, della potenza di 2/5 m, rilevabile tra 90 e 120 m dal p.c.;
- h) insieme impermeabile, prevalentemente argilloso limoso, posto generalmente tra 120 e 160 m dal p.c.;
- i) livello permeabile, avente uno spessore medio di cinque metri, posto tra 160 e 190 metri dal p.c.;

L'elaborato è tratto da "Studio geologico del territorio di media pianura: Comprensorio Carpi - Correggio"



Legenda



litolipi prevalentemente argillosi e argilloso limosi



litolipi prevalentemente sabbiosi

- l) insieme impermeabile, prevalentemente argilloso limoso, avente uno spessore di 20/30 m, posto tra 180 e 210 m dal p.c.;
- m) livello permeabile, in litotipi prevalentemente sabbiosi, avente uno spessore di 3/8 m, posizionato tra 190 e 220 m dal p.c.

Come è facilmente intuibile, tale schematizzazione è puramente indicativa, vista l'estrema variabilità laterale e verticale dei depositi in esame.

IDROGEOLOGIA DELLA FALDA FREATICA

Come in precedenza evidenziato, sul territorio sono stati effettuati numerosi studi che, tra l'altro, si sono proposti di ricostruire, in dettaglio, l'assetto idrogeologico della falda freatica.

La morfologia della superficie freatica è stata pertanto desunta da rilevazioni del livello statico in pozzi a grande diametro.

In tal senso, il Prof. Maurizio Pellegrini, Ordinario di Geologia Applicata presso l'Università degli Studi di Modena, nell'indagine geologico-ambientale allegata alla Variante Generale al P.R.G., riprendendo studi in precedenza effettuati dal Prof. Sergio Tagliavini, per decenni docente di geologia dell'Università degli Studi di Parma, afferma che “Dalla morfologia della superficie freatica, possiamo notare che questa coincide con l'andamento della superficie topografica e presenta quindi un andamento complessivamente Sud/Ovest-Nord/Est, caratteristico di questo tratto della media pianura. I gradienti idraulici sono molto bassi e oscillano attorno a valori dell'1-3%”.

In effetti, la conformazione della falda freatica, oltre che dall'assetto topografico, è condizionata dall'andamento del substrato impermeabile, dai valori di trasmissività dell'acquifero, dal reticolo idrografico superficiale e dai terreni affioranti al piano campagna.

Nel territorio il deflusso delle acque presenta un andamento da sud verso nord in direzione di un'asse di drenaggio idrico sotterraneo principale che lambisce la periferia dell'abitato di San

Martino in Rio. Come si evince dalla carta delle isopieze freatiche, tratta dalla tav. G3 del P.S.C., si osserva poi come l'area in esame ricada ad occidente di uno spartiacque idrico sotterraneo principale (cf. stralcio in allegato).

La carta idrogeologica evidenzia altresì che, nel territorio in esame, la profondità dell'acqua di falda rispetto alla quota del piano campagna risulta essere posta a circa un metro di profondità rispetto alla quota del piano campagna.

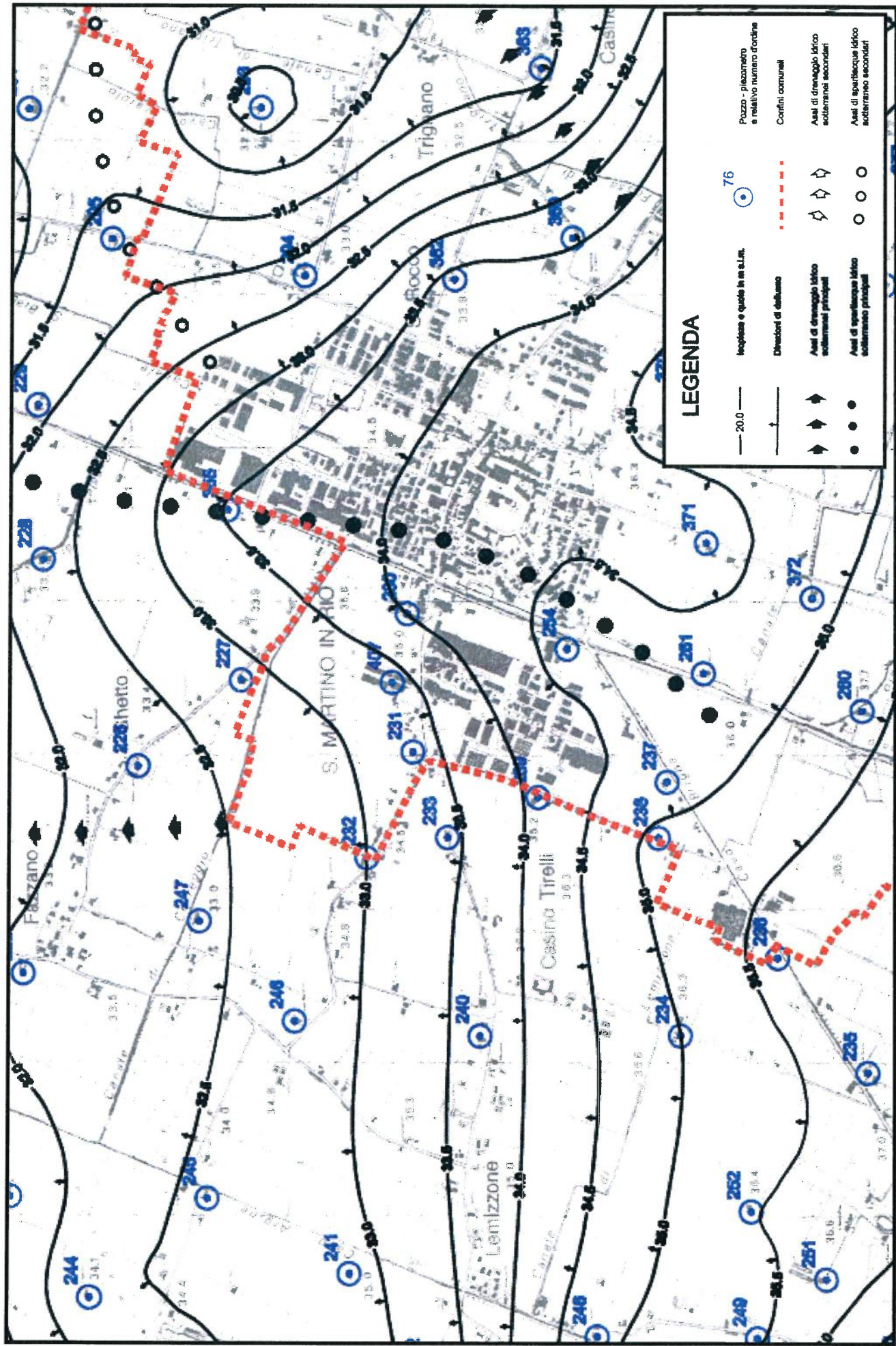
Sostanzialmente in sintonia con quanto segnalato da questa carta, misure effettuate nel foro di sonda al termine dell'indagine hanno accertato che il livello statico della falda si è in breve tempo posizionato alla profondità di 1.5÷1.9 m rispetto alla quota del piano campagna.

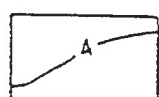
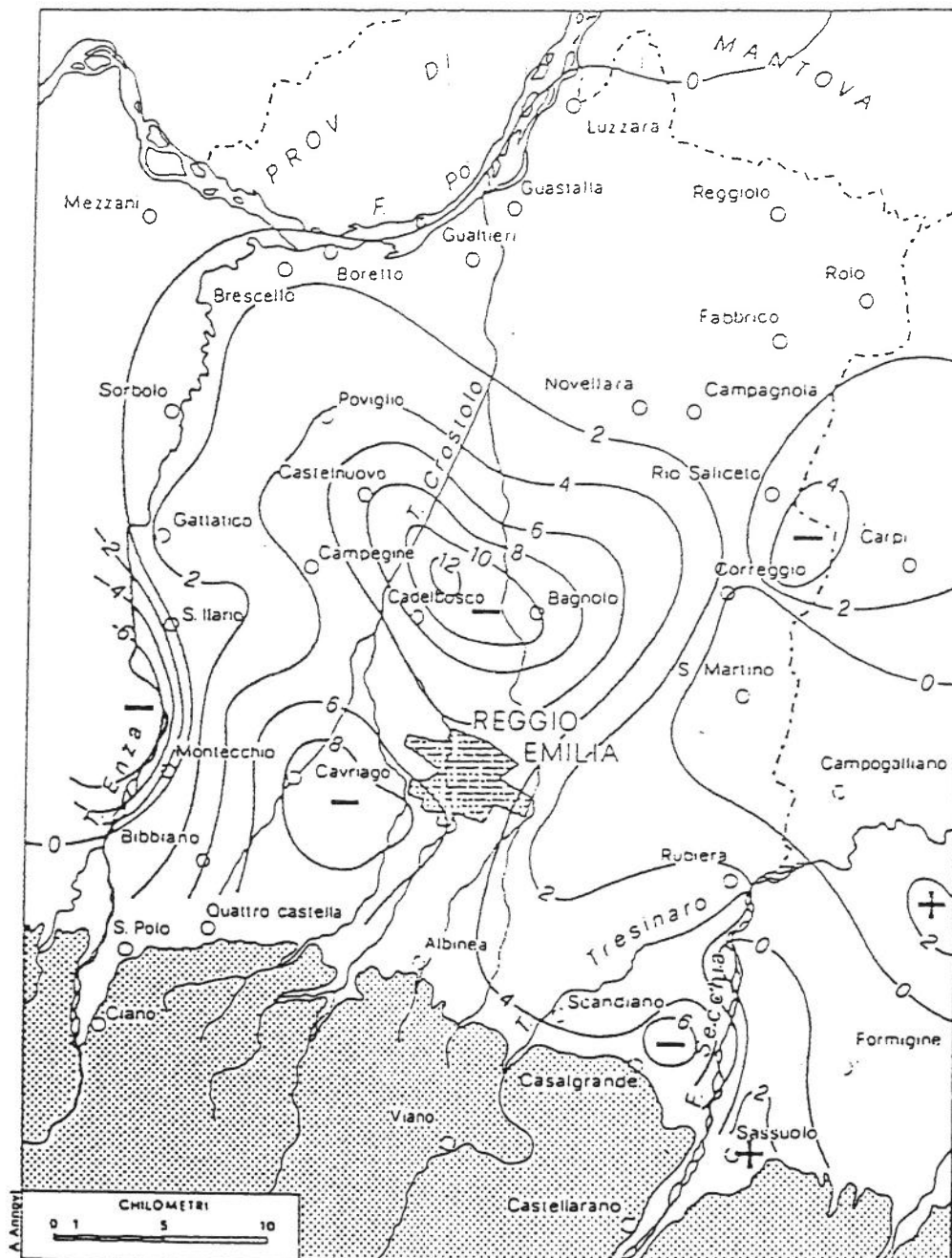
A prescindere da anomalie ascrivibili ad interventi di origine antropica tali da aver localmente alterato l'assetto idrogeologico del primo sottosuolo, che il territorio in esame non sia soggetto a variazioni del livello statico della falda ci viene testimoniato dalla Figura n° 2 tratta da "Indagine sullo stato delle acque sotterranee nella pianura reggiana; 1988 - Amministrazione Provinciale di Reggio Emilia". La carta evidenzia infatti che in San Martino in Rio, in direzione dell'abitato di Correggio, la variazione di livello statico delle falde sotterranee deve essere considerata nulla.

Dall'esame della "Carta delle aree storicamente inondate dal 1936 al 2006" (Tav. n° 6, allegato n° 6) del QC del PTCP vigente si evince poi che il lotto di terreno in esame non ricade in un contesto di aree storicamente inondabili.

CARTA DELLE ISOPIEZE DELLA FALDA FREATICA

Stralcio tratto dalla tav. G3 del P.S.C.





1



2

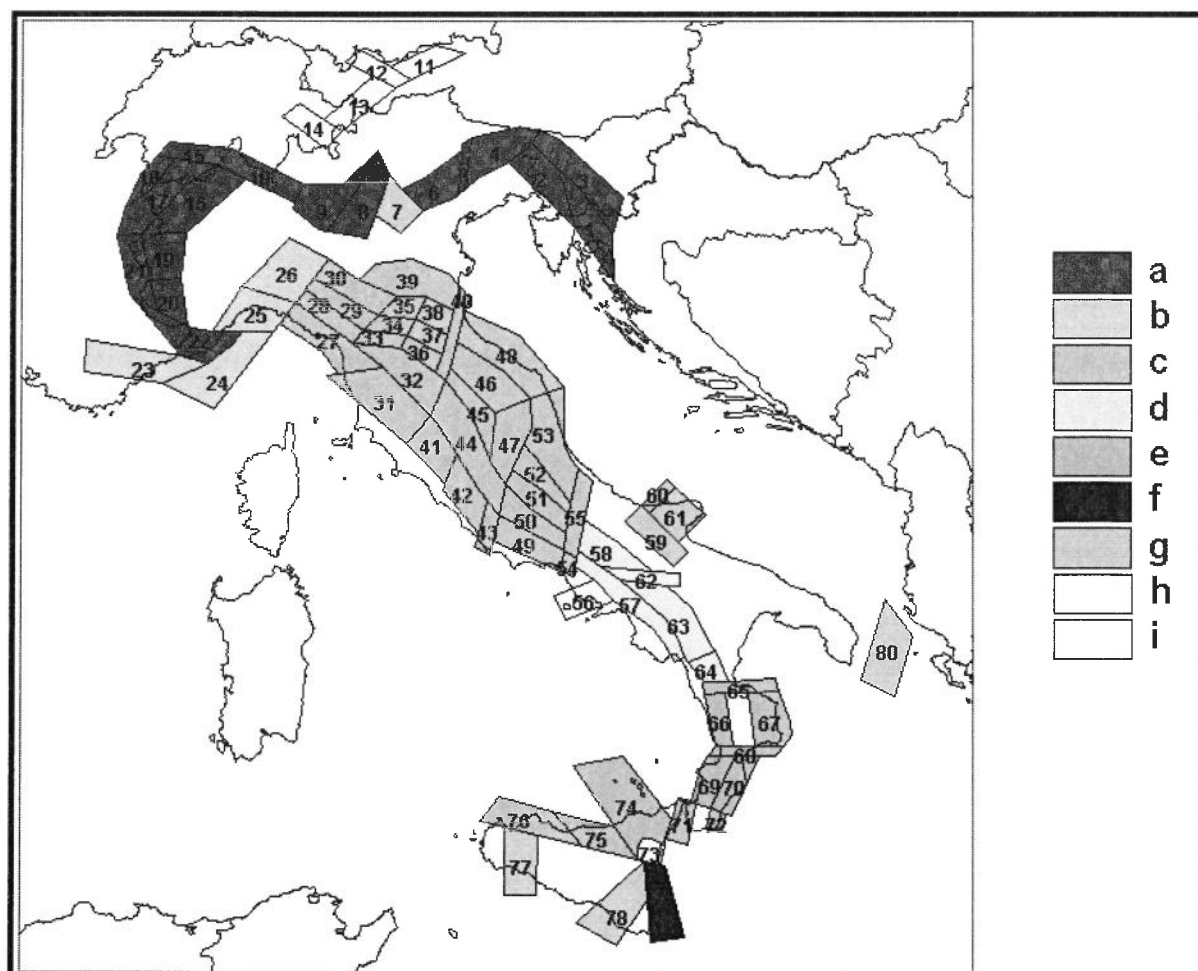
L'elaborato è tratto da "Indagine sullo stato delle acque sotterranee della pianura reggiana"; 1983 - Amministrazione Provinciale di Reggio nell'Emilia

SISMICITÀ DELL'AREA

Per caratterizzare la sismicità dell'area si è fatto riferimento, oltre che alla normativa vigente, ai dati disponibili in letteratura ed in particolare ai lavori svolti dal GNDT del CNR (Gruppo Nazionale per la Difesa dai Terremoti).

Si è presa in considerazione la zonazione sismogenetica del territorio italiano ZS4 (progetto di P. Scandone e M. Stucchi – marzo 1999 – cf. tav. seg.) che considera 80 sorgenti omogenee dal punto di vista strutturale e sismogenetico.

Secondo questa suddivisione, l'area oggetto di studio ricade nell'area 30, appartenente alla fascia padano-adriatica in compressione legata allo sprofondamento passivo della litosfera adriatica sotto il sistema di catena nell'Arco Appenninico Settentrionale secondo cui i meccanismi di rottura attesi sono di tipo thrust e strike-slip con assi di subduzione da SW a NE.



Attraverso elaborazioni probabilistiche il GNDT ha prodotto, per un tempo di ritorno di 475 anni (equivalente alla probabilità di superamento nell'arco temporale di 50 anni – vita media di un edificio), la zonazione del territorio italiano, come riportato in figura. Per la zona le accelerazioni orizzontali di picco attese sono state considerate, in accordo con quanto proposto dal GNDT, pari a PGA = 0.15g (Peak Ground Acceleration).

L'intensità massima risentita nella zona, come risulta dai dati del catalogo del Servizio Sismico Nazionale, non ha superato in San Martino in Rio (RE), in epoca storica, il valore del VII/VIII grado MCS. (cf. tabelle qui di seguito indicate).

Storia sismica di San Martino in Rio (RE) [44.733, 10.784]

Osservazioni disponibili: 9

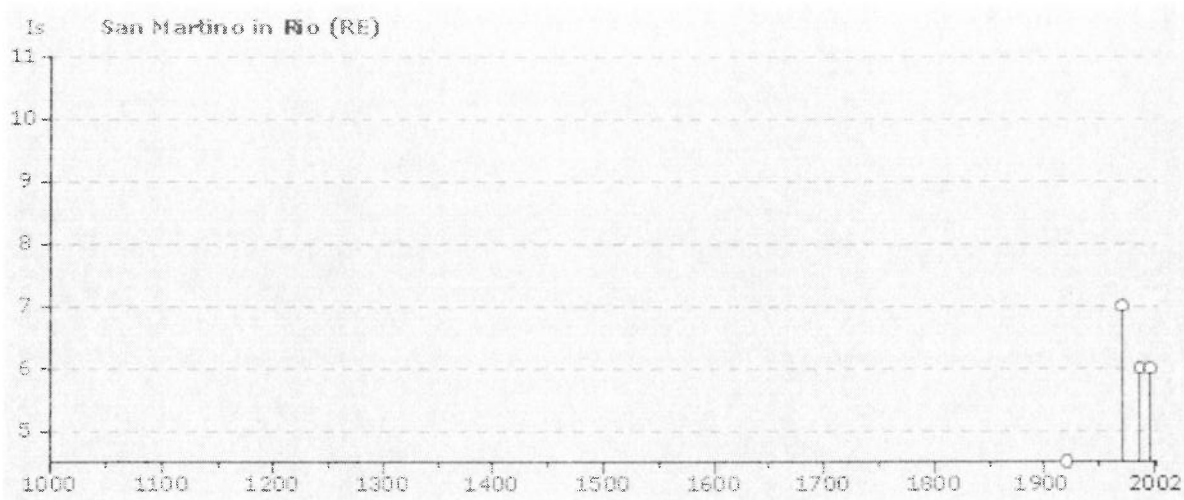
Effetti						In occasione del terremoto:			
Is	Anno	Me	Gi	Or	Mi	Se	AE	Io	Mw
7	1971	07	15	01	33	23	Parmense	7-8	5.61
6	1987	05	02	20	43	53	REGGIANO	6	5.05
6	1996	10	15	09	55	60	CORREGGIO	7	5.44
4-5	1920	09	07	05	55	40	Garfagnana	9-10	6.48
4	1950	05	06	03	43		REGGIANO	4	4.46
3-4	1957	08	27	11	54		ZOCCA	6	5.06
NF	1984	04	29	05	02	59	GUBBIO/VALFABBRICA	7	5.68
NF	1986	12	06	17	07	19	BONDENO	6	4.56
NF	1995	10	10	06	54	22	LUNIGIANA	7	5.04

Intendendo:

Is = Intensità al sito (MCS)

Io = Intensità epicentrale (MCS)

Mw = Magnitudo



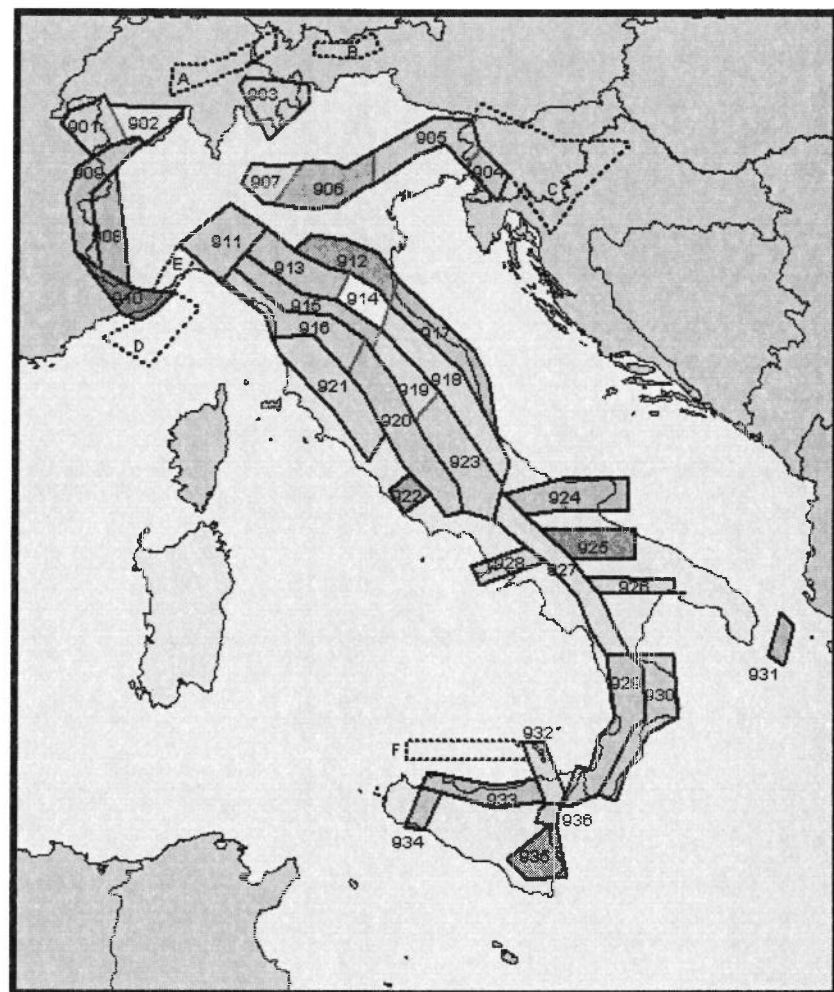
La sovrastante rappresentazione evidenzia, molto semplicemente, gli eventi della precedente tabella nel rapporto tra anni (in ascisse) ed intensità sismica (in ordinate).

L'Ordinanza P.C.M. n° 3274 del 20 marzo 2003 ha aggiornato la normativa sismica, con l'attribuzione, alle diverse località del territorio nazionale, di un valore di scuotimento sismico di riferimento, espresso in termini di incremento di accelerazione al suolo.

Il territorio del comune di San Martino in Rio, secondo la nuova zonazione sismogenetica ZS9 (progetto a cura di C. Meletti e G. Valensise del marzo 2004) è incluso nella zona 913, al passaggio, verso settentrione, con la zona 912 (cf. tavola nella pagina seguente). In base a questa nuova zonazione, il territorio in esame (secondo la precedente classificazione non classificato), è stato inserito in zona Z3 a bassa sismicità.

Come espressamente specificato al punto 2.4 della circolare n° 1677/2005 (prot. GEO/05/87449) emanata in data 24/10/2005 dalla Giunta della Regione Emilia Romagna, ai fini della determinazione delle azioni sismiche, può essere assegnato, a zone come questa di bassa sismicità, un valore (a_g/g), di ancoraggio dello spettro di risposta elastico, pari a 0.15.

Più precisamente, al comune di San Martino in Rio (RE), l'allegato 4 dell'Assemblea Legislativa n° 2131 – prot. n° 8511 del 2 maggio 2007, assegna il valore di accelerazione massima orizzontale di picco al suolo, cioè $T = 0$, espressa in frazione dell'accelerazione di gravità g (a_{refg}), di 0.158.



Zonazione sismogenetica ZS9

Ai fini della definizione dell'azione sismica di progetto, le modifiche ed integrazioni dell'Ordinanza propongono una caratterizzazione geofisica e geotecnica del profilo stratigrafico del suolo. In base alla velocità delle onde di taglio, mediate sui primi 30 metri di terreno (VS30), vengono individuate cinque categorie (A – B – C – D – E), più altre due speciali (S1 e S2).

In ottemperanza con quanto prescritto dalla normativa è stato effettuato un sondaggio sismico. La prospezione geofisica è stata eseguita utilizzando un sismografo a 24 canali prodotto dalla Ditta PASI di Torino attrezzato con 24 geofoni orizzontali di ricezione, dotati di preamplificatori di segnale, disposti ad interasse di 2 m l'uno dall'altro.

L'indagine, effettuata mediante sismica a rifrazione applicando il metodo MASW – Multichannel Analysis of Surface Waves, ha consentito di analizzare, nei primi 30 m, la velocità

delle onde di taglio (S). Le onde S, analogamente a quelle di compressione (P), non sono dispersive e si propagano anche in mezzi perfettamente omogenei inducendo deformazioni puramente distorsionali. Gli elementi di volume investiti dall'onda vibrano in direzione perpendicolare rispetto alla direzione di propagazione.

Nella fattispecie, il sondaggio ha accertato la presenza di sei strati e ad ognuno di essi, mediante l'ausilio dell'apposito programma di calcolo winMASW 4.1.1 Pro, è stata attribuita la velocità delle onde di taglio S (V_s) ed il rispettivo spessore (d) (cf. tabelle e diagrammi proposti in allegato).

Per i primi sei strati sono stati ottenuti i seguenti valori di:

1° STRATO	2° STRATO	3° STRATO
$V_s = 327 \text{ m/sec}$	$V_s = 174 \text{ m/sec}$	$V_s = 121 \text{ m/sec}$
$d = 1.7 \text{ m}$	$d = 5.8 \text{ m}$	$d = 12.3 \text{ m}$

4° STRATO	5° STRATO	6° STRATO
$V_s = 236 \text{ m/sec}$	$V_s = 381 \text{ m/sec}$	$V_s = 301 \text{ m/sec}$
$d = 1.4 \text{ m}$	$d = 2.6 \text{ m}$	$d = 6.2 \text{ m}$

La valutazione del valore V_{s30} viene quindi ottenuta mediante l'utilizzo della seguente relazione:

$$V_{s30} = \frac{30}{\sum_{i=1,n} \frac{hi}{vi}}$$

dove:

hi = spessore dello strato iesimo, m

vi = velocità onde di taglio strato iesimo, m/sec

ottenendo:

$$Vs30 = 173 \text{ m/sec.}$$

In ottemperanza con quanto prescritto dalla normativa, viste le caratteristiche del primo sottosuolo, il suolo di fondazione può essere pertanto assimilato alla *categoria D* “*Depositi di terreni a grana grossa scarsamente addensati o terreni a grana fina scarsamente consistenti*” con spessori superiori a 30 m, caratterizzati da un graduale miglioramento delle proprietà meccaniche con la profondità e da valori di V_{S30} inferiori a 180 m/s (ovvero $N_{SPT30} < 15$ nei terreni a grana grossa e $c_u 30 < 70$ kPa nei terreni a grana fina).

PERIODO DI RITORNO E PERICOLOSITÀ DELL'AZIONE SISMICA

La Delibera Regionale 112/2007, emessa dalla Assemblea Legislativa della Regione Emilia Romagna in data 2 Maggio 2007, fornisce i criteri per l'individuazione delle aree che potrebbero essere soggette ad effetti sismici locali (microzonazione sismica) in modo da orientare le scelte di pianificazione verso le aree a minor rischio. La metodologia indicata per tali tipi di studio prevede due fasi di analisi, con diversi livelli di approfondimento.

La prima fase ha carattere qualitativo ed è diretta ad identificare le parti di territorio suscettibili di effetti locali (amplificazione del segnale sismico, sedimenti, instabilità dei versanti, fenomeni di liquefazione, rotture del terreno, ecc.).

Essa viene realizzata sulla base di rilievi, osservazioni e valutazioni di tipo geologico e geomorfologico, svolte a scala territoriale, associati a raccolte di informazioni sugli effetti indotti dai terremoti passati.

La seconda fase ha invece come obiettivo la microzonazione sismica del territorio. Sulla base degli scenari individuati dalle analisi svolte nel corso della prima fase, nella seconda fase si attuano due diversi livelli di approfondimento:

a) analisi semplificata (secondo livello di approfondimento); basata, oltre che sull'acquisizione di dati geologici e geomorfologici più dettagliati di quelli rilevati nel primo livello, su prove geofisiche in situ e su prove geotecniche di tipo standard; essa viene svolta nelle aree pianeggianti e sub-pianeggianti, incluse le zone di fondovalle appenniniche, con stratificazione orizzontale e sub-orizzontale, e sui versanti stabili con acclività minore o uguale a 15° in cui il deposito ha spessore costante;

b) analisi approfondita (terzo livello di approfondimento), richiesta nei seguenti casi:

- Aree soggette a liquefazione e densificazione;
- Aree instabili e potenzialmente instabili;
- Aree in cui le coperture hanno spessore fortemente variabile, come ad esempio nelle aree pedemontane e di fondovalle a ridosso dei versanti;
- Aree in cui è prevista la realizzazione di opere di rilevante interesse pubblico.

Secondo quanto riportato dalla Tav. P9b “Rischio Sismico – Carta dei livelli di approfondimento” prodotta a corredo del P.T.C.P. 2010 della Provincia di Reggio nell’Emilia, l’area in esame ricade tra quelle che necessitano di analisi semplificata (analisi di II livello).

L’analisi semplificata di secondo livello prevede la valutazione dei fattori di amplificazione F_a sulla base delle velocità medie delle onde di taglio all’interno della copertura (V_{sH}) o nei primi 30 metri dalla superficie (V_{s30}), calcolate secondo le seguenti formule:

$$V_{sH} = \frac{H}{\sum \frac{h_i}{V_{s_i}}} \quad V_{s30} = \frac{30}{\sum \frac{h_i}{V_{s_i}}}$$

La Delibera Regionale 112/2007, per un'analisi semplificata di secondo livello, propone l'utilizzo di una serie di tabelle di carattere empirico che mettono in relazione i valori di VsH o di Vs30 con i fattori di amplificazione. Le varie Tabelle rispecchiano situazioni geologiche tipiche del territorio regionale, tra le quali occorre scegliere quella che meglio corrisponde alle caratteristiche dell'area di studio. I fattori stimati esprimono l'amplificazione del moto sismico al passaggio dal bedrock alla superficie. Essi possono essere espressi sia come rapporto di PGA che come rapporto tra le intensità spettrali calcolate sugli spettri di pseudo-velocità all'interno di due intervalli distinti:

0.1-0.5 sec

0.5-1.0 sec

La tabella di riferimento per la valutazione dei fattori di amplificazione Fa è riportata nella sottostante tabella:

F.A. P.G.A.

V_{S30}	200	250	300	350	400	450	500	600	700	800
F.A.	1.5	1.5	1.5	1.4	1.4	1.4	1.3	1.1	1.0	1.0

F.A. INTENSITA' SPETTRALE - $0.1s < T_o < 0.5s$

V_{S30}	200	250	300	350	400	450	500	600	700	800
F.A.	1.8	1.8	1.7	1.7	1.5	1.4	1.3	1.2	1.0	1.0

F.A. INTENSITA' SPETTRALE - $0.5s < T_o < 1.0s$

V_{S30}	200	250	300	350	400	450	500	600	700	800
F.A.	2.5	2.3	2.3	2.0	1.8	1.7	1.7	1.5	1.2	1.0

La tabella è relativa ad una stratigrafia costituita da alternanze di sabbie e peliti, con spessori anche decametrici, talora con intercalazioni di orizzonti di ghiaie (di spessore anche decine di metri), con substrato profondo (\geq 100 metri da p.c.) che corrisponde, con le naturali approssimazioni insite in ogni tipo di suddivisione o classificazione, alle conoscenze geologiche disponibili nell'area di studio basate su pregresse indagini geognostiche e geofisiche nonché all'estrapolazione dei dati dell'indagine MASW.

In base al valore di Vs30 di 173 m/s, ottenuto estrapolando i dati dall'analisi di sismica a rifrazione tipo MASW, si ritiene opportuno adottare i seguenti fattori di amplificazione:

$$\text{PGA F.A.} = 1.5$$

$$\text{SI (0.1 - 0.5 sec) F.A.} = 1.8$$

$$\text{SI (0.5 - 1.0 sec) F.A.} = 2.5$$

RISPOSTA SISMICA LOCALE

Il Decreto Ministeriale del 14 gennaio 2008 recante le “Nuove Norme Tecniche per le Costruzioni”, che recepisce quanto già riportato nell’Ordinanza 3274 del 20/03/2003 e successive modifiche, definisce i criteri antisismici generali, precisando le azioni che devono essere impiegate in fase progettuale per la sicurezza strutturale delle opere.

L’azione sismica sulle costruzioni è valutata partendo da una “pericolosità sismica di base”, derivata da studi eseguiti a livello nazionale e definita sulla base di condizioni ideali in superficie di suolo rigido e topografia orizzontale.

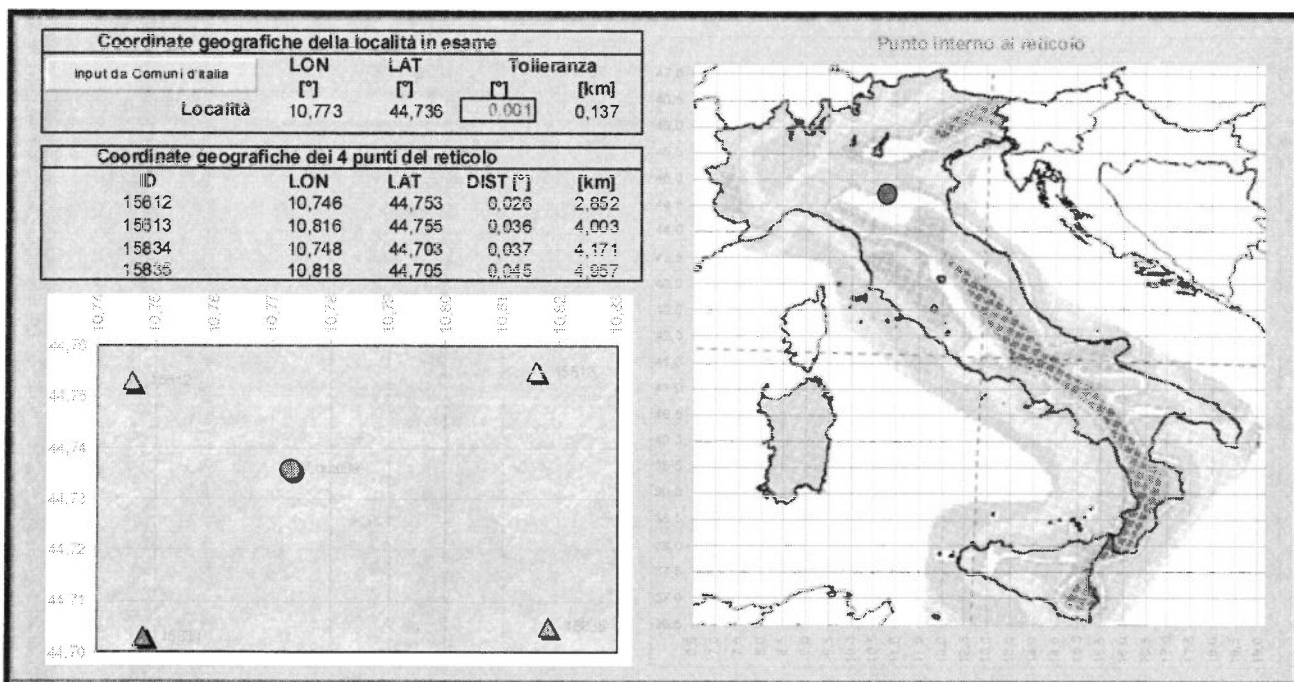
Le Azioni di progetto, per un suolo rigido orizzontale, vengono ricavate in funzione di tre parametri:

- a_g = accelerazione orizzontale massima
- F_a = fattore di amplificazione massimo dello spettro in accelerazione orizzontale
- T_c^* = periodo inizio tratto costante dello spettro in accelerazione orizzontale.

Tali parametri vengono inoltre definiti secondo termini probabilistici differenti, con periodi di ritorno TR di 30, 50, 475, 975 anni; per tale motivo, ai fini progettuali, occorre fissare la vita di riferimento VR della costruzione e la probabilità di superamento associata a ciascuno degli stati limite considerati.

I valori dei parametri ag, Fo e Tc* per la definizione dell’Azione Sismica possono essere calcolati mediante l’utilizzo del programma di calcolo “Calcolo Spettro Sismico”, ideato dagli Ingegneri Red Shift & Afazio, in cui vengono generati accelerogrammi correttamente commisurati alla pericolosità sismica del sito.

I primi dati ad essere stati introdotti nel programma sono le coordinate geografiche (latitudine e longitudine) del sito di riferimento (vedi figura in allegato).



Come si può visualizzare nella tabella sottostante, per ottenere gli spettri di risposta sismica locale, sono stati inoltre introdotti i valori della vita della struttura e le caratteristiche sismiche del terreno.

VITA DELLA STRUTTURA

Vita nominale	V_N	50	[anni]
Classe d'uso	C_U	II	
Vita di riferimento	V_R	50	[anni]

CARATTERISTICHE SISMICHE TERRENO

Topografia	T1
Coeff. topografico	S_T
Categoria suolo	D

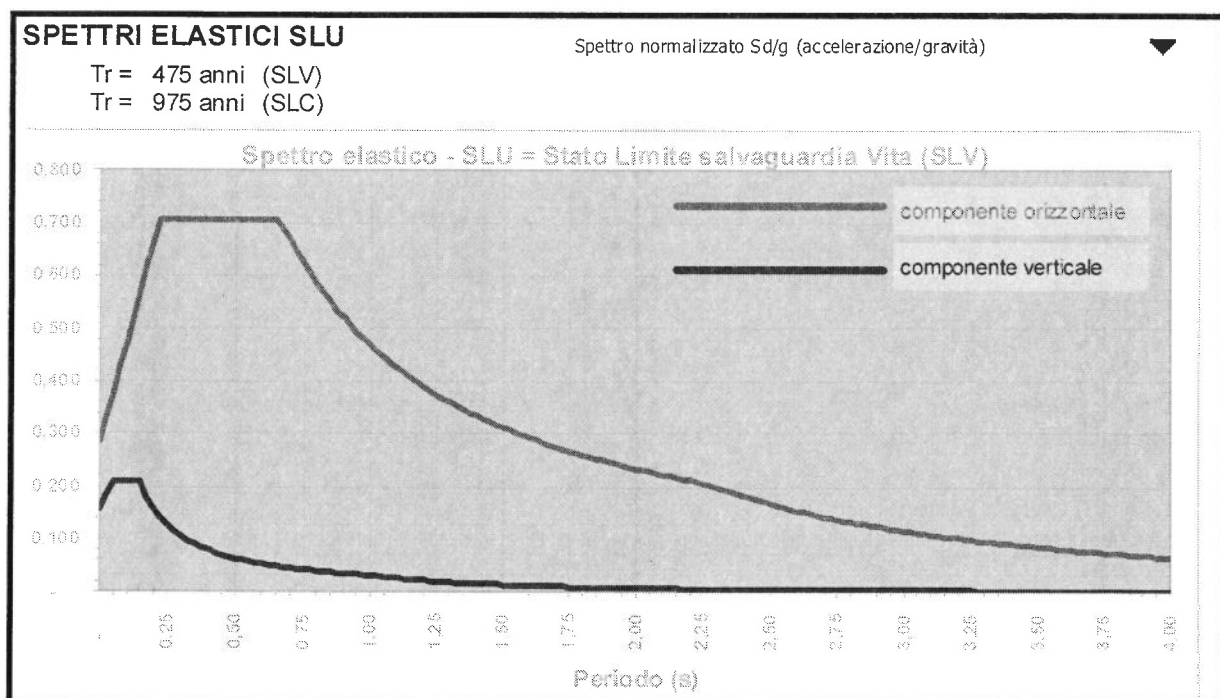
SL	PvR	T_R	a_g	F_o	T_c^*	S	Tb	T_c	T_d	F_v
sle Operatività	81%	30	0,453	2.49	0.25	1,80	0,21	0,63	1,78	0,71
sle Danno	63%	50	0,568	2.50	0.27	1,80	0,22	0,65	1,83	0,80
slu Salv. Vita	10%	475	1.577	2.49	0.28	1,80	0,22	0,66	2,23	1,33
slu Colllasso	5%	975	2.094	2.48	0.28	1,62	0,22	0,66	2,44	1,53

I valori dei principali parametri sismici (a_g , F_o , T_c^*) riferiti all'area in oggetto al TR = 475 anni dello Stato Limite Ultimo di Salvaguardia della Vita esplicitati sono:

$$a_g = a_g/g = 1.577 / 9.81 = 0.161 \quad F_o = 2.49 \quad T_c^* = 0.28$$

Elaborando i dati forniti, il programma di calcolo ha prodotto gli spettri di risposta elastica necessari per definire gli stati limite ultimo.

Nella fattispecie è stato ottenuto il grafico degli spettri elastici SLU:



In assenza di analisi specifiche della risposta sismica locale è possibile valutare l'accelerazione massima attesa al sito mediante la relazione:

$$a_{\max} = S_s \cdot S_t \cdot a_g \quad \text{in cui:}$$

S_s = coefficiente che tiene conto dell'effetto dell'amplificazione stratigrafica;

S_t = coefficiente che tiene conto dell'effetto dell'amplificazione topografica;

a_g = accelerazione orizzontale massima sul suolo di categoria A.

Tabella 3.2.V – Espressioni di S_s

Categoria sottosuolo	S_s
A	1,00
B	$1,00 \leq 1,40 - 0,40 \cdot F_o \cdot \frac{a_g}{g} \leq 1,20$
C	$1,00 \leq 1,70 - 0,60 \cdot F_o \cdot \frac{a_g}{g} \leq 1,50$
D	$0,90 \leq 2,40 - 1,50 \cdot F_o \cdot \frac{a_g}{g} \leq 1,80$
E	$1,00 \leq 2,00 - 1,10 \cdot F_o \cdot \frac{a_g}{g} \leq 1,60$

Nel caso in esame potrà essere assunto:

VN 50 anni - Classe d'Uso II

Stato limite SLV e TR = 475 anni (*Paragrafo 7.1 D.M. 14.01.2008*):

$S_s = 1.80$ - Categoria sottosuolo D

$S_t = 1.0$ - Categoria topografica T1

$$a_g = 0.161 \cdot g$$

Sulla base dei dati sopra riportati risulta pertanto che:

$$a_{\max} = S_s \cdot S_t \cdot a_g = 1.80 \cdot 1.0 \cdot 0.161 = 0.289 \cdot g.$$

VALUTAZIONE DEL POTENZIALE DI LIQUEFAZIONE

Con il termine di liquefazione si intende generalmente la perdita di resistenza dei terreni saturi, sotto sollecitazioni di taglio cicliche o monotoniche, in conseguenza delle quali il terreno raggiunge una condizione di fluidità pari a quella di un liquido viscoso.

Ciò avviene quando la pressione dell'acqua nei pori aumenta progressivamente fino ad eguagliare la pressione totale di confinamento e quindi allorché gli sforzi efficaci, da cui dipende la resistenza al taglio, si riducono a zero.

Questi fenomeni si verificano soprattutto nelle sabbie fini e nei limi saturi di densità da media a bassa e a granulometria piuttosto uniforme, anche se contenenti una frazione fine limoso-argillosa.

In conformità con richiesto dall'allegato A3 del DAL 112/2007 e dai punti 7.11.3.4.2. e C7.11.3.4.2. delle NTC 2008, per la presenza di Magnitudo superiori a 5, si è quindi proceduto alla verifica della liquefazione del terreno.

Viste le risultanze delle penetrometrie, si è ritenuto opportuno procedere alla verifica utilizzando i dati forniti dall'indagine CPT3 in cui, come sottolineato in geolitologia, alle argille più frequentemente si alternano, anche in banchi dello spessore di circa 2 m, sabbie limose e sabbie addensate.

Pur avendo quindi introdotto condizioni senza ombra di dubbio cautelative, è stato appurato, con l'ausilio del programma LAN prodotto dalla Ditta Aztec Informatica, che **il primo sottosuolo presenta un rischio di liquefazione basso.**

La verifica (cf. tabelle, diagrammi e profili proposti in allegato) è stata effettuata con il metodo di "Robertson e Wride – 1997" che utilizza le prove penetrometriche statiche.

METODOLOGIA D'INDAGINE

Le caratteristiche geomeccaniche del terreno vengono determinate sulla base dei dati acquisiti con quattro prove penetrometriche.

Le penetrometrie sono state eseguite utilizzando un penetrometro statico tipo GOUDA da 10 t.

La prova penetrometrica statica CPT (di tipo meccanico) consiste essenzialmente nella misura della resistenza alla penetrazione di una punta meccanica di dimensioni e caratteristiche standardizzate, infissa nel terreno a velocità costante ($v = 2 \text{ cm/sec} \pm 0.5 \text{ cm/sec}$).

La penetrazione avviene attraverso un dispositivo di spinta (martinetto idraulico) opportunamente ancorato al suolo (ovvero zavorrato), che agisce su una batteria doppia di aste (aste esterne cave e aste interne piene coassiali), alla cui estremità inferiore è collegata la punta. Lo sforzo necessario per l'infissione viene determinato a mezzo di un opportuno sistema di misura, collegato al martinetto idraulico.

La punta conica (di tipo telescopico) è dotata di un manicotto sovrastante per la misura all'attrito laterale (punta/manicotto tipo "Begemann").

Le dimensioni della punta/manicotto sono standardizzate, e precisamente:

- diametro di base del cono $\phi = 35.7 \text{ mm}$
- area della punta conica $A_p = 10 \text{ cm}^2$
- angolo apertura del cono $\alpha = 60^\circ$
- superficie laterale del manicotto $m = 150 \text{ cm}^2$

Sulla batteria di aste esterne può essere installato un anello allargatore per diminuire l'attrito sulle aste, facilitandone l'approfondimento.

Nei diagrammi e tavelle allegate sono riportati i seguenti valori di resistenza (rilevati dalle letture di campagna, durante l'infissione dello strumento):

- $R_p (\text{Kg/cm}^2)$ = resistenza alla punta (conica)
- $R_L (\text{Kg/cm}^2)$ = resistenza laterale (manicotto)

(la resistenza alla punta Rp e la resistenza laterale RL sono rilevate a intervalli regolari di 20 cm).

Oltre all'elaborazione dei valori di resistenza del sottosuolo, vengono fornite utili informazioni per il riconoscimento di massima dei terreni attraversati, in base al rapporto Rp/RL fra la resistenza alla punta e la resistenza laterale del penetrometro (Begemann 1965 - Raccomandazioni A.G.I. 1977), ovvero in base ai valori di Rp e del rapporto FR = (RL/Rp) % (esperienze di Schmertmann - 1978).

Sempre con riferimento alla prova penetrometrica statica CPT, nelle tavole allegate sono riportate indicazioni concernenti i principali parametri geotecnici (coesione non drenata Cu, angolo di attrito interno efficace ϕ' , densità relativa Dr, modulo edometrico Mo, moduli di deformazione non drenato Eu e drenato E', peso di volume Y, ecc.).

CARATTERISTICHE STRATIGRAFICHE E PARAMETRI GEOTECNICI

Le indagini consentono di ricostruire, per i vari strati, le *caratteristiche litologiche* ed i *parametri geotecnici*:

Livello A

Strato che dal piano campana, annettendo il terreno vegetale, si approfondisce sino a 3.5÷4 m in argille, talora ad elevata componente organica e torbosa, con sottili livelli di limi sabbiosi e sabbie limose, con valori di:

$$\gamma = 1.85 \text{ t/m}^3 = 18.14 \text{ kN/m}^3$$

$$\gamma_{\text{sat}} = 1.95 \text{ t/m}^3 = 19.12 \text{ kN/m}^3$$

$$Cu = 0.6 \text{ kg/cm}^2 = 58.83 \text{ kPa}$$

$$c' = 0.1 \text{ kg/cm}^2 = 9.81 \text{ kPa}$$

$$\phi' = 18 [^\circ]$$

$$Mo = 50 \text{ kg/cm}^2 = 4903 \text{ kPa}$$

$$E = 40 \text{ kg/cm}^2 = 3922 \text{ kPa}$$

Livello B

Da 3.5÷4 m sino a 7÷7.5 m dal p.c., vi sono argille ad elevata componente organica e torbosa con sottili livelli di limi sabbiosi e sabbie limose, con valori di:

$$\gamma = 1.80 \text{ t/m}^3 = 17.65 \text{ kN/m}^3$$

$$\gamma_{\text{sat}} = 1.90 \text{ t/m}^3 = 18.63 \text{ kN/m}^3$$

$$C_u = 0.4 \text{ kg/cm}^2 = 39.22 \text{ kPa}$$

$$c' = 0.08 \text{ kg/cm}^2 = 7.84 \text{ kPa}$$

$$\phi' = 15 [^\circ]$$

$$M_o = 40 \text{ kg/cm}^2 = 3922 \text{ kPa}$$

$$E = 30 \text{ kg/cm}^2 = 2942 \text{ kPa}$$

Livello C

Da 7÷7.5 m sino a 18÷19 m dal p.c., vi sono argille molto consistenti che annettono limi sabbiosi, sabbie limose e sabbie, talora in banchi della potenza di 2 m (CPT3), con valori di:

$$\gamma = 1.95 \text{ t/m}^3 = 19.12 \text{ kN/m}^3 \text{ per la natura granulare}$$

$$\gamma = 1.85 \text{ t/m}^3 = 18.14 \text{ kN/m}^3 \text{ per la natura coesiva}$$

$$\gamma_{\text{sat}} = 2.00 \text{ t/m}^3 = 19.61 \text{ kN/m}^3 \text{ per la natura granulare}$$

$$\gamma_{\text{sat}} = 1.95 \text{ t/m}^3 = 19.12 \text{ kN/m}^3 \text{ per la natura coesiva}$$

$$C_u = 0 \text{ kg/cm}^2 = 0 \text{ kPa} \quad \text{per la natura granulare}$$

$$C_u = 0.7 \text{ kg/cm}^2 = 68.64 \text{ kPa} \quad \text{per la natura coesiva}$$

$$c' = 0 \text{ kg/cm}^2 = 0 \text{ kPa} \quad \text{per la natura granulare}$$

$$c' = 0.15 \text{ kg/cm}^2 = 14.71 \text{ kPa} \quad \text{per la natura coesiva}$$

$$\phi' = 30 [^\circ] \quad \text{per la natura granulare}$$

$$\phi' = 20 [^\circ] \quad \text{per la natura coesiva}$$

$$M_o = 150 \text{ kg/cm}^2 = 14710 \text{ kPa} \quad \text{per la natura granulare}$$

$$M_o = 65 \text{ kg/cm}^2 = 3922 \text{ kPa} \quad \text{per la natura coesiva}$$

$$E = 130 \text{ kg/cm}^2 = 12748 \text{ kPa} \quad \text{per la natura granulare}$$

$$E = 55 \text{ kg/cm}^2 = 5393 \text{ kPa} \quad \text{per la natura coesiva}$$

Livello D

Oltre 18÷19 m dal p.c., il deposito si caratterizza per la presenza di argille ed argille sabbiosi limose molto consistenti, con valori di:

$$\gamma = 1.90 \text{ t/m}^3 = 18.63 \text{ kN/m}^3$$

$$\gamma_{\text{sat}} = 2.00 \text{ t/m}^3 = 19.61 \text{ kN/m}^3$$

$$C_u = 0.9 \text{ kg/cm}^2 = 88.25 \text{ kPa}$$

$$c' = 0.2 \text{ kg/cm}^2 = 19.61 \text{ kPa}$$

$$\phi' = 20 [^\circ]$$

$$M_o = 100 \text{ kg/cm}^2 = 9806 \text{ kPa}$$

$$E = 90 \text{ kg/cm}^2 = 8825 \text{ kPa}$$

dove:

γ = peso di volume;

γ_{sat} = peso di volume saturo;

C_u = coesione non drenata;

c' = coesione efficace;

ϕ' = angolo di attrito;

M_o = modulo edometrico;

E = modulo elastico.

RIEPILOGO E CONSIDERAZIONI CONCLUSIVE

Le prove penetrometriche statiche, appositamente effettuate per accertare la reale natura del primo sottosuolo, hanno riscontrato che il deposito possiede una prevalente natura coesiva.

A limi ed argille ad elevata componente organica e torbosa si alternano tuttavia, soprattutto oltre i 10÷11 m, livelli di limi sabbiosi, sabbie limose e sabbie, talora anche in banchi, della potenza di circa 2 m, come quello attraversato dall'indagine CPT3 tra 11 m e 13 m.

Oltre i 18÷19 m le penetrometrie hanno riscontrato un netto incremento della consistenza delle argille; visti i dati forniti dal sondaggio sismico a rifrazione tipo MASW, anche in questo caso, il deposito alluvionale può localmente annettere lenti e banchi di sabbie cementate.

L'indagine geofisica tipo MASW ha quantificato la velocità di propagazione delle onde sismiche, nei primi trenta metri (V_{S30}), in 173 m/sec; il suolo di fondazione, in ottemperanza con quanto prescritto dalla normativa, può essere quindi assimilato alla categoria D “*Depositi di terreni a grana grossa scarsamente addensati o terreni a grana fina scarsamente consistenti*” con spessori superiori a 30 m, caratterizzati da un graduale miglioramento delle proprietà meccaniche con la profondità e da valori di V_{S30} inferiori a 180 m/s (ovvero $N_{SPT30} < 15$ nei terreni a grana grossa e $c_u < 70$ kPa nei terreni a grana fina).

Per il sito in oggetto, in base al valore di V_{S30} di 173 m/sec, ottenuto dall'analisi di sismica a rifrazione tipo MASW, sono stati desunti i seguenti fattori di amplificazione:

$$\text{PGA F.A.} = 1.5$$

$$\text{SI (0.1 - 0.5 sec) F.A.} = 1.8$$

$$\text{SI (0.5 - 1.0 sec) F.A.} = 2.5$$

Mediante l'utilizzo di un apposito programma per il “Calcolo dello Spettro Sismico”, ideato dagli Ingegneri Red Shift & Afazio, in cui vengono generati accelerogrammi correttamente commisurati alla pericolosità sismica del sito, si è proceduto poi al calcolo del valore dei parametri ag, Fo e Tc* per la definizione dell’Azione Sismica locale. Riferiti all’area in oggetto, al TR = 475

anni dello Stato Limite Ultimo di Salvaguardia della Vita, sono stati ottenuti i seguenti valori: $ag = ag/g = 1.577 / 9.81 = 0.161$; $Fo = 2.49$; $Tc^* = 0.28$.

Elaborando i dati, il programma ha prodotto gli spettri elastici SLU; è stata inoltre calcolata l'accelerazione massima attesa al sito di $a_{max} = Ss \cdot St \cdot ag = 1.80 \cdot 1.0 \cdot 0.161 = 0.289 \cdot g$.

In conformità con richiesto dall'allegato A3 del DAL 112/2007 e con quanto prescritto dai punti 7.11.3.4.2. e C7.11.3.4.2. delle NTC 2008, per la presenza di Magnitudo superiori a 5, si è quindi proceduto alla verifica della liquefazione del terreno.

Viste le risultanze delle penetrometrie, si è ritenuto opportuno procedere alla verifica utilizzando i dati forniti dall'indagine CPT3 in cui alle argille più frequentemente si alternano, anche in banchi dello spessore di circa 2 m, sabbie limose e sabbie addensate.

Pur avendo quindi introdotto condizioni senza ombra di dubbio cautelative, è stato appurato, con l'ausilio del programma LAN prodotto dalla Ditta Aztec Informatica, che il primo sottosuolo presenta un rischio di liquefazione basso. La verifica è stata effettuata utilizzando il metodo di “Robertson e Wride – 1997” che utilizza le prove penetrometriche statiche.

Sulla base dei parametri geomeccanici del terreno acquisiti con le indagini si è infine proceduto alla valutazione del peso di volume (γ), dell'angolo di attrito interno (ϕ), della coesione non drenata (Cu), della coesione efficace (c'), del modulo edometrico (Mo) e del modulo elastico (E) per gli strati che caratterizzano il primo sottosuolo. Suddetti valori potranno poi essere utilizzati per il dimensionamento strutturale in conformità con quanto prescritto dal D.M. 14/01/2008.

In sintonia con quanto segnalato sulle carte tematiche, il livello statico della falda, è stato misurato, nei fori di sonda al termine delle penetrometrie, a soli $1.5 \div 1.9$ m dalla quota dell'attuale piano campagna. Questo primo acquifero risente indubbiamente di variazioni legate all'andamento climatico; nelle stagioni secche il livello può essere infatti soggetto ad un abbassamento mentre, come evidenziato dalla “Carta delle isopieze freatiche”, tratta dalla tav. G3 di P.S.C., in periodi particolarmente piovosi, essa si può portare a quote ancor più vicine al piano campagna (~ 1 m).

Soprattutto nell'ipotesi che i futuri edifici possano contemplare la realizzazione di piani anche solo parzialmente interrati, non potendo pertanto escludere un'interazione delle future fondazioni con la falda freatica, occorrerà quindi procedere ad un adeguato dosaggio delle malte cementizie e ad un corretto dimensionamento delle strutture portanti affinché esse possano essere in grado di controbilanciare un'eventuale spinta idrodinamica e reagire in modo adeguato all'innescarsi di sedimenti addizionali dovuti ad un aumento della pressione efficace.

Per non incrementare l'ammollimento del terreno alla base delle fondazioni è in ogni caso opportuno che tutte le acque meteoriche e di scarico vengano raccolte ed allontanate, utilizzando tubazioni e raccordi a perfetta tenuta, in direzione della rete fognaria principale.

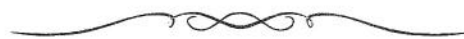
Dall'esame della "Carta delle aree storicamente inondate dal 1936 al 2006" (Tav. n° 6, allegato n° 6) del QC del PTCP vigente si evince infine che il lotto di terreno in esame non ricade in un contesto di aree storicamente inondabili.

Nel rispetto di quanto in precedenza esposto e delle disposizioni delle leggi vigenti, siano esse nazionali che regionali (D.M. 14/01/2008 "Norme tecniche per le costruzioni") che prescrivono un'attenta verifica dell'idoneità delle strutture in funzione delle caratteristiche del primo sottosuolo, si attesta l'idoneità dell'area all'attuazione degli interventi edilizi in progetto e si concede quindi parere geologico favorevole.

Scandiano, luglio 2013



ALLEGATI

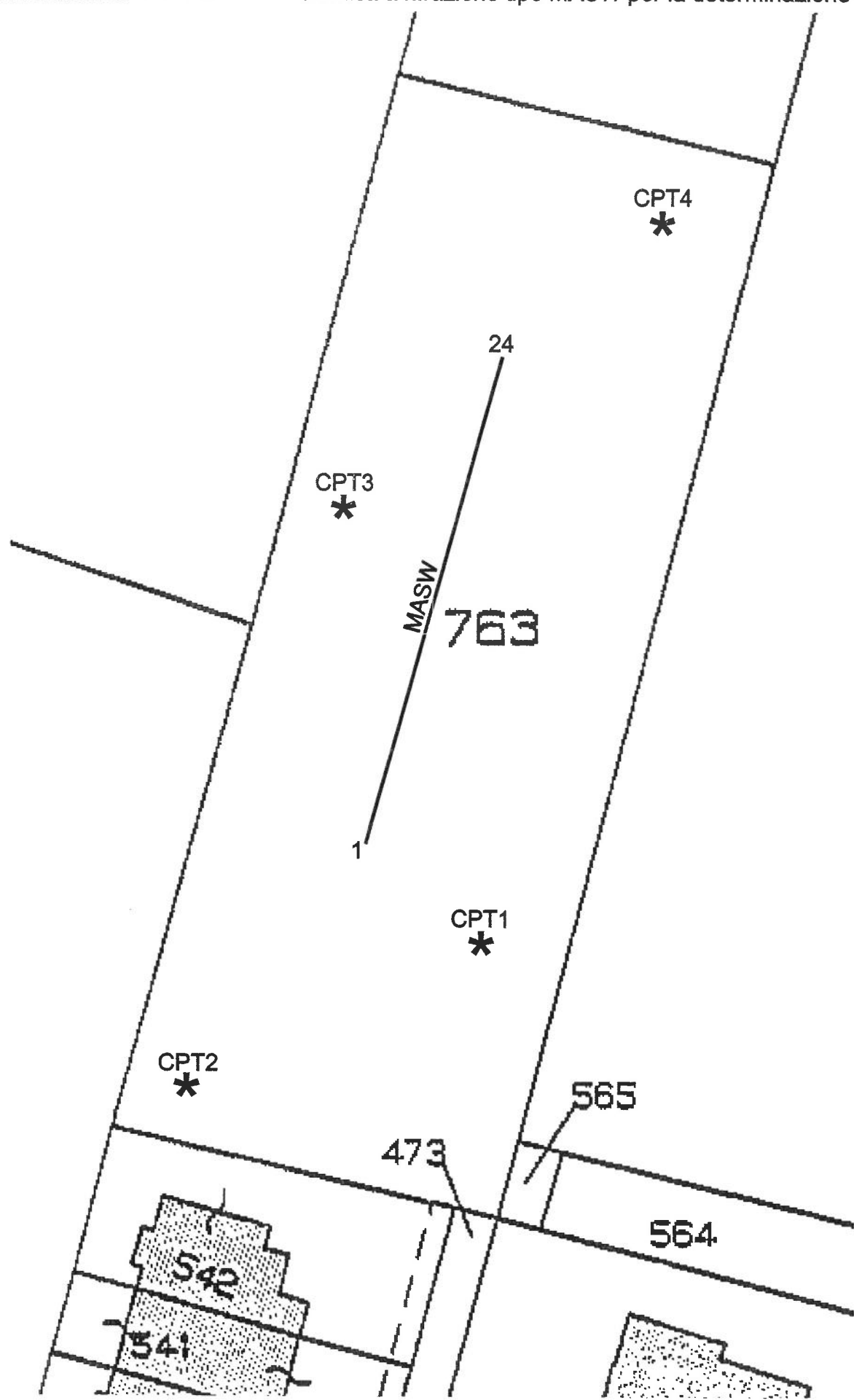


- A) UBICAZIONE INDAGINI**
- B) PROVE PENETROMETRICHE STATICHE**
(effettuate con penetrometro statico tipo GOUDA da 10 t)
- C) SISMICA A RIFRAZIONE PER
LA DETERMINAZIONE DEL Vs30**
(realizzata applicando il metodo MASW con sismografo
PASI 16SG24)
- D) VERIFICA A LIQUEFAZIONE**
(eseguita con il programma LAN dell'Aztec Informatica)

UBICAZIONE INDAGINI

SCALA 1:500

* Penetrometrie statiche — Sismica a rifrazione tipo MASW per la determinazione del Vs30



- PROVE PENETROMETRICHE STATICHE -



DIAGRAMMI DI RESISTENZA

-
TABELLE E VALORI DI RESISTENZA
-

VALUTAZIONI LITOLOGICHE

-
PARAMETRI GEOTECNICI

LEGENDA VALORI DI RESISTENZA

Strumento utilizzato:

PENETROMETRO STATICO tipo:

Caratteristiche:

- punta conica meccanica \varnothing 35.7 mm, angolo di apertura $\alpha = 60^\circ$ -(area punta $A_p = 10 \text{ cm}^2$)
- manicotto laterale di attrito tipo 'Begemann' (\varnothing 35.7 mm - h 133 mm - sup. lat. Am. = 150 cm^2)
- velocità di avanzamento costante $V = 2 \text{ cm / sec}$ ($\pm 0,5 \text{ cm / sec}$)
- spinta max nominale dello strumento S_{max} variabile a seconda del tipo
- costante di trasformazione (lett. \Rightarrow Spinta) $C_t = \text{SPINTA (Kg)} / \text{LETTURA DI CAMPAGNA}$

$$\text{fase 1 - resistenza alla punta } R_p (\text{ Kg / cm}^2) = (\text{L. punta}) C_t / 10$$

$$\text{fase 2 - resistenza laterale locale } R_L (\text{ Kg / cm}^2) = [(\text{L. laterale}) - (\text{L. punta})] C_t / 150$$

$$\text{fase 3 - resistenza totale } R_t (\text{ Kg}) = (\text{L. totale}) C_t$$

R_p / R_L = 'rapporto Begemann'

- L. punta = lettura di campagna durante l' infissione della sola punta (fase 1)

- L. laterale = lettura di campagna relativa all'infissione di punta e manicotto (fase 2)

- L. totale = lettura di campagna relativa all'infissione delle aste esterne (fase 3)

N.B. : la spinta S (Kg) , corrispondente a ciascuna fase , si ottiene moltiplicando la corrispondente lettura di campagna L per la costante di trasformazione C_t .

N.B. : causa la distanza intercorrente (20 cm circa) fra il manicotto laterale e la punta conica del penetrometro , la resistenza laterale locale R_L viene computata 20 cm sopra la punta .

CONVERSIONI

1 kN (kiloNewton) = 1000 N \approx 100 kg = 0,1 t - 1MN (megaNewton) = 1000 kN = 1000000 N \approx 100 t

1 kPa (kiloPascal) = 1 kN/m² = 0,001 MN/m² = 0,001 MPa \approx 0,1 t/m² = 0,01 kg/cm²

1 MPa (MegaPascal) = 1 MN/m² = 1000 kN/m² = 1000 kPa \approx 100 t / m² = 10 kg/cm²

kg/cm² = 10 t/m² \approx 100 kN/m² = 100 kPa = 0,1 MN/m² = 0,1 Mpa

1 t = 1000 kg \approx 10 kN

LEGENDA VALUTAZIONI LITOLOGICHE

Valutazioni in base al rapporto: $F = (Rp / RL)$

(Begemann 1965 - Raccomandazioni A.G.I. 1977)

valide in via approssimata per terreni immersi in falda :

$F = Rp / RL$	NATURA LITOLOGICA	PROPRIETA'
$F < 15$	TORBE ED ARGILLE ORGANICHE	COESIVE
$15 < F \leq 30$	LIMI ED ARGILLE	COESIVE
$30 < F \leq 60$	LIMI SABBIOSI E SABBIE LIMOSE	GRANULARI
$F > 60$	SABBIE E SABBIE CON GHIAIA	GRANULARI

Vengono inoltre riportate le valutazioni stratigrafiche fornite da Schmertmann (1978), ricavabili in base ai valori di Rp e di FR = (RL / Rp) % :

- AO = argilla organica e terreni misti
- Att = argilla (inorganica) molto tenera
- At = argilla (inorganica) tenera
- Am = argilla (inorganica) di media consistenza
- Ac = argilla (inorganica) consistente
- Acc = argilla (inorganica) molto consistente
- ASL = argilla sabbiosa e limosa
- SAL = sabbia e limo / sabbia e limo argilloso
- Ss = sabbia sciolta
- Sm = sabbia mediamente addensata
- Sd = sabbia densa o cementata
- SC = sabbia con molti fossili, calcareniti

Secondo Schmertmann il valore della resistenza laterale da usarsi, dovrebbe essere pari a:

- $1/3 \pm 1/2$ di quello misurato , per depositi sabbiosi
- quello misurato (inalterato) , per depositi coesivi.

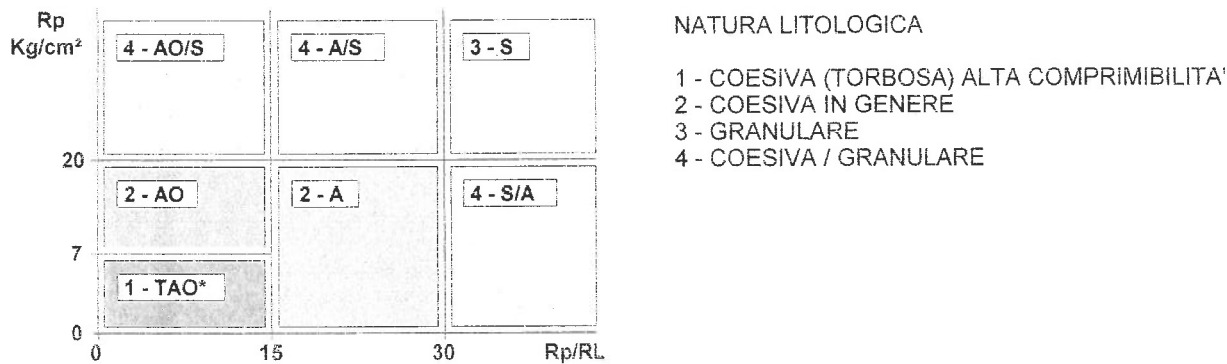
LEGENDA PARAMETRI GEOTECNICI

SCELTE LITOLOGICHE (validità orientativa)

Le scelte litologiche vengono effettuate in base al rapporto Rp / RL
 (Begemann 1965 - Raccomandazioni A.G.I. 1977), prevedendo altresì la possibilità di casi dubbi :

$Rp \leq 20 \text{ kg/cm}^2$: possibili terreni COESIVI anche se $(Rp / RL) > 30$

$Rp \geq 20 \text{ kg/cm}^2$: possibili terreni GRANULARI anche se $(Rp / RL) < 30$



PARAMETRI GEOTECNICI (validità orientativa) - simboli - correlazioni - bibliografia

- γ' = peso dell' unità di volume (efficace) del terreno [correlazioni : γ' - Rp - natura]
 (Terzaghi & Peck 1967 - Bowles 1982)
- $\sigma'vo$ = tensione verticale geostatica (efficace) del terreno (valutata in base ai valori di γ')
- Cu = coesione non drenata (terreni coesivi) [correlazioni : Cu - Rp]
- OCR = grado di sovra consolidazione (terreni coesivi) [correlazioni : OCR - Cu - $\sigma'vo$]
 (Ladd et al. 1972 / 1974 / 1977 - Lancellotta 1983)
- Eu = modulo di deformazione non drenato (terr.coes.) [correl. : Eu - Cu - OCR - Ip. Ip= ind.plast.]
 Eu50 - Eu25 corrispondono rispettivamente ad un grado di mobilitazione dello sforzo deviatorico pari al 50-25% (Duncan & Buchigani 1976)
- E' = modulo di deformazione drenato (terreni granulari) [correlazioni : E' - Rp]
 E'50 - E'25 corrispondono rispettivamente ad un grado di mobilitazione dello sforzo deviatorico pari al 50-25% (coeff. di sicurezza F = 2 - 4 rispettivamente)
 (Schmertmann 1970 / 1978 - Jamiolkowski et al. 1983)
- Mo = modulo di deformazione edometrico (terreni coesivi e granulari) [correl. : Mo - Rp - natura]
 (Sanglerat 1972 - Mitchell & Gardner 1975 - Ricceri et al. 1974 - Holden 1973)
- Dr = densità relativa (terreni gran. N. C. - normalmente consolidati)
 [correlazioni : Dr - Rp - $\sigma'vo$] (Schmertmann 1976)
- \emptyset' = angolo di attrito interno efficace (terreni granulari N.C.) [correl. : \emptyset' - Dr - Rp - $\sigma'vo$]
 (Schmertmann 1978 - Durgunoglu & Mitchell 1975 - Meyerhof 1956 / 1976)
 \emptyset'_{1s} - (Schmertmann) sabbia fine uniforme \emptyset'_{2s} - sabbia media unif./ fine ben gradata
 \emptyset'_{3s} - sabbia grossa unif./ media ben gradata \emptyset'_{4s} - sabbia-ghiaia poco lim./ ghiaietto unif.
 \emptyset'_{dm} - (Durgunoglu & Mitchell) sabbie N.C. \emptyset'_{my} - (Meyerhof) sabbie limose
- A_{max} = accelerazione al suolo che può causare liquefazione (terreni granulari)
 (g = acc.gravità)(Seed & Idriss 1971 - Sirio 1976) [correlazioni : (Amax/g) - Dr]

PROVA PENETROMETRICA STATICA
LETTURE DI CAMPAGNA / VALORI DI RESISTENZA

CPT 1

2.010496-059

- committente : Immobiliare R.B.R. s.n.c.
 - lavoro : Variante al P.R.G. - AREA L3
 - località : Via Donizzetti - San Martino in Rio (RE)
 - note :

- data : 27/06/2013
 - quota inizio : Piano Campagna
 - prof. falda : 1,90 m da quota inizio
 - pagina : 1

prf m	LP Kg/cm ²	LL Kg/cm ²	Rp Kg/cm ²	RL Kg/cm ²	Rp/RI -	prf m	LP Kg/cm ²	LL Kg/cm ²	Rp Kg/cm ²	RL Kg/cm ²	Rp/RI -
0,20	17,0	----	34,0	0,13	255,0	10,20	15,5	27,0	31,0	1,33	23,0
0,40	17,0	18,0	34,0	0,07	510,0	10,40	13,0	23,0	26,0	1,07	24,0
0,60	17,0	17,5	34,0	0,67	51,0	10,60	12,0	20,0	24,0	1,07	22,0
0,80	14,0	19,0	28,0	1,20	23,0	10,80	12,0	20,0	24,0	1,27	19,0
1,00	8,0	17,0	16,0	0,67	24,0	11,00	11,0	20,5	22,0	1,20	18,0
1,20	9,5	14,5	19,0	1,60	12,0	11,20	11,0	20,0	22,0	1,13	19,0
1,40	8,0	20,0	16,0	1,33	12,0	11,40	8,5	17,0	17,0	1,20	14,0
1,60	6,0	16,0	12,0	0,67	18,0	11,60	12,0	21,0	24,0	1,00	24,0
1,80	7,0	12,0	14,0	0,73	19,0	11,80	14,5	22,0	29,0	0,67	43,0
2,00	6,0	11,5	12,0	0,93	13,0	12,00	17,5	22,5	35,0	0,93	37,0
2,20	7,0	14,0	14,0	1,00	14,0	12,20	15,0	22,0	30,0	0,53	56,0
2,40	7,5	15,0	15,0	0,80	19,0	12,40	13,0	17,0	26,0	1,13	23,0
2,60	5,5	11,5	11,0	0,73	15,0	12,60	7,5	16,0	15,0	1,00	15,0
2,80	6,0	11,5	12,0	0,53	22,0	12,80	11,5	19,0	23,0	1,47	16,0
3,00	6,5	10,5	13,0	1,07	12,0	13,00	12,5	23,5	25,0	1,13	22,0
3,20	9,0	17,0	18,0	0,73	25,0	13,20	10,0	18,5	20,0	1,07	19,0
3,40	5,0	10,5	10,0	0,60	17,0	13,40	15,0	23,0	30,0	0,93	32,0
3,60	4,5	9,0	9,0	0,40	22,0	13,60	10,0	17,0	20,0	1,20	17,0
3,80	3,0	6,0	6,0	0,40	15,0	13,80	7,0	16,0	14,0	0,93	15,0
4,00	3,5	6,5	7,0	0,60	12,0	14,00	8,0	15,0	16,0	1,20	13,0
4,20	5,0	9,5	10,0	0,53	19,0	14,20	9,0	18,0	18,0	1,27	14,0
4,40	4,0	8,0	8,0	0,53	15,0	14,40	11,5	21,0	23,0	1,40	16,0
4,60	3,0	7,0	6,0	0,40	15,0	14,60	14,0	24,5	28,0	1,87	15,0
4,80	2,5	5,5	5,0	0,40	12,0	14,80	14,0	28,0	28,0	1,87	15,0
5,00	3,0	6,0	6,0	0,53	11,0	15,00	14,0	28,0	28,0	1,73	16,0
5,20	5,0	9,0	10,0	0,47	21,0	15,20	10,0	23,0	20,0	1,33	15,0
5,40	5,0	8,5	10,0	0,53	19,0	15,40	5,0	15,0	10,0	0,67	15,0
5,60	5,0	9,0	10,0	0,60	17,0	15,60	5,5	10,5	11,0	0,60	18,0
5,80	3,5	8,0	7,0	0,40	17,0	15,80	5,5	10,0	11,0	0,60	18,0
6,00	3,0	6,0	6,0	0,93	6,0	16,00	5,5	10,0	11,0	0,53	21,0
6,20	6,0	13,0	12,0	1,00	12,0	16,20	10,5	14,5	21,0	0,80	26,0
6,40	7,0	14,5	14,0	0,93	15,0	16,40	12,5	18,5	25,0	1,00	25,0
6,60	6,5	13,5	13,0	0,93	14,0	16,60	14,5	22,0	29,0	1,47	20,0
6,80	3,0	10,0	6,0	0,40	15,0	16,80	14,0	25,0	28,0	1,07	26,0
7,00	2,0	5,0	4,0	0,53	7,0	17,00	13,0	21,0	26,0	1,07	24,0
7,20	5,0	9,0	10,0	0,67	15,0	17,20	13,0	21,0	26,0	0,93	28,0
7,40	5,0	10,0	10,0	0,73	14,0	17,40	12,0	19,0	24,0	1,20	20,0
7,60	4,5	10,0	9,0	0,60	15,0	17,60	7,5	16,5	15,0	0,73	20,0
7,80	5,0	9,5	10,0	0,80	12,0	17,80	8,0	13,5	16,0	1,07	15,0
8,00	3,0	9,0	6,0	0,67	9,0	18,00	7,0	15,0	14,0	1,27	11,0
8,20	7,0	12,0	14,0	0,80	17,0	18,20	12,5	22,0	25,0	1,27	20,0
8,40	9,0	15,0	18,0	1,00	18,0	18,40	13,5	23,0	27,0	1,40	19,0
8,60	9,5	17,0	19,0	1,20	16,0	18,60	8,5	19,0	17,0	1,07	16,0
8,80	9,5	18,5	19,0	1,13	17,0	18,80	7,0	15,0	14,0	1,07	13,0
9,00	8,5	17,0	17,0	1,07	16,0	19,00	8,0	16,0	16,0	1,33	12,0
9,20	8,0	16,0	16,0	0,93	17,0	19,20	17,5	27,5	35,0	3,47	10,0
9,40	5,0	12,0	10,0	0,73	14,0	19,40	22,0	48,0	44,0	3,60	12,0
9,60	3,5	9,0	7,0	0,60	12,0	19,60	23,0	50,0	46,0	3,67	13,0
9,80	5,5	10,0	11,0	0,53	21,0	19,80	23,5	51,0	47,0	4,00	12,0
10,00	15,0	19,0	30,0	1,53	20,0	20,00	25,0	55,0	50,0	----	----

- PENETROMETRO STATICO tipo GOUDA da 10 t - (con anello allargatore) -
- COSTANTE DI TRASFORMAZIONE Ct = 20 - Velocità Avanzamento punta 2 cm/s
- punta meccanica tipo Begemann ø = 35,7 mm (area punta 10 cm² - apertura 60°)
- manicotto laterale (superficie 150 cm²)

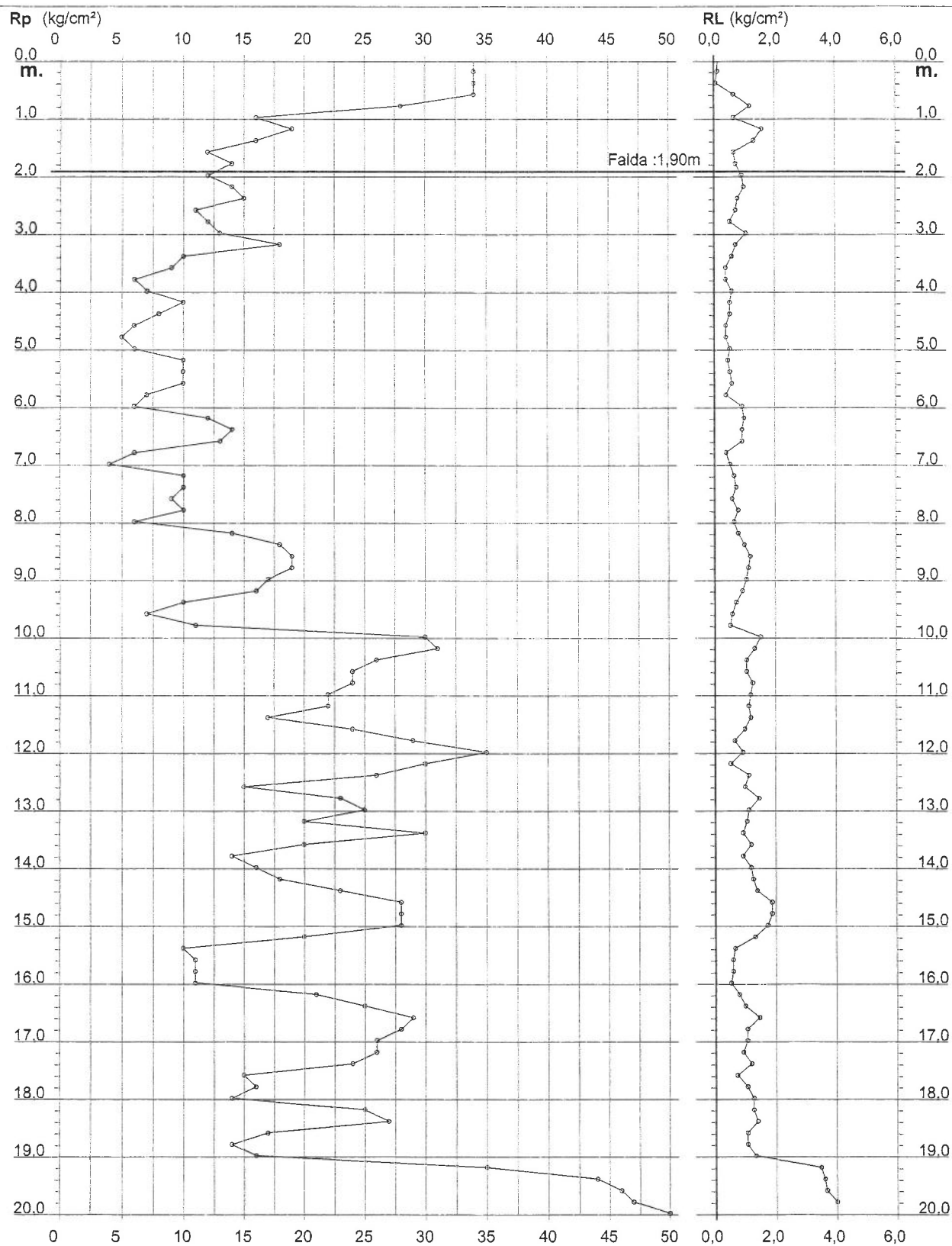
**PROVA PENETROMETRICA STATICÀ
 DIAGRAMMA DI RESISTENZA**

CPT 1

2.010496-059

- committente : Immobiliare R.B.R. s.n.c.
 - lavoro : Variante al P.R.G. - AREA L3
 - località : Via Donizetti - San Martino in Rio (RE)

- data : 27/06/2013
 - quota inizio : Piano Campagna
 - prof. falda : 1,90 m da quota inizio
 - scala vert.: 1 : 100



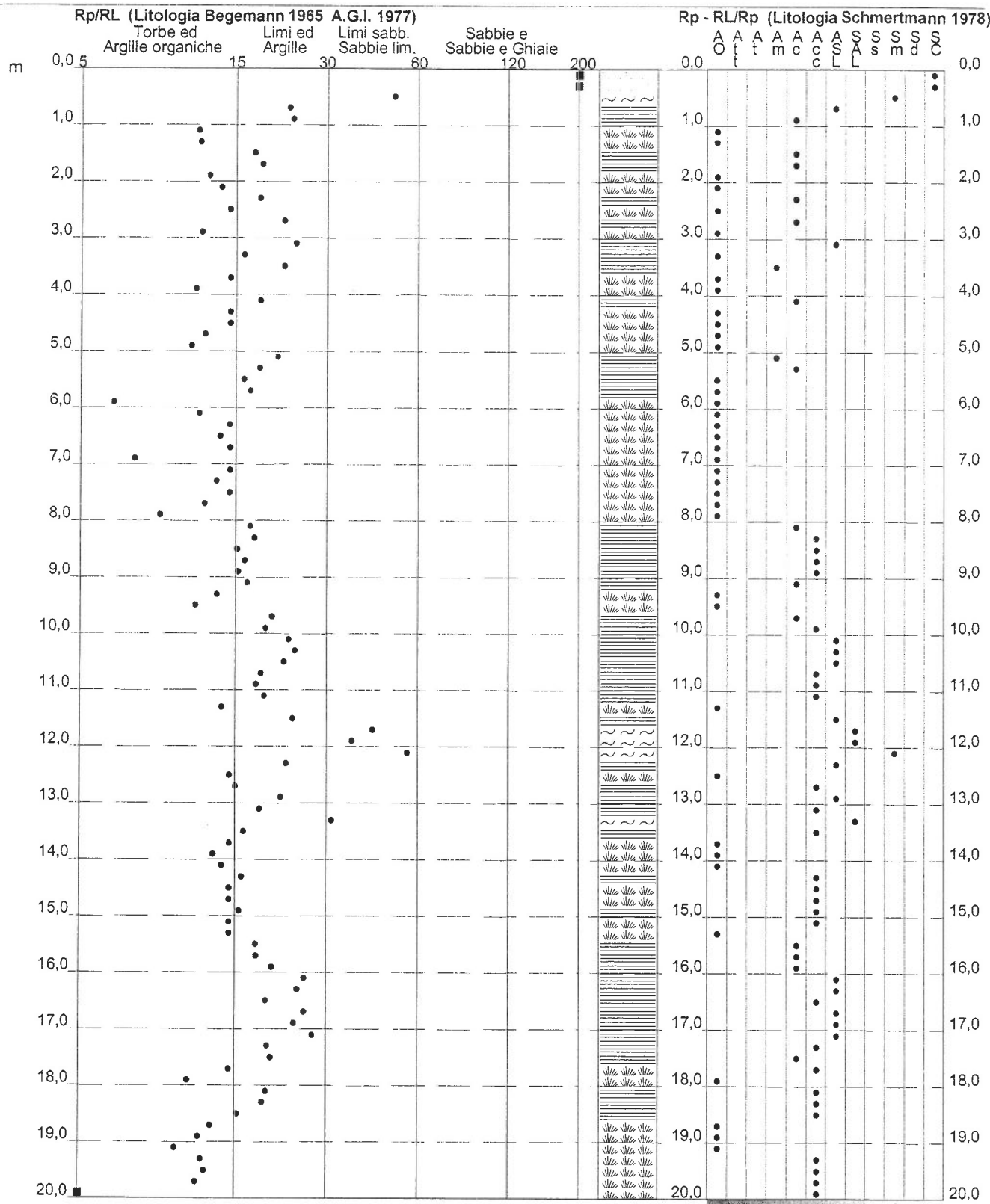
**PROVA PENETROMETRICA STATICÀ
 VALUTAZIONI LITOLOGICHE**

CPT 1

2.010496-059

- committente : Immobiliare R.B.R. s.n.c.
 - lavoro : Variante al P.R.G. - AREA L3
 - località : Via Donizzetti - San Martino in Rio (RE)
 - note :

- data : 27/06/2013
 - quota inizio : Piano Campagna
 - prof. falda : 1,90 m da quota inizio
 - scala vert.: 1 : 100



PROVA PENETROMETRICA STATICÀ
TABELLA PARAMETRI GEOTECNICI

CPT 1

2.010496-059

- committente : Immobiliare R.B.R. s.n.c.
 - lavoro : Variante al P.R.G. - AREA L3
 - località : Via Donizzetti - San Martino in Rio (RE)
 - note :
- data : 27/06/2013
 - quota inizio : Piano Campagna
 - prof. falda : 1,90 m da quota inizio
 - pagina : 1

Prof. m	Rp kg/cm²	Rp/Rl (-)	Natura Litol.	Y' t/m³	p'vo kg/cm²	Cu kg/cm²	OCR (-)	NATURA COESIVA		NATURA GRANULARE											
								Eu50 kg/cm²	Eu25 kg/cm²	Mo kg/cm²	Dr %	ø1s (*)	ø2s (*)	ø3s (*)	ø4s (*)	ødm (*)	ømy (*)	Amax/g (-)	E'50 kg/cm²	E'25 kg/cm²	Mo kg/cm²
0,20	34	255	3:::	1,85	0,04	--	--	--	--	--	100	42	43	45	46	45	29	0,258	57	85	102
0,40	34	510	3:::	1,85	0,07	--	--	--	--	--	98	42	43	44	46	44	29	0,253	57	85	102
0,60	34	51	3:::	1,85	0,11	--	--	--	--	--	89	40	42	43	45	42	29	0,218	57	85	102
0,80	28	23	4/::	1,85	0,15	0,97	65,5	164	246	84	75	38	40	42	44	40	28	0,174	47	70	84
1,00	16	24	2/::/	1,85	0,19	0,70	32,9	118	177	52	--	--	--	--	--	--	--	--	--	--	--
1,20	19	12	2/::/	1,85	0,22	0,78	30,0	132	198	58	--	--	--	--	--	--	--	--	--	--	--
1,40	16	12	2/::/	1,85	0,26	0,70	21,6	118	177	52	--	--	--	--	--	--	--	--	--	--	--
1,60	12	18	2/::/	1,85	0,30	0,57	14,3	97	146	45	--	--	--	--	--	--	--	--	--	--	--
1,80	14	19	2/::/	1,85	0,33	0,64	14,1	108	162	48	--	--	--	--	--	--	--	--	--	--	--
2,00	12	13	2/::/	0,92	0,35	0,57	11,5	97	146	45	--	--	--	--	--	--	--	--	--	--	--
2,20	14	14	2/::/	0,94	0,37	0,64	12,4	108	162	48	--	--	--	--	--	--	--	--	--	--	--
2,40	15	19	2/::/	0,95	0,39	0,67	12,3	113	170	50	--	--	--	--	--	--	--	--	--	--	--
2,60	11	15	2/::/	0,91	0,41	0,54	8,9	97	145	42	--	--	--	--	--	--	--	--	--	--	--
2,80	12	22	2/::/	0,92	0,43	0,57	9,1	101	152	45	--	--	--	--	--	--	--	--	--	--	--
3,00	13	12	2/::/	0,93	0,44	0,60	9,2	106	159	47	--	--	--	--	--	--	--	--	--	--	--
3,20	18	25	2/::/	0,98	0,46	0,75	11,4	128	191	56	--	--	--	--	--	--	--	--	--	--	--
3,40	10	17	2/::/	0,90	0,48	0,50	6,6	124	186	40	--	--	--	--	--	--	--	--	--	--	--
3,60	9	22	2/::/	0,88	0,50	0,45	5,5	135	203	38	--	--	--	--	--	--	--	--	--	--	--
3,80	6	15	1***	0,46	0,51	0,30	3,2	28	42	9	--	--	--	--	--	--	--	--	--	--	--
4,00	7	12	1***	0,46	0,52	0,35	3,8	26	40	11	--	--	--	--	--	--	--	--	--	--	--
4,20	10	19	2/::/	0,90	0,54	0,50	5,8	144	215	40	--	--	--	--	--	--	--	--	--	--	--
4,40	8	15	2/::/	0,86	0,55	0,40	4,2	155	232	35	--	--	--	--	--	--	--	--	--	--	--
4,60	6	15	1***	0,46	0,56	0,30	2,9	31	47	9	--	--	--	--	--	--	--	--	--	--	--
4,80	5	12	1***	0,46	0,57	0,25	2,2	29	44	8	--	--	--	--	--	--	--	--	--	--	--
5,00	6	11	1***	0,46	0,58	0,30	2,7	32	48	9	--	--	--	--	--	--	--	--	--	--	--
5,20	10	21	2/::/	0,90	0,60	0,50	5,0	165	248	40	--	--	--	--	--	--	--	--	--	--	--
5,40	10	19	2/::/	0,90	0,62	0,50	4,8	171	257	40	--	--	--	--	--	--	--	--	--	--	--
5,60	10	17	2/::/	0,90	0,63	0,50	4,7	177	265	40	--	--	--	--	--	--	--	--	--	--	--
5,80	7	17	2/::/	0,84	0,65	0,35	2,9	176	264	32	--	--	--	--	--	--	--	--	--	--	--
6,00	6	6	1***	0,46	0,66	0,30	2,3	34	51	9	--	--	--	--	--	--	--	--	--	--	--
6,20	12	12	2/::/	0,92	0,68	0,57	5,1	187	281	45	--	--	--	--	--	--	--	--	--	--	--
6,40	14	15	2/::/	0,94	0,70	0,64	5,6	188	283	48	--	--	--	--	--	--	--	--	--	--	--
6,60	13	14	2/::/	0,93	0,72	0,80	5,1	197	296	47	--	--	--	--	--	--	--	--	--	--	--
6,80	6	15	1***	0,46	0,72	0,30	2,1	36	53	9	--	--	--	--	--	--	--	--	--	--	--
7,00	4	7	1***	0,46	0,74	0,20	1,2	26	39	6	--	--	--	--	--	--	--	--	--	--	--
7,20	10	15	2/::/	0,90	0,75	0,50	3,8	212	318	40	--	--	--	--	--	--	--	--	--	--	--
7,40	10	14	2/::/	0,90	0,77	0,50	3,7	218	327	40	--	--	--	--	--	--	--	--	--	--	--
7,60	9	15	2/::/	0,88	0,79	0,45	3,1	218	327	38	--	--	--	--	--	--	--	--	--	--	--
7,80	10	12	2/::/	0,90	0,81	0,50	3,5	227	341	40	--	--	--	--	--	--	--	--	--	--	--
8,00	6	9	1***	0,46	0,82	0,30	1,8	37	55	9	--	--	--	--	--	--	--	--	--	--	--
8,20	14	17	2/::/	0,94	0,83	0,64	4,5	233	349	48	--	--	--	--	--	--	--	--	--	--	--
8,40	18	18	2/::/	0,98	0,85	0,75	5,3	233	350	56	--	--	--	--	--	--	--	--	--	--	--
8,60	19	16	2/::/	0,99	0,87	0,78	5,4	238	357	58	--	--	--	--	--	--	--	--	--	--	--
8,80	19	17	2/::/	0,99	0,89	0,78	5,3	245	367	58	--	--	--	--	--	--	--	--	--	--	--
9,00	17	16	2/::/	0,97	0,91	0,72	4,7	254	381	54	--	--	--	--	--	--	--	--	--	--	--
9,20	16	17	2/::/	0,96	0,93	0,70	4,4	260	391	52	--	--	--	--	--	--	--	--	--	--	--
9,40	10	14	2/::/	0,90	0,95	0,50	2,8	254	381	40	--	--	--	--	--	--	--	--	--	--	--
9,60	7	12	1***	0,46	0,96	0,35	1,8	43	65	11	--	--	--	--	--	--	--	--	--	--	--
9,80	11	21	2/::/	0,91	0,98	0,54	3,0	266	399	42	--	--	--	--	--	--	--	--	--	--	--
10,00	30	20	4/::	0,96	1,00	1,00	6,3	260	390	90	31	32	35	38	40	30	29	0,059	50	75	90
10,20	31	24	4/::	0,97	1,02	1,03	6,4	263	395	93	31	32	35	38	41	30	29	0,061	52	78	93
10,40	26	24	4/::	0,95	1,04	0,93	5,5	281	421	78	25	31	34	37	40	29	28	0,047	43	65	78
10,60	24	22	4/::	0,94	1,05	0,89	5,1	290	435	72	22	31	34	37	40	29	28	0,041	40	60	72
10,80	24	19	4/::	0,94	1,07	0,89	5,0	296	445	72	21	31	34	37	40	29	28	0,040	40	60	72
11,00	22	18	4/::	0,93	1,09	0,85	4,6	304	456	66	18	30	33	36	39	28	28	0,034	37	55	66
11,20	22	19	4/::	0,93	1,11	0,85	4,5	310	465	66	17	30	33	36	39	28	28	0,033	37	55	66
11,40	17	14	2/::/	0,97	1,13	0,72	3,6	319	478	54	--	--	--	--	--	--	--	--	--	--	--
11,60	24	24	4/::	0,94	1,15	0,89	4,6	320	480	72	--	--	--	--	--	--	--	--	--	--	--
11,80	29	43	3:::	0,87	1,17	--	--	--	--	--	--	--	--	--	--	--	--	--	--	--	--
12,00	35	37	3:::	0,89	1,18	--	--	--	--	--	--	--	--	--	--	--	--	--	--	--	--
12,20	30	56	3:::	0,88	1,20	--	--	--	--	--	--	--	--	--	--	--	--	--	--	--	--
12,40	26	23	4/::	0,95	1,22	0,93	4,5	340	511	78	21	31	34	37	40	28	28	0,037	40	60	72
12,60	15	25	2/::/	0,95	1,24	0,67	2,9	334	502	50	--	--	--	--	--	--	--	--	--	--	--
12,80	23	16	4/::	0,94	1,26	0,87	3,9	352	528	69	16	30	33	36	39	27	28	0,03			

PROVA PENETROMETRICA STATICÀ
LETTURE DI CAMPAGNA / VALORI DI RESISTENZA

CPT 2

2.010496-059

- committente : Immobiliare R.B.R. s.n.c.
 - lavoro : Variante al P.R.G. - AREA L3
 - località : Via Donizzetti - San Martino in Rio (RE)
 - note :

- data : 27/06/2013
 - quota inizio : Piano Campagna
 - prof. falda : 1,85 m da quota inizio
 - pagina : 1

prf m	LP Kg/cm ²	LL Kg/cm ²	Rp Kg/cm ²	RL Kg/cm ²	Rp/Rl	prf m	LP Kg/cm ²	LL Kg/cm ²	Rp Kg/cm ²	RL Kg/cm ²	Rp/Rl
0,20	22,0	----	44,0	0,07	660,0	10,20	18,0	29,0	36,0	1,67	22,0
0,40	18,5	19,0	37,0	1,00	37,0	10,40	12,5	25,0	25,0	1,20	21,0
0,60	15,0	22,5	30,0	1,47	20,0	10,60	13,0	22,0	26,0	1,33	19,0
0,80	9,0	20,0	18,0	1,27	14,0	10,80	11,5	21,5	23,0	1,07	22,0
1,00	6,0	15,5	12,0	0,87	14,0	11,00	9,0	17,0	18,0	1,20	15,0
1,20	9,5	16,0	19,0	1,20	16,0	11,20	13,0	22,0	26,0	1,33	19,0
1,40	9,0	18,0	18,0	1,13	16,0	11,40	13,5	23,5	27,0	1,47	18,0
1,60	8,5	17,0	17,0	0,60	28,0	11,60	10,0	21,0	20,0	0,80	25,0
1,80	8,0	12,5	16,0	0,60	27,0	11,80	16,0	22,0	32,0	1,27	25,0
2,00	7,5	12,0	15,0	0,53	28,0	12,00	14,0	23,5	28,0	1,47	19,0
2,20	7,0	11,0	14,0	0,67	21,0	12,20	14,0	25,0	28,0	1,27	22,0
2,40	6,0	11,0	12,0	0,67	18,0	12,40	11,5	21,0	23,0	1,20	19,0
2,60	8,0	13,0	16,0	0,47	34,0	12,60	9,0	18,0	18,0	1,00	18,0
2,80	8,0	11,5	16,0	0,80	20,0	12,80	12,5	20,0	25,0	1,40	18,0
3,00	13,5	19,5	27,0	0,67	40,0	13,00	6,5	17,0	13,0	1,07	12,0
3,20	9,0	14,0	18,0	0,67	27,0	13,20	9,5	17,5	19,0	1,13	17,0
3,40	8,5	13,5	17,0	1,07	16,0	13,40	13,5	22,0	27,0	1,13	24,0
3,60	8,0	16,0	16,0	1,07	15,0	13,60	9,5	18,0	19,0	0,87	22,0
3,80	9,0	17,0	18,0	0,80	22,0	13,80	7,5	14,0	15,0	0,80	19,0
4,00	8,5	14,5	17,0	0,53	32,0	14,00	6,5	12,5	13,0	1,07	12,0
4,20	6,0	10,0	12,0	0,73	16,0	14,20	10,0	18,0	20,0	1,20	17,0
4,40	4,0	9,5	8,0	0,53	15,0	14,40	11,0	20,0	22,0	1,27	17,0
4,60	4,0	8,0	8,0	0,53	15,0	14,60	13,5	23,0	27,0	1,73	16,0
4,80	5,0	9,0	10,0	0,40	25,0	14,80	14,0	27,0	28,0	1,93	14,0
5,00	6,0	9,0	12,0	0,67	18,0	15,00	14,5	29,0	29,0	2,00	14,0
5,20	5,0	10,0	10,0	0,60	17,0	15,20	15,0	30,0	30,0	1,67	18,0
5,40	6,5	11,0	13,0	0,73	18,0	15,40	9,0	21,5	18,0	0,87	21,0
5,60	5,5	11,0	11,0	0,53	21,0	15,60	6,5	13,0	13,0	0,87	15,0
5,80	6,0	10,0	12,0	0,27	45,0	15,80	5,0	11,5	10,0	0,40	25,0
6,00	9,0	11,0	18,0	0,80	22,0	16,00	3,5	6,5	7,0	0,73	10,0
6,20	7,0	13,0	14,0	0,80	17,0	16,20	5,0	10,5	10,0	1,07	9,0
6,40	4,0	10,0	8,0	0,47	17,0	16,40	9,0	17,0	18,0	1,00	18,0
6,60	4,5	8,0	9,0	0,33	27,0	16,60	11,5	19,0	23,0	1,20	19,0
6,80	7,5	10,0	15,0	0,40	37,0	16,80	11,0	20,0	22,0	1,20	18,0
7,00	7,5	10,5	15,0	0,40	37,0	17,00	11,0	20,0	22,0	1,13	19,0
7,20	5,0	8,0	10,0	0,53	19,0	17,20	11,5	20,0	23,0	1,07	22,0
7,40	5,0	9,0	10,0	0,67	15,0	17,40	12,0	20,0	24,0	1,27	19,0
7,60	6,0	11,0	12,0	0,87	14,0	17,60	12,5	22,0	25,0	1,27	20,0
7,80	9,0	15,5	18,0	1,13	16,0	17,80	11,5	21,0	23,0	1,33	17,0
8,00	11,0	19,5	22,0	1,20	18,0	18,00	10,0	20,0	20,0	1,33	15,0
8,20	9,5	18,5	19,0	1,33	14,0	18,20	15,0	25,0	30,0	1,47	20,0
8,40	10,0	20,0	20,0	1,40	14,0	18,40	12,0	23,0	24,0	1,27	19,0
8,60	9,0	19,5	18,0	1,27	14,0	18,60	8,0	17,5	16,0	1,00	16,0
8,80	9,5	19,0	19,0	1,13	17,0	18,80	9,5	17,0	19,0	1,47	13,0
9,00	10,0	18,5	20,0	1,07	19,0	19,00	17,0	28,0	34,0	3,33	10,0
9,20	9,5	17,5	19,0	1,00	19,0	19,20	20,0	45,0	40,0	3,93	10,0
9,40	8,5	16,0	17,0	1,13	15,0	19,40	25,5	55,0	51,0	3,73	14,0
9,60	8,5	17,0	17,0	1,07	16,0	19,60	27,0	55,0	54,0	4,00	14,0
9,80	9,0	17,0	18,0	0,93	19,0	19,80	22,0	52,0	44,0	2,80	16,0
10,00	18,0	25,0	36,0	1,47	25,0	20,00	16,0	37,0	32,0	----	----

- PENETROMETRO STATICO tipo GOUDA da 10 t - (con anello allungatore) -
- COSTANTE DI TRASFORMAZIONE Ct = 20 - Velocità Avanzamento punta 2 cm/s
- punta meccanica tipo Begemann ø = 35,7 mm (area punta 10 cm² - apertura 60°)
- manicotto laterale (superficie 150 cm²)

PROVA PENETROMETRICA STATICÀ
LETTURE DI CAMPAGNA / VALORI DI RESISTENZA

CPT 2

2.010496-059

- committente : Immobiliare R.B.R. s.n.c.
 - lavoro : Variante al P.R.G. - AREA L3
 - località : Via Donizzetti - San Martino in Rio (RE)
 - note :

- data : 27/06/2013
 - quota inizio : Piano Campagna
 - prof. falda : 1,85 m da quota inizio
 - pagina : 1

prf m	LP Kg/cm ²	LL Kg/cm ²	Rp Kg/cm ²	RL Kg/cm ²	Rp/Rl	prf m	LP Kg/cm ²	LL Kg/cm ²	Rp Kg/cm ²	RL Kg/cm ²	Rp/Rl
0,20	22,0	----	44,0	0,07	660,0	10,20	18,0	29,0	36,0	1,67	22,0
0,40	18,5	19,0	37,0	1,00	37,0	10,40	12,5	25,0	25,0	1,20	21,0
0,60	15,0	22,5	30,0	1,47	20,0	10,60	13,0	22,0	26,0	1,33	19,0
0,80	9,0	20,0	18,0	1,27	14,0	10,80	11,5	21,5	23,0	1,07	22,0
1,00	6,0	15,5	12,0	0,87	14,0	11,00	9,0	17,0	18,0	1,20	15,0
1,20	9,5	16,0	19,0	1,20	16,0	11,20	13,0	22,0	26,0	1,33	19,0
1,40	9,0	18,0	18,0	1,13	16,0	11,40	13,5	23,5	27,0	1,47	18,0
1,60	8,5	17,0	17,0	0,60	28,0	11,60	10,0	21,0	20,0	0,80	25,0
1,80	8,0	12,5	16,0	0,60	27,0	11,80	16,0	22,0	32,0	1,27	25,0
2,00	7,5	12,0	15,0	0,53	28,0	12,00	14,0	23,5	28,0	1,47	19,0
2,20	7,0	11,0	14,0	0,67	21,0	12,20	14,0	25,0	28,0	1,27	22,0
2,40	6,0	11,0	12,0	0,67	18,0	12,40	11,5	21,0	23,0	1,20	19,0
2,60	8,0	13,0	16,0	0,47	34,0	12,60	9,0	18,0	18,0	1,00	18,0
2,80	8,0	11,5	16,0	0,80	20,0	12,80	12,5	20,0	25,0	1,40	18,0
3,00	13,5	19,5	27,0	0,67	40,0	13,00	6,5	17,0	13,0	1,07	12,0
3,20	9,0	14,0	18,0	0,67	27,0	13,20	9,5	17,5	19,0	1,13	17,0
3,40	8,5	13,5	17,0	1,07	16,0	13,40	13,5	22,0	27,0	1,13	24,0
3,60	8,0	16,0	16,0	1,07	15,0	13,60	9,5	18,0	19,0	0,87	22,0
3,80	9,0	17,0	18,0	0,80	22,0	13,80	7,5	14,0	15,0	0,80	19,0
4,00	8,5	14,5	17,0	0,53	32,0	14,00	6,5	12,5	13,0	1,07	12,0
4,20	6,0	10,0	12,0	0,73	16,0	14,20	10,0	18,0	20,0	1,20	17,0
4,40	4,0	9,5	8,0	0,53	15,0	14,40	11,0	20,0	22,0	1,27	17,0
4,60	4,0	8,0	8,0	0,53	15,0	14,60	13,5	23,0	27,0	1,73	16,0
4,80	5,0	9,0	10,0	0,40	25,0	14,80	14,0	27,0	28,0	1,93	14,0
5,00	6,0	9,0	12,0	0,67	18,0	15,00	14,5	29,0	29,0	2,00	14,0
5,20	5,0	10,0	10,0	0,60	17,0	15,20	15,0	30,0	30,0	1,67	18,0
5,40	6,5	11,0	13,0	0,73	18,0	15,40	9,0	21,5	18,0	0,87	21,0
5,60	5,5	11,0	11,0	0,53	21,0	15,60	6,5	13,0	13,0	0,87	15,0
5,80	6,0	10,0	12,0	0,27	45,0	15,80	5,0	11,5	10,0	0,40	25,0
6,00	9,0	11,0	18,0	0,80	22,0	16,00	3,5	6,5	7,0	0,73	10,0
6,20	7,0	13,0	14,0	0,80	17,0	16,20	5,0	10,5	10,0	1,07	9,0
6,40	4,0	10,0	8,0	0,47	17,0	16,40	9,0	17,0	18,0	1,00	18,0
6,60	4,5	8,0	9,0	0,33	27,0	16,60	11,5	19,0	23,0	1,20	19,0
6,80	7,5	10,0	15,0	0,40	37,0	16,80	11,0	20,0	22,0	1,20	18,0
7,00	7,5	10,5	15,0	0,40	37,0	17,00	11,0	20,0	22,0	1,13	19,0
7,20	5,0	8,0	10,0	0,53	19,0	17,20	11,5	20,0	23,0	1,07	22,0
7,40	5,0	9,0	10,0	0,67	15,0	17,40	12,0	20,0	24,0	1,27	19,0
7,60	6,0	11,0	12,0	0,87	14,0	17,60	12,5	22,0	25,0	1,27	20,0
7,80	9,0	15,5	18,0	1,13	16,0	17,80	11,5	21,0	23,0	1,33	17,0
8,00	11,0	19,5	22,0	1,20	18,0	18,00	10,0	20,0	20,0	1,33	15,0
8,20	9,5	18,5	19,0	1,33	14,0	18,20	15,0	25,0	30,0	1,47	20,0
8,40	10,0	20,0	20,0	1,40	14,0	18,40	12,0	23,0	24,0	1,27	19,0
8,60	9,0	19,5	18,0	1,27	14,0	18,60	8,0	17,5	16,0	1,00	16,0
8,80	9,5	19,0	19,0	1,13	17,0	18,80	9,5	17,0	19,0	1,47	13,0
9,00	10,0	18,5	20,0	1,07	19,0	19,00	17,0	28,0	34,0	3,33	10,0
9,20	9,5	17,5	19,0	1,00	19,0	19,20	20,0	45,0	40,0	3,93	10,0
9,40	8,5	16,0	17,0	1,13	15,0	19,40	25,5	55,0	51,0	3,73	14,0
9,60	8,5	17,0	17,0	1,07	16,0	19,60	27,0	55,0	54,0	4,00	14,0
9,80	9,0	17,0	18,0	0,93	19,0	19,80	22,0	52,0	44,0	2,80	16,0
10,00	18,0	25,0	36,0	1,47	25,0	20,00	16,0	37,0	32,0	----	----

- PENETROMETRO STATICO tipo GOUDA da 10 t - (con anello allungatore) -
- COSTANTE DI TRASFORMAZIONE $C_t = 20$ - Velocità Avanzamento punta 2 cm/s
- punta meccanica tipo Begemann $\phi = 35,7$ mm (area punta 10 cm² - apertura 60°)
- manicotto laterale (superficie 150 cm²)

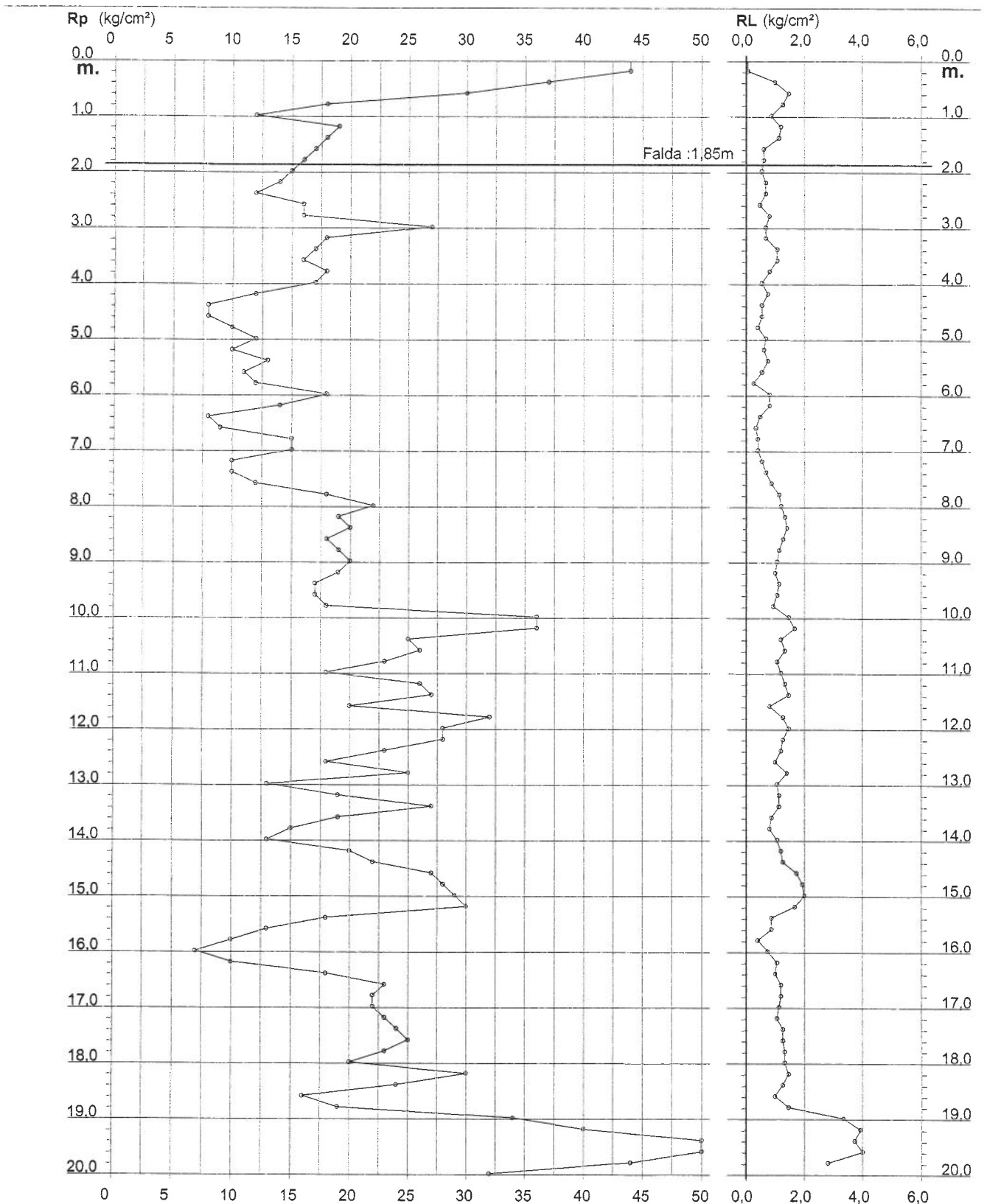
**PROVA PENETROMETRICA STATICÀ
 DIAGRAMMA DI RESISTENZA**

CPT 2

2.010496-059

- committente : Immobiliare R.B.R. s.n.c.
 - lavoro : Variante al P.R.G. - AREA L3
 - località : Via Donizzetti - San Martino in Rio (RE)

- data : 27/06/2013
 - quota inizio : Piano Campagna
 - prof. falda : 1,85 m da quota inizio
 - scala vert.: 1 : 100



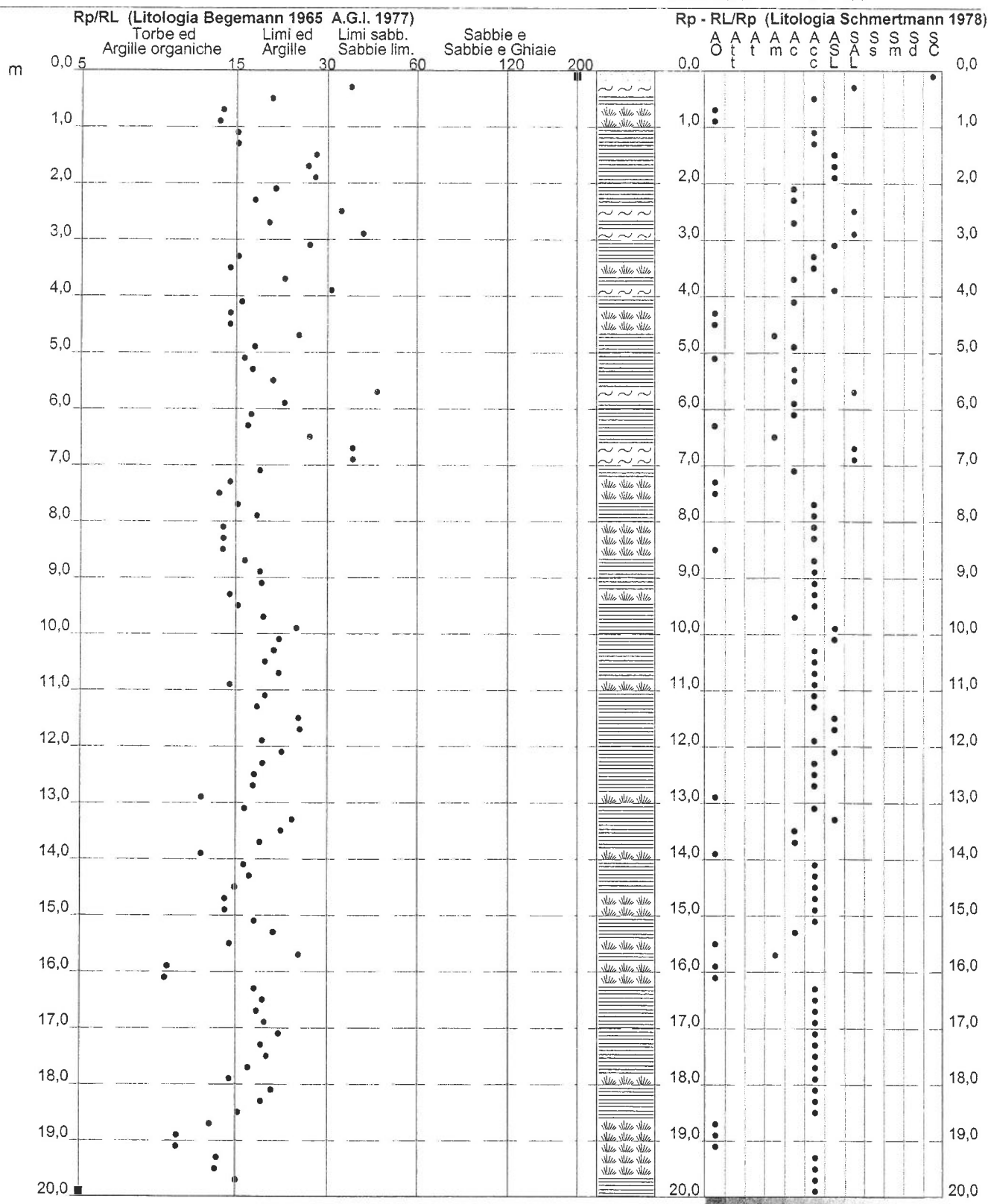
**PROVA PENETROMETRICA STATICÀ
 VALUTAZIONI LITOLOGICHE**

CPT 2

2.010496-059

- committente : Immobiliare R.B.R. s.n.c.
 - lavoro : Variante al P.R.G. - AREA L3
 - località : Via Donizzetti - San Martino in Rio (RE)
 - note :

- data : 27/06/2013
 - quota inizio : Piano Campagna
 - prof. falda : 1,85 m da quota inizio
 - scala vert.: 1 : 100



PROVA PENETROMETRICA STATICA
TABELLA PARAMETRI GEOTECNICI

CPT 2

2.010496-059

- committente : Immobiliare R.B.R. s.n.c.
- lavoro : Variante al P.R.G. - AREA L3
- località : Via Donizzetti - San Martino in Rio (RE)
- note :

- data : 27/06/2013
- quota inizio : Piano Campagna
- prof. falda : 1,85 m da quota inizio
- pagina : 1

Prof. m	Rp kg/cm²	Rp/Ri (-)	Natura Lit., t/m³	Y' kg/cm²	p'vo kg/cm²	Cu kg/cm²	OCR (-)	NATURA COESIVA			NATURA GRANULARE										
								Eu50 kg/cm²	Eu25 kg/cm²	Mo kg/cm²	Dr %	ø1s (°)	ø2s (°)	ø3s (°)	ø4s (°)	ødm (°)	ømy (°)	Amax/g (-)	E'50 kg/cm²	E'25 kg/cm²	Mo kg/cm²
0,20	44	660	3...:	1,85	0,04	--	--	--	--	--	100	42	43	45	46	45	31	0,258	73	110	132
0,40	37	37	3...:	1,85	0,07	--	--	--	--	--	100	42	43	45	46	44	30	0,258	62	93	111
0,60	30	20	4/...:	1,85	0,11	1,00	98,0	170	255	90	84	40	41	43	45	41	29	0,204	50	75	90
0,80	18	14	2///:	1,85	0,15	0,75	47,7	128	191	56	--	--	--	--	--	--	--	--	--	--	--
1,00	12	14	2///:	1,85	0,19	0,57	25,7	97	146	45	--	--	--	--	--	--	--	--	--	--	--
1,20	19	16	2///:	1,85	0,22	0,78	30,0	132	198	58	--	--	--	--	--	--	--	--	--	--	--
1,40	18	16	2///:	1,85	0,26	0,75	23,7	128	191	56	--	--	--	--	--	--	--	--	--	--	--
1,60	17	28	2///:	1,85	0,30	0,72	19,2	123	184	54	--	--	--	--	--	--	--	--	--	--	--
1,80	16	27	2///:	1,85	0,33	0,70	15,8	118	177	52	--	--	--	--	--	--	--	--	--	--	--
2,00	15	28	2///:	0,95	0,35	0,67	13,9	113	170	50	--	--	--	--	--	--	--	--	--	--	--
2,20	14	21	2///:	0,94	0,37	0,64	12,3	108	162	48	--	--	--	--	--	--	--	--	--	--	--
2,40	12	18	2///:	0,92	0,39	0,57	10,1	97	146	45	--	--	--	--	--	--	--	--	--	--	--
2,60	16	34	4/...:	0,90	0,41	0,70	12,3	118	177	52	31	32	35	38	40	32	27	0,060	27	40	48
2,80	16	20	2///:	0,96	0,43	0,70	11,6	118	177	52	--	--	--	--	--	--	--	--	--	--	--
3,00	27	40	3...:	0,87	0,44	--	--	--	--	--	47	35	37	39	42	34	28	0,096	45	68	81
3,20	18	27	2///:	0,98	0,46	0,75	11,5	128	191	56	--	--	--	--	--	--	--	--	--	--	--
3,40	17	16	2///:	0,97	0,48	0,72	10,4	123	184	54	--	--	--	--	--	--	--	--	--	--	--
3,60	16	15	2///:	0,96	0,50	0,70	9,4	120	180	52	--	--	--	--	--	--	--	--	--	--	--
3,80	18	22	2///:	0,98	0,52	0,75	9,9	128	192	56	--	--	--	--	--	--	--	--	--	--	--
4,00	17	32	4/...:	0,91	0,54	0,72	9,1	128	192	54	26	32	34	37	40	31	27	0,050	28	43	51
4,20	12	16	2///:	0,92	0,56	0,57	6,5	144	216	45	--	--	--	--	--	--	--	--	--	--	--
4,40	8	15	2///:	0,86	0,58	0,40	4,0	161	241	35	--	--	--	--	--	--	--	--	--	--	--
4,60	8	15	2///:	0,86	0,59	0,40	3,8	167	250	35	--	--	--	--	--	--	--	--	--	--	--
4,80	10	25	2///:	0,90	0,61	0,50	4,9	169	253	40	--	--	--	--	--	--	--	--	--	--	--
5,00	12	18	2///:	0,92	0,63	0,57	5,6	170	255	45	--	--	--	--	--	--	--	--	--	--	--
5,20	10	17	2///:	0,90	0,65	0,50	4,6	180	270	40	--	--	--	--	--	--	--	--	--	--	--
5,40	13	18	2///:	0,93	0,67	0,60	5,6	180	270	47	--	--	--	--	--	--	--	--	--	--	--
5,60	11	21	2///:	0,91	0,68	0,54	4,6	190	285	42	--	--	--	--	--	--	--	--	--	--	--
5,80	12	45	4/...:	0,88	0,70	0,57	4,9	194	291	45	8	29	32	35	39	27	26	0,017	20	30	36
6,00	18	22	2///:	0,98	0,72	0,75	6,6	185	277	56	--	--	--	--	--	--	--	--	--	--	--
6,20	14	17	2///:	0,94	0,74	0,64	5,2	203	304	48	--	--	--	--	--	--	--	--	--	--	--
6,40	8	17	2///:	0,86	0,76	0,40	2,8	203	304	35	--	--	--	--	--	--	--	--	--	--	--
6,60	9	27	2///:	0,88	0,77	0,45	3,2	215	323	38	--	--	--	--	--	--	--	--	--	--	--
6,80	15	37	4/...:	0,89	0,79	0,67	5,1	218	327	50	12	30	33	36	39	28	27	0,025	25	38	45
7,00	15	37	4/...:	0,89	0,81	0,67	4,9	224	336	50	12	30	33	36	39	28	27	0,024	25	38	45
7,20	10	19	2///:	0,90	0,83	0,50	3,3	232	348	40	--	--	--	--	--	--	--	--	--	--	--
7,40	10	15	2///:	0,90	0,85	0,50	3,3	236	354	40	--	--	--	--	--	--	--	--	--	--	--
7,60	12	14	2///:	0,92	0,86	0,57	3,7	244	366	45	--	--	--	--	--	--	--	--	--	--	--
7,80	18	16	2///:	0,98	0,88	0,75	5,1	243	365	56	--	--	--	--	--	--	--	--	--	--	--
8,00	22	14	2///:	0,93	0,90	0,85	5,8	241	362	66	22	31	34	37	40	29	28	0,043	37	55	66
8,20	19	14	2///:	0,99	0,92	0,78	5,1	254	381	58	--	--	--	--	--	--	--	--	--	--	--
8,40	20	14	4/...:	0,93	0,94	0,80	5,1	259	388	60	18	31	33	36	39	28	27	0,035	33	50	60
8,60	18	14	2///:	0,98	0,96	0,75	4,6	268	401	56	--	--	--	--	--	--	--	--	--	--	--
8,80	19	17	2///:	0,99	0,98	0,78	4,7	273	409	58	--	--	--	--	--	--	--	--	--	--	--
9,00	20	19	4/...:	0,93	1,00	0,80	4,8	277	416	60	17	30	33	36	39	28	27	0,032	33	50	60
9,20	19	19	2///:	0,99	1,02	0,78	4,5	284	426	58	--	--	--	--	--	--	--	--	--	--	--
9,40	17	15	2///:	0,97	1,04	0,72	4,0	290	434	54	--	--	--	--	--	--	--	--	--	--	--
9,60	17	16	2///:	0,97	1,06	0,72	3,9	297	445	54	--	--	--	--	--	--	--	--	--	--	--
9,80	18	19	2///:	0,98	1,08	0,75	4,0	301	451	56	--	--	--	--	--	--	--	--	--	--	--
10,00	36	25	4/...:	0,99	1,10	1,20	7,0	275	412	108	35	33	35	38	41	31	30	0,068	60	90	108
10,20	36	22	4/...:	0,99	1,12	1,20	6,9	282	423	108	34	33	35	38	41	31	30	0,067	60	90	108
10,40	25	21	4/...:	0,94	1,14	0,91	4,8	315	473	75	21	31	34	37	40	29	28	0,040	42	63	75
10,60	26	19	4/...:	0,95	1,15	0,93	4,8	320	481	78	22	31	34	37	40	29	28	0,042	43	65	78
10,80	23	22	4/...:	0,94	1,17	0,87	4,3	328	491	69	18	30	33	36	39	28	28	0,034	38	58	69
11,00	18	15	2///:	0,98	1,19	0,75	3,5	336	505	56	--	--	--	--	--	--	--	--	--	--	--
11,20	26	19	4/...:	0,95	1,21	0,93	4,5	338	507	78	21	31	34	37	40	28	28	0,040	43	65	78
11,40	27	18	4/...:	0,95	1,23	0,95	4,5	343	515	81	22	31	34	37	40	29	28	0,042	45	68	81
11,60	20	25	4/...:	0,93	1,25	0,80	3,6	353	529	60	11	30	33	36	39	27	27	0,023	33	50	60
11,80	32	25	4/...:	0,97	1,27	1,07	5,1	350	524	96	27	32	34	37	40	29	28	0,052	53	80	96
12,00	28	19	4/...:	0,96	1,29	0,97	4,4	360	539	84	22	31	34	37	40	28	28	0,042	47	70	84
12,20	28	22	4/...:	0,96	1,31	0,97	4,3	365	547	84	22	31	34	37	40	28	28	0,041	47	70	84
12,40	23	19	4/...:	0,94	1,33																

PROVA PENETROMETRICA STATICÀ
LETTURE DI CAMPAGNA / VALORI DI RESISTENZA

CPT 3

2.010496-059

- committente : Immobiliare R.B.R. s.n.c.
 - lavoro : Variante al P.R.G. - AREA L3
 - località : Via Donizzetti - San Martino in Rio (RE)
 - note :

- data : 27/06/2013
 - quota inizio : Piano Campagna
 - prof. falda : 1,70 m da quota inizio
 - pagina : 1

prf m	LP Kg/cm ²	LL Kg/cm ²	Rp Kg/cm ²	RL Kg/cm ²	Rp/Rl -	prf m	LP Kg/cm ²	LL Kg/cm ²	Rp Kg/cm ²	RL Kg/cm ²	Rp/Rl -
0,20	17,0	----	34,0	0,53	64,0	10,20	11,5	18,5	23,0	0,93	25,0
0,40	16,5	20,5	33,0	0,93	35,0	10,40	10,0	17,0	20,0	1,20	17,0
0,60	13,0	20,0	26,0	1,60	16,0	10,60	11,0	20,0	22,0	0,73	30,0
0,80	13,0	25,0	26,0	1,00	26,0	10,80	15,5	21,0	31,0	0,40	77,0
1,00	9,5	17,0	19,0	1,20	16,0	11,00	23,0	26,0	46,0	0,33	138,0
1,20	8,5	17,5	17,0	1,07	16,0	11,20	19,0	21,5	38,0	0,40	95,0
1,40	6,0	14,0	12,0	0,73	16,0	11,40	32,0	35,0	64,0	0,33	192,0
1,60	7,0	12,5	14,0	0,73	19,0	11,60	27,5	30,0	55,0	0,27	206,0
1,80	6,0	11,5	12,0	0,60	20,0	11,80	43,0	45,0	86,0	0,67	129,0
2,00	4,5	9,0	9,0	0,53	17,0	12,00	50,0	55,0	100,0	2,00	50,0
2,20	8,0	12,0	16,0	0,67	24,0	12,20	75,0	90,0	150,0	0,67	225,0
2,40	7,0	12,0	14,0	0,67	21,0	12,40	75,0	80,0	150,0	0,53	281,0
2,60	6,5	11,5	13,0	0,53	24,0	12,60	35,0	39,0	70,0	0,67	105,0
2,80	8,5	12,5	17,0	0,67	25,0	12,80	70,0	75,0	140,0	0,13	1050,0
3,00	6,0	11,0	12,0	0,67	18,0	13,00	36,0	37,0	72,0	0,33	216,0
3,20	6,0	11,0	12,0	0,67	18,0	13,20	12,0	14,5	24,0	0,53	45,0
3,40	6,0	11,0	12,0	0,47	26,0	13,40	5,0	9,0	10,0	0,27	37,0
3,60	6,0	9,5	12,0	0,60	20,0	13,60	13,5	15,5	27,0	0,93	29,0
3,80	5,0	9,5	10,0	0,40	25,0	13,80	11,0	18,0	22,0	1,00	22,0
4,00	5,5	8,5	11,0	0,53	21,0	14,00	7,5	15,0	15,0	0,93	16,0
4,20	6,0	10,0	12,0	0,53	22,0	14,20	9,0	16,0	18,0	1,00	18,0
4,40	4,0	8,0	8,0	0,47	17,0	14,40	13,0	20,5	26,0	0,93	28,0
4,60	4,0	7,5	8,0	0,53	15,0	14,60	14,5	21,5	29,0	1,27	23,0
4,80	5,0	9,0	10,0	0,53	19,0	14,80	14,5	24,0	29,0	1,33	22,0
5,00	5,5	9,5	11,0	0,60	18,0	15,00	9,0	19,0	18,0	1,07	17,0
5,20	5,5	10,0	11,0	0,60	18,0	15,20	9,5	17,5	19,0	0,73	26,0
5,40	4,5	9,0	9,0	0,53	17,0	15,40	9,0	14,5	18,0	0,60	30,0
5,60	5,5	9,5	11,0	0,67	16,0	15,60	7,5	12,0	15,0	0,60	25,0
5,80	4,5	9,5	9,0	0,60	15,0	15,80	8,0	12,5	16,0	0,60	27,0
6,00	5,0	9,5	10,0	0,67	15,0	16,00	7,5	12,0	15,0	1,00	15,0
6,20	7,0	12,0	14,0	0,73	19,0	16,20	11,0	18,5	22,0	0,80	27,0
6,40	3,5	9,0	7,0	0,33	21,0	16,40	8,0	14,0	16,0	0,80	20,0
6,60	4,0	6,5	8,0	0,53	15,0	16,60	9,0	15,0	18,0	1,20	15,0
6,80	3,5	7,5	7,0	0,33	21,0	16,80	26,0	35,0	52,0	0,13	390,0
7,00	5,0	7,5	10,0	0,53	19,0	17,00	19,0	20,0	38,0	1,33	28,0
7,20	5,0	9,0	10,0	0,60	17,0	17,20	45,0	55,0	90,0	1,20	75,0
7,40	5,0	9,5	10,0	0,53	19,0	17,40	25,0	34,0	50,0	1,13	44,0
7,60	4,5	8,5	9,0	0,53	17,0	17,60	26,5	35,0	53,0	0,93	57,0
7,80	7,0	11,0	14,0	0,80	17,0	17,80	15,0	22,0	30,0	1,60	19,0
8,00	7,5	13,5	15,0	1,07	14,0	18,00	13,0	25,0	26,0	1,27	21,0
8,20	7,0	15,0	14,0	0,87	16,0	18,20	15,5	25,0	31,0	1,67	19,0
8,40	9,0	15,5	18,0	1,07	17,0	18,40	17,5	30,0	35,0	1,67	21,0
8,60	10,0	18,0	20,0	1,27	16,0	18,60	15,0	27,5	30,0	1,73	17,0
8,80	12,0	21,5	24,0	1,33	18,0	18,80	8,5	21,5	17,0	1,20	14,0
9,00	10,0	20,0	20,0	1,20	17,0	19,00	7,0	16,0	14,0	1,13	12,0
9,20	7,0	16,0	14,0	0,87	16,0	19,20	12,5	21,0	25,0	1,40	18,0
9,40	9,5	16,0	19,0	0,67	28,0	19,40	22,5	33,0	45,0	3,07	15,0
9,60	9,5	14,5	19,0	1,27	15,0	19,60	18,0	41,0	36,0	3,80	9,0
9,80	8,5	18,0	17,0	0,53	32,0	19,80	13,5	42,0	27,0	2,80	10,0
10,00	8,5	12,5	17,0	0,93	18,0	20,00	21,0	42,0	42,0	---	---

- PENETROMETRO STATICO tipo GOUDA da 10 t - (con anello allungatore) -
- COSTANTE DI TRASFORMAZIONE Ct = 20 - Velocità Avanzamento punta 2 cm/s
- punta meccanica tipo Begemann ø = 35,7 mm (area punta 10 cm² - apertura 60°)
- manicotto laterale (superficie 150 cm²)

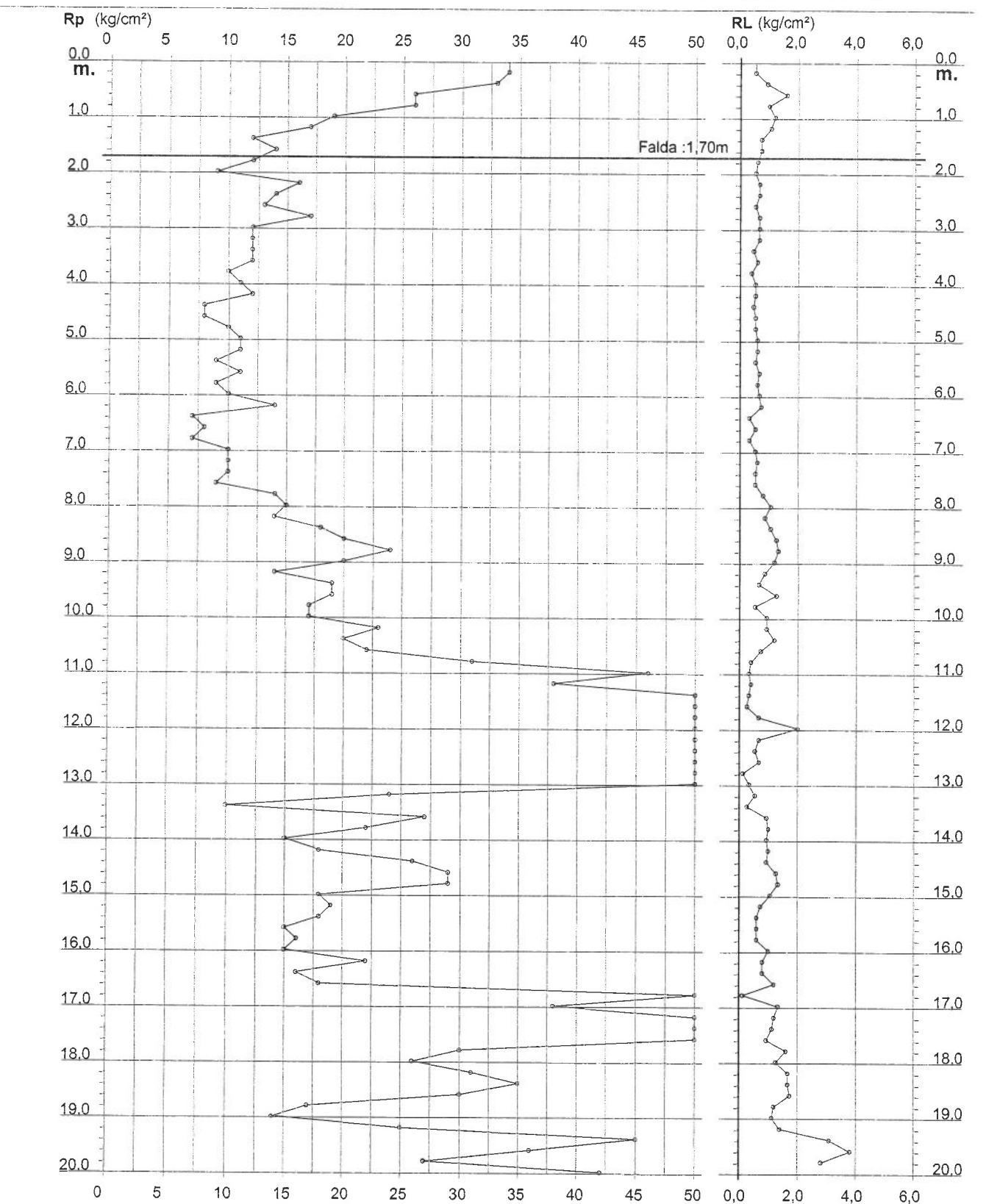
**PROVA PENETROMETRICA STATICÀ
 DIAGRAMMA DI RESISTENZA**

CPT 3

2.010496-059

- committente : Immobiliare R.B.R. s.n.c.
 - lavoro : Variante al P.R.G. - AREA L3
 - località : Via Donizzetti - San Martino in Rio (RE)

- data : 27/06/2013
 - quota inizio : Piano Campagna
 - prof. falda : 1,70 m da quota inizio
 - scala vert.: 1 : 100



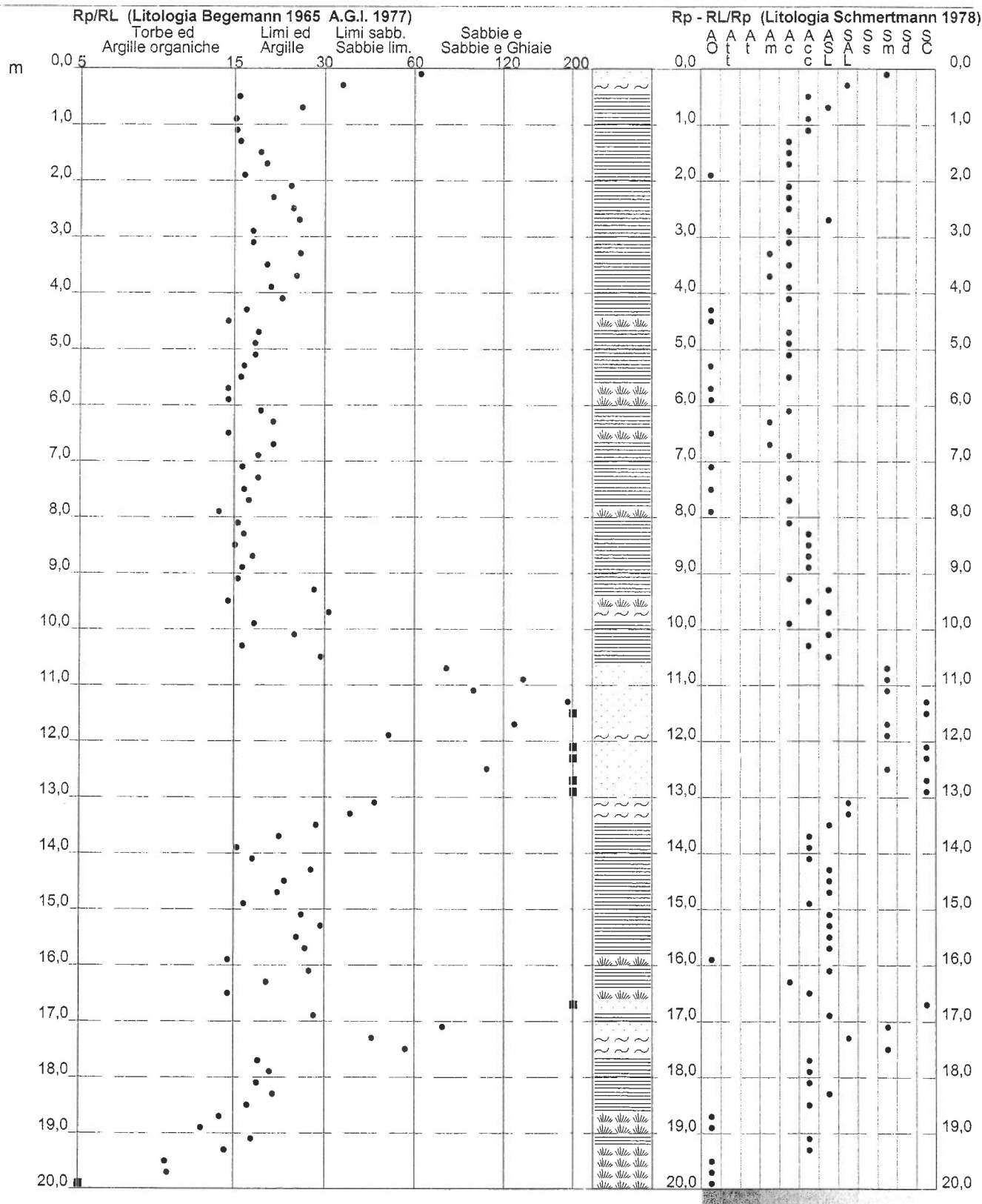
PROVA PENETROMETRICA STATICA VALUTAZIONI LITOLOGICHE

CPT 3

2.010496-059

- committente : Immobiliare R.B.R. s.n.c.
- lavoro : Variante al P.R.G. - AREA L3
- località : Via Donizzetti - San Martino in Rio (RE)
- note :

- data : 27/06/2013
- quota inizio : Piano Campagna
- prof. falda : 1,70 m da quota inizio
- scala vert.: 1 : 100



PROVA PENETROMETRICA STATICA
TABELLA PARAMETRI GEOTECNICI

CPT 3

2.010496-059

- committente : Immobiliare R.B.R. s.n.c.
- lavoro : Variante al P.R.G. - AREA L3
- località : Via Donizzetti - San Martino in Rio (RE)
- note :

- data : 27/06/2013
- quota inizio : Piano Campagna
- prof. falda : 1,70 m da quota inizio
- pagina : 1

Prof. m	Rp kg/cm²	Rp/Rl (-)	Natura Litol.	Y' t/m³	p'vo kg/cm²	Cu kg/cm²	OCR (-)	Eu50 kg/cm²	Eu25 kg/cm²	Mo kg/cm²	Dr %	NATURA COESIVA		NATURA GRANULARE									
												ø1s (°)	ø2s (°)	ø3s (°)	ø4s (°)	ødm (°)	ømy (°)	Amax/g (-)	E'50 kg/cm²	E'25 kg/cm²	Mo kg/cm²		
0,20	34	64	3:::	1,85	0,04	--	--	--	--	--	100	42	43	45	46	45	29	0,258	57	85	102		
0,40	33	35	3:::	1,85	0,07	--	--	--	--	--	97	42	43	44	46	43	29	0,249	55	83	99		
0,60	26	16	4/::	1,85	0,11	0,93	89,3	158	237	78	79	39	41	43	44	41	28	0,188	43	65	78		
0,80	26	26	4/::	1,85	0,15	0,93	62,3	158	237	78	72	38	40	42	44	40	28	0,166	43	65	78		
1,00	19	16	2///	1,85	0,19	0,78	37,7	132	198	58	--	--	--	--	--	--	--	--	--	--	--		
1,20	17	16	2///	1,85	0,22	0,72	27,5	123	184	54	--	--	--	--	--	--	--	--	--	--	--		
1,40	12	16	2///	1,85	0,26	0,57	16,9	97	146	45	--	--	--	--	--	--	--	--	--	--	--		
1,60	14	19	2///	1,85	0,30	0,64	16,3	108	162	48	--	--	--	--	--	--	--	--	--	--	--		
1,80	12	20	2///	0,92	0,31	0,57	13,2	97	146	45	--	--	--	--	--	--	--	--	--	--	--		
2,00	9	17	2///	0,88	0,33	0,45	9,2	79	118	38	--	--	--	--	--	--	--	--	--	--	--		
2,20	16	24	2///	0,96	0,35	0,70	14,8	118	177	52	--	--	--	--	--	--	--	--	--	--	--		
2,40	14	21	2///	0,94	0,37	0,64	12,4	108	162	48	--	--	--	--	--	--	--	--	--	--	--		
2,60	13	24	2///	0,93	0,39	0,60	10,9	103	154	47	--	--	--	--	--	--	--	--	--	--	--		
2,80	17	25	2///	0,97	0,41	0,72	12,8	123	184	54	--	--	--	--	--	--	--	--	--	--	--		
3,00	12	18	2///	0,92	0,43	0,57	9,1	101	152	45	--	--	--	--	--	--	--	--	--	--	--		
3,20	12	18	2///	0,92	0,44	0,57	8,6	105	158	45	--	--	--	--	--	--	--	--	--	--	--		
3,40	12	26	2///	0,92	0,46	0,57	8,2	111	166	45	--	--	--	--	--	--	--	--	--	--	--		
3,60	12	20	2///	0,92	0,48	0,57	7,8	117	175	45	--	--	--	--	--	--	--	--	--	--	--		
3,80	10	25	2///	0,90	0,50	0,50	6,3	130	195	40	--	--	--	--	--	--	--	--	--	--	--		
4,00	11	21	2///	0,91	0,52	0,54	6,6	133	199	42	--	--	--	--	--	--	--	--	--	--	--		
4,20	12	22	2///	0,92	0,54	0,57	6,8	136	204	45	--	--	--	--	--	--	--	--	--	--	--		
4,40	8	17	2///	0,86	0,55	0,40	4,2	155	232	35	--	--	--	--	--	--	--	--	--	--	--		
4,60	8	15	2///	0,86	0,57	0,40	4,0	159	239	35	--	--	--	--	--	--	--	--	--	--	--		
5,00	11	18	2///	0,91	0,61	0,54	5,4	165	248	42	--	--	--	--	--	--	--	--	--	--	--		
5,20	11	18	2///	0,91	0,63	0,54	5,2	171	257	42	--	--	--	--	--	--	--	--	--	--	--		
5,40	9	17	2///	0,88	0,64	0,45	4,0	179	269	38	--	--	--	--	--	--	--	--	--	--	--		
5,60	11	16	2///	0,91	0,66	0,54	4,8	183	275	42	--	--	--	--	--	--	--	--	--	--	--		
5,80	9	15	2///	0,88	0,68	0,45	3,8	191	287	38	--	--	--	--	--	--	--	--	--	--	--		
6,00	10	15	2///	0,90	0,70	0,50	4,1	194	292	40	--	--	--	--	--	--	--	--	--	--	--		
6,20	14	19	2///	0,94	0,72	0,64	5,4	194	292	48	--	--	--	--	--	--	--	--	--	--	--		
6,40	7	21	2///	0,84	0,73	0,35	2,5	186	273	32	--	--	--	--	--	--	--	--	--	--	--		
6,60	8	15	2///	0,86	0,75	0,40	2,9	202	302	35	--	--	--	--	--	--	--	--	--	--	--		
6,80	7	21	2///	0,84	0,77	0,35	2,4	189	283	32	--	--	--	--	--	--	--	--	--	--	--		
7,00	10	19	2///	0,90	0,78	0,50	3,6	221	332	40	--	--	--	--	--	--	--	--	--	--	--		
7,20	10	17	2///	0,90	0,80	0,50	3,5	226	339	40	--	--	--	--	--	--	--	--	--	--	--		
7,40	10	19	2///	0,90	0,82	0,50	3,4	230	346	40	--	--	--	--	--	--	--	--	--	--	--		
7,60	9	17	2///	0,88	0,84	0,45	2,9	226	339	38	--	--	--	--	--	--	--	--	--	--	--		
7,80	14	17	2///	0,94	0,86	0,64	4,3	239	359	48	--	--	--	--	--	--	--	--	--	--	--		
8,00	15	14	2///	0,95	0,88	0,67	4,5	244	366	50	--	--	--	--	--	--	--	--	--	--	--		
8,20	14	16	2///	0,94	0,89	0,64	4,1	250	374	48	--	--	--	--	--	--	--	--	--	--	--		
8,40	18	17	2///	0,98	0,91	0,75	4,9	253	379	56	--	--	--	--	--	--	--	--	--	--	--		
8,60	20	16	4/::	0,93	0,93	0,80	5,2	256	384	60	18	31	33	36	39	38	27	0,035	33	50	60		
8,80	24	18	4/::	0,94	0,95	0,89	5,8	255	382	72	24	31	34	37	40	29	28	0,046	40	60	72		
9,00	20	17	4/::	0,93	0,97	0,80	4,9	268	402	60	17	30	33	36	39	28	27	0,033	33	50	60		
9,20	14	16	2///	0,94	0,99	0,64	3,6	279	419	48	--	--	--	--	--	--	--	--	--	--	--		
9,40	19	28	2///	0,99	1,01	0,78	4,5	281	422	58	--	--	--	--	--	--	--	--	--	--	--		
9,60	15	19	2///	0,99	1,03	0,78	4,4	287	430	58	--	--	--	--	--	--	--	--	--	--	--		
9,80	17	32	4/::	0,91	1,05	0,72	4,0	293	439	54	10	29	32	36	39	27	27	0,020	28	43	51		
10,00	17	18	2///	0,97	1,07	0,72	3,9	299	449	54	--	--	--	--	--	--	--	--	--	--	--		
10,20	23	25	4/::	0,94	1,08	0,87	4,8	301	452	69	20	31	34	36	40	28	28	0,037	38	58	69		
10,40	20	17	4/::	0,93	1,10	0,80	4,2	308	462	60	14	30	33	36	39	27	27	0,028	33	50	60		
10,60	22	30	4/::	0,93	1,12	0,85	4,4	313	470	66	17	30	33	36	39	28	28	0,033	37	55	66		
10,80	31	77	3:::	0,88	1,14	--	--	--	--	--	29	32	35	37	40	30	29	0,055	52	78	93		
11,00	46	138	3:::	0,91	1,16	--	--	--	--	--	42	34	36	39	41	32	31	0,084	77	115	138		
11,20	38	95	3:::	0,90	1,18	--	--	--	--	--	35	33	35	38	41	31	30	0,068	63	95	114		
11,40	64	192	3:::	0,94	1,19	--	--	--	--	--	52	35	38	40	42	33	32	0,110	107	160	192		
11,60	55	206	3:::	0,93	1,21	--	--	--	--	--	47	35	37	39	42	33	31	0,096	92	138	165		
11,80	86	129	3:::	0,98	1,23	--	--	--	--	--	62	37	39	41	43	35	33	0,135	143	215	258		
12,00	100	50	3:::	1,00	1,25	--	--	--	--	--	67	37	39	41	43	36	34	0,149	167	250	300		
12,20	150	225	3:::	1,08	1,27	--	--	--	--	--	80	39	41	43	44	38	36	0,190	250	375	450		
12,40	150	281	3:::	1,08	1,29	--	--	--	--	--	80	39	41	43	44	38	36	0,189	250	375	450		
12,60	70	105	3:::	0,95	1,31	--	--	--	--	--	53	35	38	40	42	33	32	0,112	117	175	210		
12,80																							

PROVA PENETROMETRICA STATICÀ
LETTURE DI CAMPAGNA / VALORI DI RESISTENZA

CPT 4

2.010496-059

- committente :	Immobiliare R.B.R. s.n.c.					- data :	27/06/2013				
- lavoro :	Variante al P.R.G. - AREA L3					- quota inizio :	Piano Campagna				
- località :	Via Donizzetti - San Martino in Rio (RE)					- prof. falda :	1,50 m da quota inizio				
- note :						- pagina :	1				
prf m	LP Kg/cm²	LL Kg/cm²	Rp Kg/cm²	RL Kg/cm²	Rp/RI -	prf m	LP Kg/cm²	LL Kg/cm²	Rp Kg/cm²	RL Kg/cm²	Rp/RI -
0,20	20,0	----	40,0	0,53	75,0	10,20	10,0	20,0	20,0	0,80	25,0
0,40	17,0	21,0	34,0	1,60	21,0	10,40	9,0	15,0	18,0	0,73	25,0
0,60	8,0	20,0	16,0	1,33	12,0	10,60	6,5	12,0	13,0	0,47	28,0
0,80	4,0	14,0	8,0	0,80	10,0	10,80	7,0	10,5	14,0	0,67	21,0
1,00	3,5	9,5	7,0	0,53	13,0	11,00	11,5	16,5	23,0	1,07	22,0
1,20	5,0	9,0	10,0	0,47	21,0	11,20	14,0	22,0	28,0	1,00	28,0
1,40	4,0	7,5	8,0	0,27	30,0	11,40	8,0	15,5	16,0	0,87	18,0
1,60	4,0	6,0	8,0	0,33	24,0	11,60	7,5	14,0	15,0	0,40	37,0
1,80	4,0	6,5	8,0	0,33	24,0	11,80	5,5	8,5	11,0	0,60	18,0
2,00	4,5	7,0	9,0	0,40	22,0	12,00	5,5	10,0	11,0	0,80	14,0
2,20	5,0	8,0	10,0	0,47	21,0	12,20	16,0	22,0	32,0	1,20	27,0
2,40	5,0	8,5	10,0	0,33	30,0	12,40	6,0	15,0	12,0	0,40	30,0
2,60	5,5	8,0	11,0	0,40	27,0	12,60	9,5	12,5	19,0	0,80	24,0
2,80	5,5	8,5	11,0	0,53	21,0	12,80	7,0	13,0	14,0	0,80	17,0
3,00	4,0	8,0	8,0	0,53	15,0	13,00	5,0	11,0	10,0	0,67	15,0
3,20	5,0	9,0	10,0	0,53	19,0	13,20	8,5	13,5	17,0	0,87	20,0
3,40	6,0	10,0	12,0	0,47	26,0	13,40	8,0	14,5	16,0	0,73	22,0
3,60	3,0	6,5	6,0	0,33	18,0	13,60	8,5	14,0	17,0	0,87	20,0
3,80	2,5	5,0	5,0	0,33	15,0	13,80	10,0	16,5	20,0	1,20	17,0
4,00	3,0	5,5	6,0	0,47	13,0	14,00	13,0	22,0	26,0	1,40	19,0
4,20	4,5	8,0	9,0	0,40	22,0	14,20	12,5	23,0	25,0	1,33	19,0
4,40	4,0	7,0	8,0	0,40	20,0	14,40	9,0	19,0	18,0	0,87	21,0
4,60	4,0	7,0	8,0	0,40	20,0	14,60	6,5	13,0	13,0	0,60	22,0
4,80	4,0	7,0	8,0	0,40	20,0	14,80	4,5	9,0	9,0	0,53	17,0
5,00	5,5	8,5	11,0	0,67	16,0	15,00	5,0	9,0	10,0	0,40	25,0
5,20	5,0	10,0	10,0	0,67	15,0	15,20	7,0	10,0	14,0	0,60	23,0
5,40	6,0	11,0	12,0	0,73	16,0	15,40	6,5	11,0	13,0	0,53	24,0
5,60	7,0	12,5	14,0	0,80	17,0	15,60	7,0	11,0	14,0	0,47	30,0
5,80	5,5	11,5	11,0	0,80	14,0	15,80	12,0	15,5	24,0	0,93	26,0
6,00	4,0	10,0	8,0	0,60	13,0	16,00	11,0	18,0	22,0	1,20	18,0
6,20	5,5	10,0	11,0	0,47	24,0	16,20	11,0	20,0	22,0	1,13	19,0
6,40	4,0	7,5	8,0	0,27	30,0	16,40	13,5	22,0	27,0	1,20	22,0
6,60	3,0	5,0	6,0	0,33	18,0	16,60	15,0	24,0	30,0	1,20	25,0
6,80	2,0	4,5	4,0	0,27	15,0	16,80	7,0	16,0	14,0	0,93	15,0
7,00	4,0	6,0	8,0	0,53	15,0	17,00	6,0	13,0	12,0	0,80	15,0
7,20	5,0	9,0	10,0	0,40	25,0	17,20	8,0	14,0	16,0	1,07	15,0
7,40	7,0	10,0	14,0	0,80	17,0	17,40	10,0	18,0	20,0	1,27	16,0
7,60	8,0	14,0	16,0	0,73	22,0	17,60	12,5	22,0	25,0	1,60	16,0
7,80	8,5	14,0	17,0	1,07	16,0	17,80	12,0	24,0	24,0	1,40	17,0
8,00	10,0	18,0	20,0	1,07	19,0	18,00	7,5	18,0	15,0	1,07	14,0
8,20	13,0	21,0	26,0	1,20	22,0	18,20	9,0	17,0	18,0	1,20	15,0
8,40	14,0	23,0	28,0	1,33	21,0	18,40	14,5	23,5	29,0	1,73	17,0
8,60	10,0	20,0	20,0	1,13	18,0	18,60	19,0	32,0	38,0	2,33	16,0
8,80	8,5	17,0	17,0	1,13	15,0	18,80	16,5	34,0	33,0	2,20	15,0
9,00	7,5	16,0	15,0	0,87	17,0	19,00	20,5	37,0	41,0	3,00	14,0
9,20	9,0	15,5	18,0	0,60	30,0	19,20	22,5	45,0	45,0	2,33	19,0
9,40	8,5	13,0	17,0	0,80	21,0	19,40	16,5	34,0	33,0	2,33	14,0
9,60	9,0	15,0	18,0	0,87	21,0	19,60	12,5	30,0	25,0	1,60	16,0
9,80	12,5	19,0	25,0	1,20	21,0	19,80	15,0	27,0	30,0	1,87	16,0
10,00	11,0	20,0	22,0	1,33	16,0	20,00	18,0	32,0	36,0	----	----

- PENETROMETRO STATICO tipo GOUDA da 10 t - (con anello allargatore) -
- COSTANTE DI TRASFORMAZIONE Ct = 20 - Velocità Avanzamento punta 2 cm/s
- punta meccanica tipo Begemann ø = 35,7 mm (area punta 10 cm² - apertura 60°)
- manicotto laterale (superficie 150 cm²)

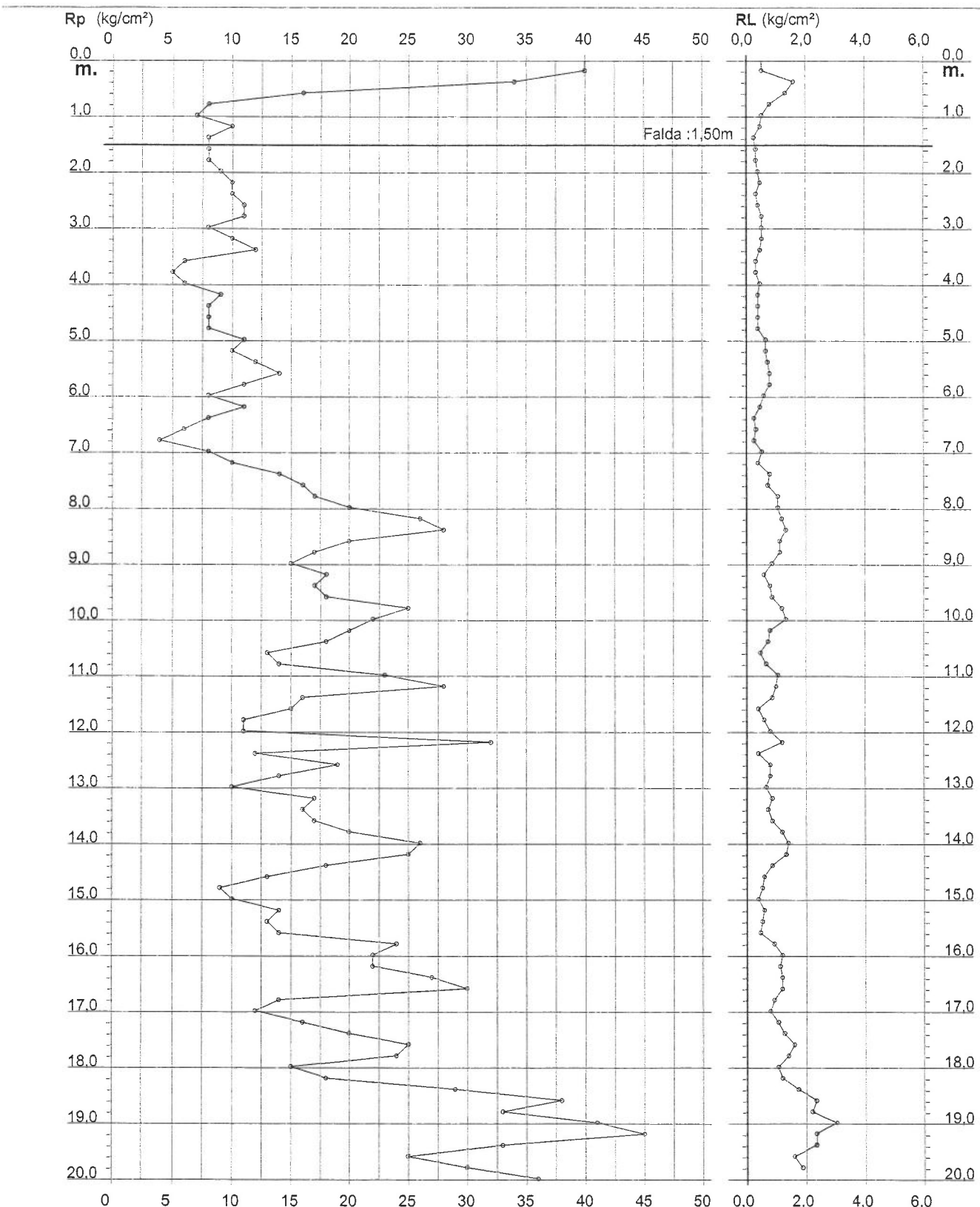
**PROVA PENETROMETRICA STATICÀ
 DIAGRAMMA DI RESISTENZA**

CPT 4

2.010496-059

- committente : Immobiliare R.B.R. s.n.c.
 - lavoro : Variante al P.R.G. - AREA L3
 - località : Via Donizzetti - San Martino in Rio (RE)

- data : 27/06/2013
 - quota inizio : Piano Campagna
 - prof. falda : 1,50 m da quota inizio
 - scala vert.: 1 : 100



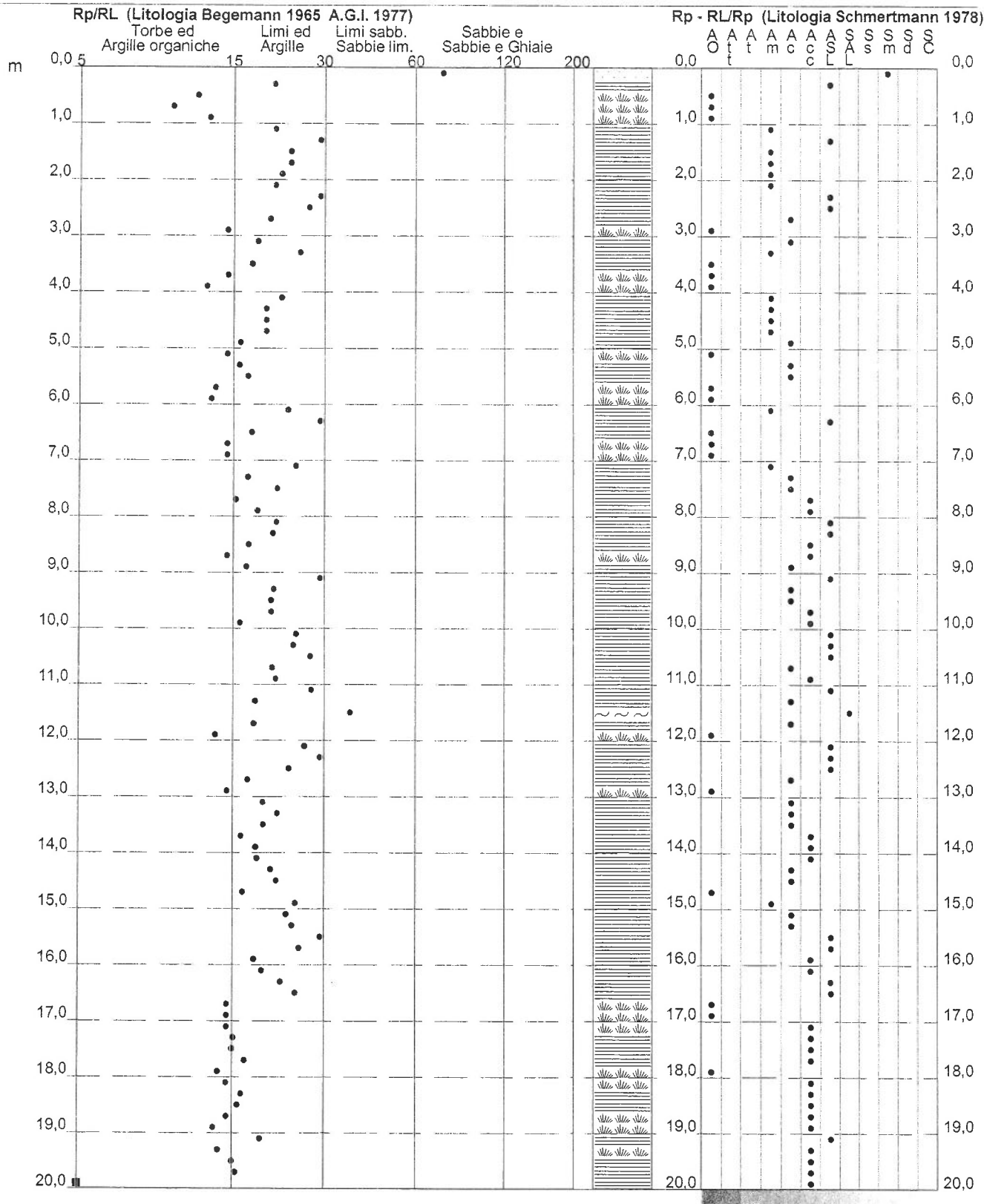
**PROVA PENETROMETRICA STATICÀ
 VALUTAZIONI LITOLOGICHE**

CPT 4

2.010496-059

- committente : Immobiliare R.B.R. s.n.c.
- lavoro : Variante al P.R.G. - AREA L3
- località : Via Donizzetti - San Martino in Rio (RE)
- note :

- data : 27/06/2013
- quota inizio : Piano Campagna
- prof. falda : 1,50 m da quota inizio
- scala vert.: 1 : 100



PROVA PENETROMETRICA STATICÀ
TABELLA PARAMETRI GEOTECNICI

CPT 4

2.010496-059

- committente : Immobiliare R.B.R. s.n.c.
- lavoro : Variante al P.R.G. - AREA L3
- località : Via Donizzetti - San Martino in Rio (RE)
- note :

- data : 27/06/2013
- quota inizio : Piano Campagna
- prof. falda : 1,50 m da quota inizio
- pagina : 1

Prof. m	Rp kg/cm²	Rp/Rt (-)	Natura Litol.	Y' t/m³	p'vo kg/cm²	Cu kg/cm²	OCR (-)	NATURA COESIVA			NATURA GRANULARE										
								Eu50 kg/cm²	Eu25 kg/cm²	Mo kg/cm²	Dr %	ø1s ()	ø2s ()	ø3s ()	ø4s ()	ødm ()	ømy ()	Amax/g (-)	E'50 kg/cm²	E'25 kg/cm²	Mo kg/cm²
0,20	40	75	3:::	1,85	0,04	--	--	--	--	--	100	42	43	45	46	45	30	0,258	67	100	120
0,40	34	21	4/::	1,85	0,07	1,13	99,9	193	289	102	98	42	43	44	46	44	29	0,253	57	85	102
0,60	16	12	2/::	1,85	0,11	0,70	62,3	118	177	52	--	--	--	--	--	--	--	--	--	--	--
0,80	8	10	2/::	1,85	0,15	0,40	21,8	68	102	35	--	--	--	--	--	--	--	--	--	--	--
1,00	7	13	1***	1,85	0,19	0,35	13,9	14	21	11	--	--	--	--	--	--	--	--	--	--	--
1,20	10	21	2///	1,85	0,22	0,50	17,3	85	128	40	--	--	--	--	--	--	--	--	--	--	--
1,40	8	30	4/::	1,85	0,26	0,40	10,8	68	102	35	18	31	33	36	39	30	26	0,035	13	20	24
1,60	8	24	2///	0,85	0,28	0,40	10,0	68	102	35	--	--	--	--	--	--	--	--	--	--	--
1,80	8	24	2///	0,86	0,29	0,40	9,2	70	105	35	--	--	--	--	--	--	--	--	--	--	--
2,00	9	22	2///	0,88	0,31	0,45	10,0	77	115	38	--	--	--	--	--	--	--	--	--	--	--
2,20	10	21	2///	0,90	0,33	0,50	10,6	85	128	40	--	--	--	--	--	--	--	--	--	--	--
2,40	10	30	4/::	0,86	0,35	0,50	9,9	85	128	40	19	31	33	36	39	30	26	0,036	17	25	30
2,60	11	27	2///	0,91	0,36	0,54	10,2	91	137	42	--	--	--	--	--	--	--	--	--	--	--
2,80	11	21	2///	0,91	0,38	0,54	9,6	92	138	42	--	--	--	--	--	--	--	--	--	--	--
3,00	8	15	2///	0,86	0,40	0,40	6,3	104	156	35	--	--	--	--	--	--	--	--	--	--	--
3,20	10	19	2///	0,90	0,42	0,50	7,9	101	151	40	--	--	--	--	--	--	--	--	--	--	--
3,40	12	26	2///	0,92	0,44	0,57	8,8	103	155	45	--	--	--	--	--	--	--	--	--	--	--
3,60	6	18	2///	0,82	0,45	0,30	3,8	128	191	29	--	--	--	--	--	--	--	--	--	--	--
3,80	5	15	1***	0,46	0,46	0,25	2,9	26	38	8	--	--	--	--	--	--	--	--	--	--	--
4,00	6	13	1***	0,46	0,47	0,30	3,6	25	38	9	--	--	--	--	--	--	--	--	--	--	--
4,20	9	22	2///	0,88	0,49	0,45	5,7	131	197	38	--	--	--	--	--	--	--	--	--	--	--
4,40	8	20	2///	0,86	0,51	0,40	4,7	141	211	35	--	--	--	--	--	--	--	--	--	--	--
4,60	8	20	2///	0,86	0,52	0,40	4,5	146	219	35	--	--	--	--	--	--	--	--	--	--	--
5,00	11	16	2///	0,91	0,56	0,54	6,0	148	222	42	--	--	--	--	--	--	--	--	--	--	--
5,20	10	15	2///	0,90	0,58	0,50	5,3	158	237	40	--	--	--	--	--	--	--	--	--	--	--
5,40	12	16	2///	0,92	0,59	0,57	6,0	158	237	45	--	--	--	--	--	--	--	--	--	--	--
5,60	14	17	2///	0,94	0,61	0,64	6,6	158	236	48	--	--	--	--	--	--	--	--	--	--	--
5,80	11	14	2///	0,91	0,63	0,54	5,1	174	261	42	--	--	--	--	--	--	--	--	--	--	--
6,00	8	13	2///	0,86	0,65	0,40	3,4	183	274	35	--	--	--	--	--	--	--	--	--	--	--
6,20	11	24	2///	0,91	0,67	0,54	4,8	185	278	42	--	--	--	--	--	--	--	--	--	--	--
6,40	8	30	4/::	0,84	0,68	0,40	3,2	190	286	35	--	28	31	35	38	25	26	--	13	20	24
6,80	6	18	2///	0,82	0,70	0,30	2,2	165	248	29	--	--	--	--	--	--	--	--	--	--	--
6,80	4	15	1***	0,46	0,71	0,20	1,3	26	38	6	--	--	--	--	--	--	--	--	--	--	--
7,00	8	15	2///	0,86	0,73	0,40	3,0	198	297	35	--	--	--	--	--	--	--	--	--	--	--
7,20	10	25	2///	0,90	0,74	0,50	3,8	210	314	40	--	--	--	--	--	--	--	--	--	--	--
7,40	14	17	2///	0,94	0,76	0,64	5,0	211	316	48	--	--	--	--	--	--	--	--	--	--	--
7,60	16	22	2///	0,96	0,78	0,70	5,4	213	319	52	--	--	--	--	--	--	--	--	--	--	--
7,80	17	16	2///	0,97	0,80	0,72	5,5	217	326	54	--	--	--	--	--	--	--	--	--	--	--
8,00	20	19	4/::	0,93	0,82	0,80	6,1	216	324	60	21	31	34	37	40	29	27	0,041	33	50	60
8,20	26	22	4/::	0,95	0,84	0,93	7,1	209	314	78	30	32	35	38	40	30	28	0,058	43	65	78
8,40	28	21	4/::	0,96	0,86	0,97	7,3	213	319	84	32	32	35	38	41	31	28	0,062	47	70	84
8,60	20	18	4/::	0,93	0,88	0,80	5,6	237	355	60	20	31	34	37	40	29	27	0,038	33	50	60
8,80	17	15	2///	0,97	0,90	0,72	4,8	249	373	54	--	--	--	--	--	--	--	--	--	--	--
9,00	15	17	2///	0,95	0,92	0,67	4,2	256	384	50	--	--	--	--	--	--	--	--	--	--	--
9,20	18	30	4/::	0,91	0,93	0,75	4,8	259	389	56	15	30	33	36	39	28	27	0,028	30	45	54
9,40	17	21	2///	0,97	0,95	0,72	4,4	266	399	54	--	--	--	--	--	--	--	--	--	--	--
9,60	18	21	2///	0,98	0,97	0,75	4,5	271	407	56	--	--	--	--	--	--	--	--	--	--	--
9,80	25	21	4/::	0,94	0,99	0,91	5,6	267	401	75	25	31	34	37	40	29	28	0,047	42	63	75
10,00	22	16	4/::	0,93	1,01	0,85	5,0	279	418	66	20	31	34	36	40	28	28	0,037	37	55	66
10,20	20	25	4/::	0,93	1,03	0,80	4,6	287	430	60	16	30	33	36	39	28	27	0,031	33	50	60
10,40	18	25	2///	0,98	1,05	0,75	4,1	293	439	56	--	--	--	--	--	--	--	--	--	--	--
10,60	13	28	2///	0,93	1,07	0,80	3,1	294	441	47	--	--	--	--	--	--	--	--	--	--	--
10,80	14	21	2///	0,94	1,09	0,84	3,2	302	454	48	--	--	--	--	--	--	--	--	--	--	--
11,00	23	22	4/::	0,94	1,10	0,87	4,6	307	461	69	19	31	34	36	40	28	28	0,036	38	58	69
11,20	28	28	4/::	0,96	1,12	0,97	5,2	308	462	84	25	32	34	37	40	29	28	0,048	47	70	84
11,40	16	18	2///	0,96	1,14	0,70	3,4	321	482	52	--	--	--	--	--	--	--	--	--	--	--
11,60	15	37	4/::	0,89	1,16	0,67	3,1	321	482	50	3	28	32	35	38	26	27	0,008	25	38	45
11,80	11	18	2///	0,91	1,18	0,54	2,3	290	435	42	--	--	--	--	--	--	--	--	--	--	--
12,00	11	14	2///	0,91	1,20	0,54	2,3	291	437	42	--	--	--	--	--	--	--	--	--	--	--
12,20	32	27	4/::	0,97	1,22	0,77	5,3	332	498	96	28	32	35	37	40	30	29	0,054	53	80	96
12,40	12	30	4/::	0,88	1,23	0,57	2,4	307	460	45	--	28	31	35	38	25	26	27	20	30	36
12,60	19	24	2///	0,99	1,25	0,78	3,4	353	530	58	--	--	--	--	--	--	--	--	--	--	--
12,80	14	17	2///	0,94	1,27	0,64	2,6	331	497												

SISMICA A RIFRAZIONE

MASW

Determinazione del Vs30



SISMOGRAFO: PASI 16SG24

winMASW_report.txt

==o== SECTION#1

dataset: San Martino in Rio - via Donizetti.DAT

minimum offset (m): 10

geophone spacing (m): 2

sampling (ms): 1

Dispersion curve: San Martino in Rio via Donizetti - Immobiliare R.B.R. Snc

Number of individuals: 30

Number of generations: 31

Adopted search space (minimum Vs & thickness): 60 1 70 4 80 11 90 0.1 100
0.1 110

Adopted search space (maximum Vs & thickness): 375 2 400 6 425 13 450 4 475 5 500

Adopted Poisson values: 0.35 0.35 0.35 0.35 0.35 0.3

Output folder: C:\winMASW411pro\output\2013\Giusti\06\San Martino in Rio - Via Donizetti

==o== SECTION#2

Rayleigh wave analysis

Optimizing Vs & Thickness - generation: 1; average & best misfits: -33.51 -12.2162
Optimizing Vs & Thickness - generation: 2; average & best misfits: -30.2571 -10.6417
Optimizing Vs & Thickness - generation: 3; average & best misfits: -32.9224 -10.3314
Optimizing Vs & Thickness - generation: 4; average & best misfits: -30.7324 -10.1758
Optimizing Vs & Thickness - generation: 5; average & best misfits: -23.5608 -10.1355
Optimizing Vs & Thickness - generation: 6; average & best misfits: -25.8545 -9.58465
Optimizing Vs & Thickness - generation: 7; average & best misfits: -28.3502 -9.58465
Optimizing Vs & Thickness - generation: 8; average & best misfits: -32.2511 -9.58465
Optimizing Vs & Thickness - generation: 9; average & best misfits: -23.3423 -9.58465
Optimizing Vs & Thickness - generation: 10; average & best misfits: -22.5748 -8.87461
Optimizing Vs & Thickness - generation: 11; average & best misfits: -28.2597 -8.87461
Optimizing Vs & Thickness - generation: 12; average & best misfits: -24.0517 -8.87461
Optimizing Vs & Thickness - generation: 13; average & best misfits: -23.768 -8.79215
Optimizing Vs & Thickness - generation: 14; average & best misfits: -24.8766 -8.79215
Optimizing Vs & Thickness - generation: 15; average & best misfits: -40.3564 -8.79215
Optimizing Vs & Thickness - generation: 16; average & best misfits: -39.0176 -8.79215
Optimizing Vs & Thickness - generation: 17; average & best misfits: -24.6756 -8.77217
Optimizing Vs & Thickness - generation: 18; average & best misfits: -21.731 -8.77217
Optimizing Vs & Thickness - generation: 19; average & best misfits: -32.2991 -8.77217
Optimizing Vs & Thickness - generation: 20; average & best misfits: -27.6738 -8.77217
Optimizing Vs & Thickness - generation: 21; average & best misfits: -34.5068 -8.77217
Optimizing Vs & Thickness - generation: 22; average & best misfits: -38.7626 -8.77217
Optimizing Vs & Thickness - generation: 23; average & best misfits: -36.9916 -8.77217
Optimizing Vs & Thickness - generation: 24; average & best misfits: -26.0169 -8.77217
Optimizing Vs & Thickness - generation: 25; average & best misfits: -25.9957 -8.77217
Optimizing Vs & Thickness - generation: 26; average & best misfits: -27.4088 -8.77217
Optimizing Vs & Thickness - generation: 27; average & best misfits: -36.0656 -8.77217
Optimizing Vs & Thickness - generation: 28; average & best misfits: -26.7527 -8.77217
Optimizing Vs & Thickness - generation: 29; average & best misfits: -31.9324 -8.77217
Optimizing Vs & Thickness - generation: 30; average & best misfits: -27.2308 -8.77217
Optimizing Vs & Thickness - generation: 31; average & best misfits: -37.537 -8.77217

Checking the new search space (for the finer search)

Now a finer search around the most promising search space area

Rayleigh wave analysis

Optimizing Vs & Thickness - generation: 1; average & best misfits: -31.9889 -8.77217
Optimizing Vs & Thickness - generation: 2; average & best misfits: -26.0739 -8.77217
Optimizing Vs & Thickness - generation: 3; average & best misfits: -35.1998 -8.77217
Optimizing Vs & Thickness - generation: 4; average & best misfits: -35.6881 -8.77217
Optimizing Vs & Thickness - generation: 5; average & best misfits: -33.9441 -8.77217
Optimizing Vs & Thickness - generation: 6; average & best misfits: -37.8352 -8.77217
Optimizing Vs & Thickness - generation: 7; average & best misfits: -30.867 -8.77217
Optimizing Vs & Thickness - generation: 8; average & best misfits: -27.2339 -8.77217
Optimizing Vs & Thickness - generation: 9; average & best misfits: -28.5487 -8.77217

Model after the Vs & Thickness optimization (fixed Poisson values):

Vs (m/s): 359 174 122 201 448 304

Poisson: 0.35 0.35 0.35 0.35 0.35 0.3

Thickness (m): 1.4 6 12 1.4 2.7

winMASW_report.txt

Number of models considered to calculate the average model: 28

#####
RESULTS winMASW Pro
#####

Dataset: San Martino in Rio - via Donizetti.DAT
Analyzed curve: San Martino in Rio via Donizetti - Immobiliare R.B.R. Snc

==o== SECTION#3

=====

MEAN MODEL

VS (m/s): 327 174 121 236 381 301
Standard deviations (m/s): 49 14 3 74 94 29

Thickness (m): 1.7 5.8 12.3 1.4 2.6
Standard deviations (m): 0.2 0.3 0.6 0.7 1.1

Approximate values for Vp, density & elastic moduli
Vp (m/s): 681 362 252 491 793 563
Density (gr/cm3): 1.96 1.81 1.72 1.88 2.00 1.91
Vp/Vs ratio: 2.08 2.08 2.08 2.08 2.08 1.87
Poisson: 0.35 0.35 0.35 0.35 0.35 0.30
Young modulus (MPa): 566 148 68 283 783 451
Shear modulus (MPa): 210 55 25 105 290 173
Lamé (MPa): 490 127 59 244 676 260
Bulk modulus (MPa): 630 164 76 314 870 376

Fundamental mode

Mean model

f(Hz) VR(m/s)
2.55263 201.2359
5.29682 147.4918
6.95777 149.8044
8.83537 149.0958
10.713 140.9271
13.5294 132.1896
16.9957 127.4881
20.8231 125.0807

First higher mode

Mean model

6.81334 231.0533
8.9798 174.7909
11.3629 165.2006
13.4572 163.5176
19.3788 143.0521

==o== SECTION#4

=====

BEST MODEL

Vs (m/s): 359.0579 173.9252 122.0984 201.4978 447.5291 304.4615
thickness (m): 1.41735 6 12.3978 1.36977 2.72396

Approximate values for Vp, density & elastic moduli
Vp (m/s): 747 362 254 419 932 570
Density (gr/cm3): 1.98 1.81 1.72 1.84 2.04 1.92
Vp/Vs ratio: 2.08 2.08 2.08 2.08 2.08 1.88
Poisson: 0.35 0.35 0.35 0.35 0.35 0.30
Young modulus (MPa): 690 148 69 201 1103 461
Shear modulus (MPa): 256 55 26 74 409 177
Lamé (MPa): 595 127 60 175 952 269
Bulk modulus (MPa): 766 164 77 224 1224 387

winMASW_report.txt

dispersion curve (frequency - Rayleigh phase velocity)

Fundamental mode)

best model

F(Hz)	VR(m/s)
2.55263	204.1181
5.29682	148.231
6.95777	150.0592
8.83537	149.0837
10.713	141.4105
13.5294	133.0394
16.9957	128.4725
20.8231	126.1209

First higher mode)

best model

6.81334	232.5218
8.9798	174.8043
11.3629	164.7958
13.4572	163.0276
19.3788	143.6637

VS5 (mean model): 207 m/s
VS5 (best model): 204 m/s

VS20 (mean model): 142 m/s
VS20 (best model): 142 m/s

VS30 (mean model): 173 m/s
VS30 (best model): 173 m/s

==o== SECTION#6

Possible Soil Type: D
(based on the mean model)

For the Italian Users:

Dalla normativa (modifiche del D.M. 14/09/2005 Norme Tecniche per le Costruzioni, emanate con D.M. Infrastrutture del 14/01/2008, pubblicato su Gazzetta Ufficiale Supplemento ordinario n° 29 del 04/02/2008):

A - Ammassi rocciosi affioranti o terreni molto rigidi, caratterizzati da valori di VS30 superiori a 800 m/s, eventualmente comprendenti in superficie uno strato di alterazione, con spessore massimo di 3 m.

B - Rocce tenere e depositi di terreni a grana grossa molto addensati o terreni a grana fine molto consistenti, con spessori superiori a 30 m, caratterizzati da graduale miglioramento delle proprietà meccaniche con la profondità e valori del VS30 compresi tra 360 m/s e 800 m/s (ovvero $NSPT30 > 50$ nei terreni a grana grossa e $cu30 > 250$ kPa nei terreni a grana fina).

C - Depositi di terreni a grana grossa mediamente addensati o terreni a grana fine mediamente consistenti, con spessori superiori a 30 m caratterizzati da graduale miglioramento delle proprietà meccaniche con la profondità e valori del VS30 compresi tra 180 m/s e 360 m/s (ovvero $15 < NSPT30 < 50$ nei terreni a grana grossa e $70 < cu30 < 250$ kPa nei terreni a grana fina).

D - Depositi di terreni a grana grossa scarsamente addensati o terreni a grana fine scarsamente consistenti, con spessori superiori a 30 m caratterizzati da graduale miglioramento delle proprietà meccaniche con la profondità e valori del VS30 inferiori a 180 m/s (ovvero $NSPT30 < 15$ nei terreni a grana grossa e $cu30 < 70$ kPa nei terreni a grana fina).

E - Terreni dei sottosuoli dei tipi C o D per spessori non superiori a 20 m, posti sul substrato di riferimento (con $VS > 800$ m/s).

S1 - Depositi di terreni caratterizzati da valori di VS30 inferiori 100 m/s (ovvero $10 < cu30 < 20$ kPa) che includono uno strato di almeno 8 m di terreni a grana fina di bassa consistenza, oppure che includano almeno 3 m di torba o argille altamente organiche.

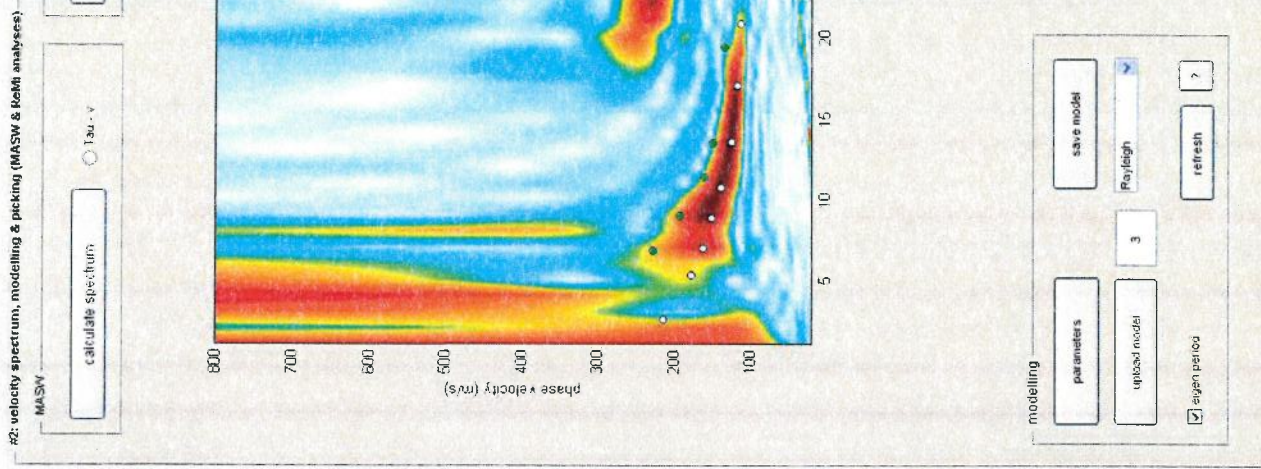
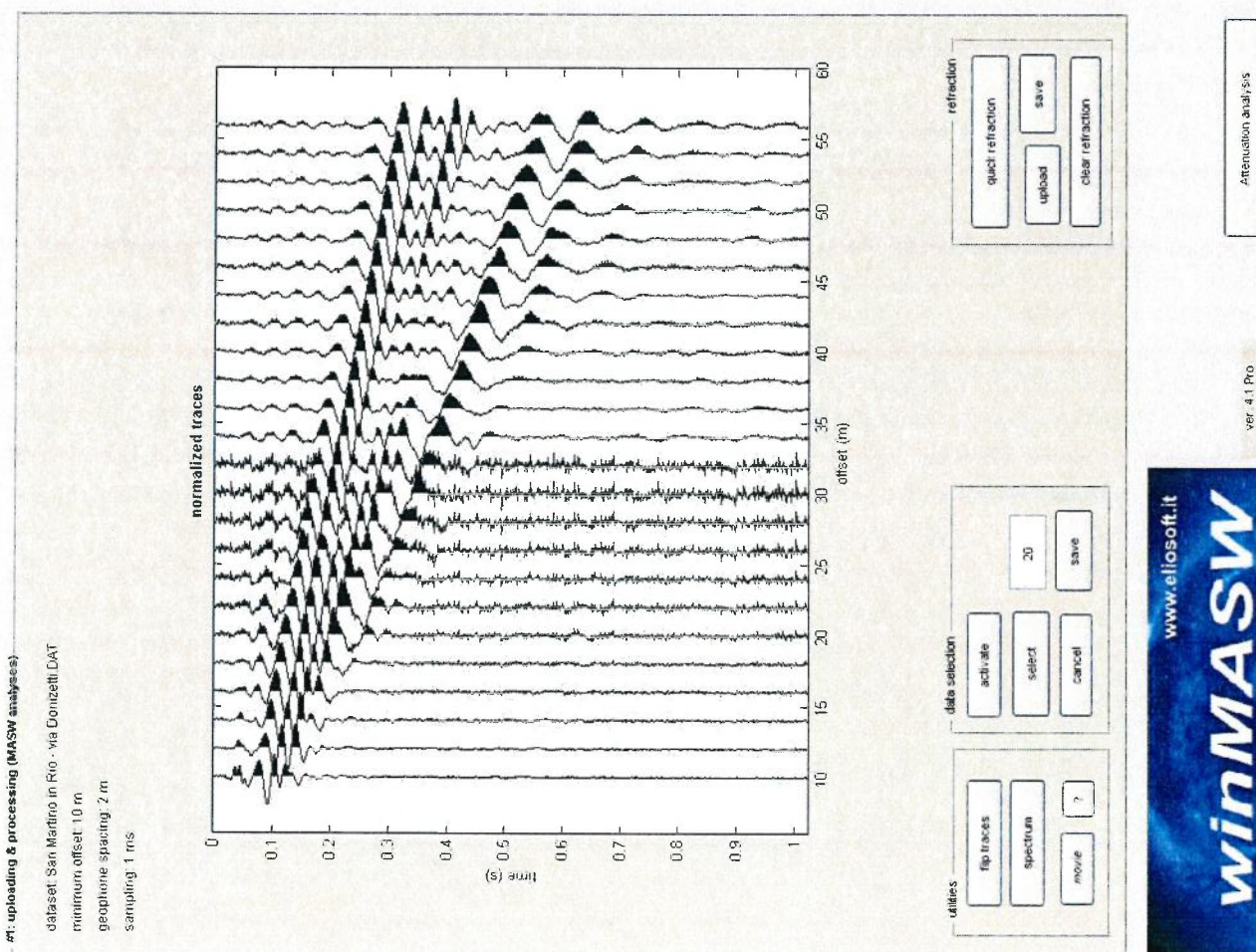
S2 - Depositi di terreni suscettibili di liquefazione, di argille sensitive, o qualsiasi altra categoria di sottosuolo non classificabile nei tipi precedenti.

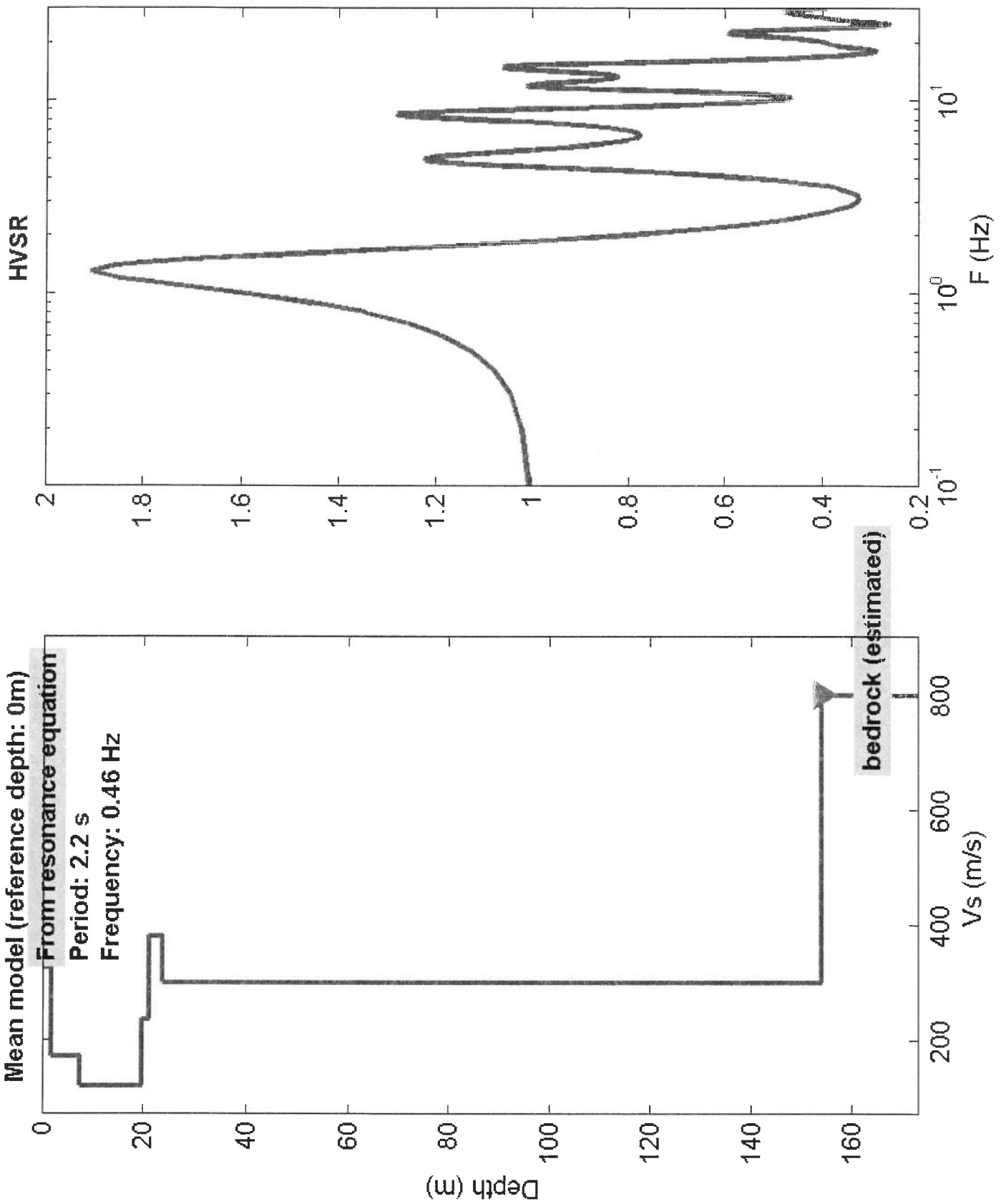
Results saved in the folder "C:\winMASW411pro\output\2013\Giusti\06\San Martino in Rio - Via Donizetti".

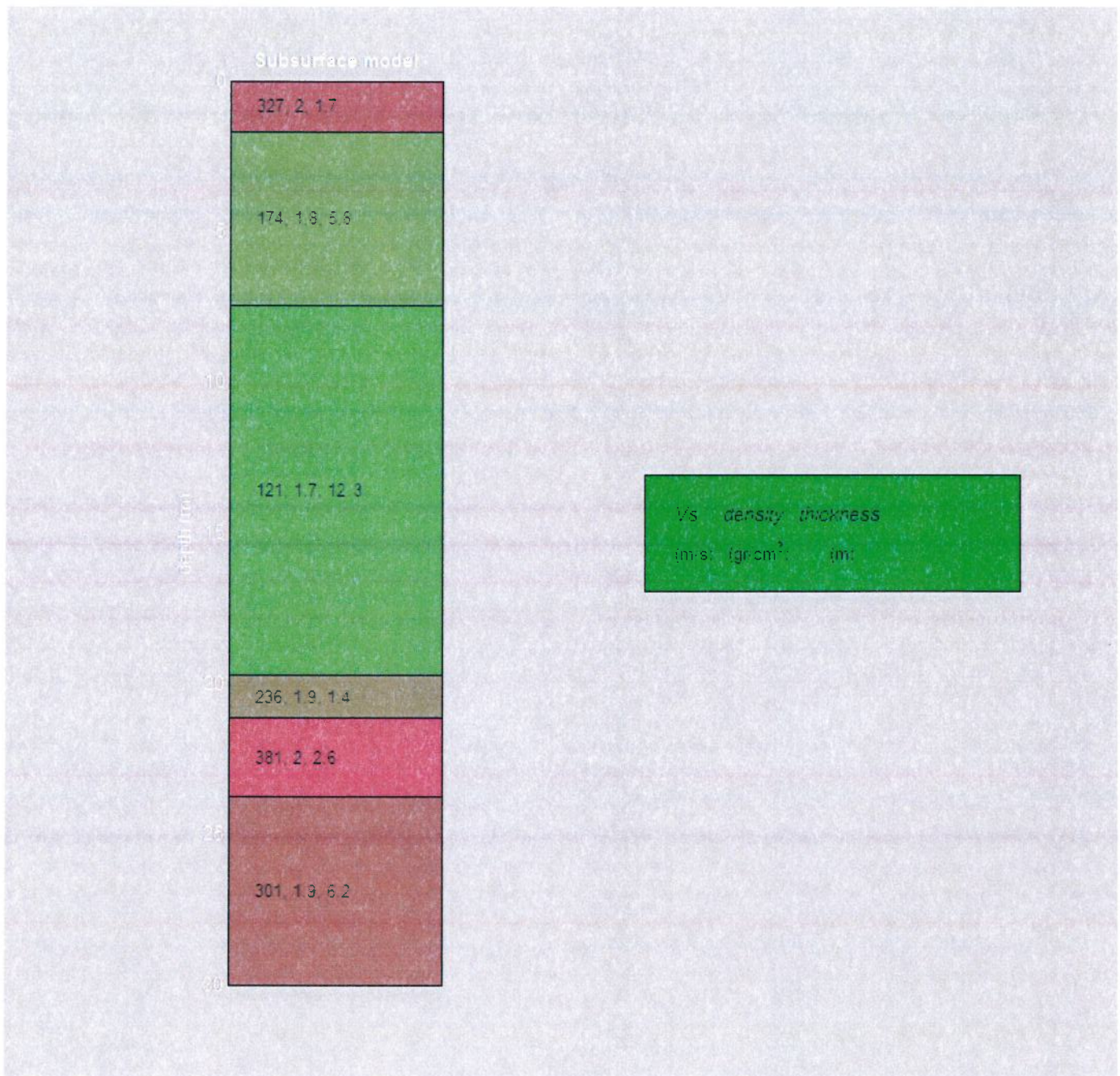
=====

winMASW 4.2 Pro
Surface Wave Analysis
via MASW - Multichannel Analysis of Surface Waves

www.eliosoft.it







winMASW 4.1.1 Pro - Inversion of Surface-Wave Dispersion Curves

Main results

See "winMASW_report.txt" for further details.

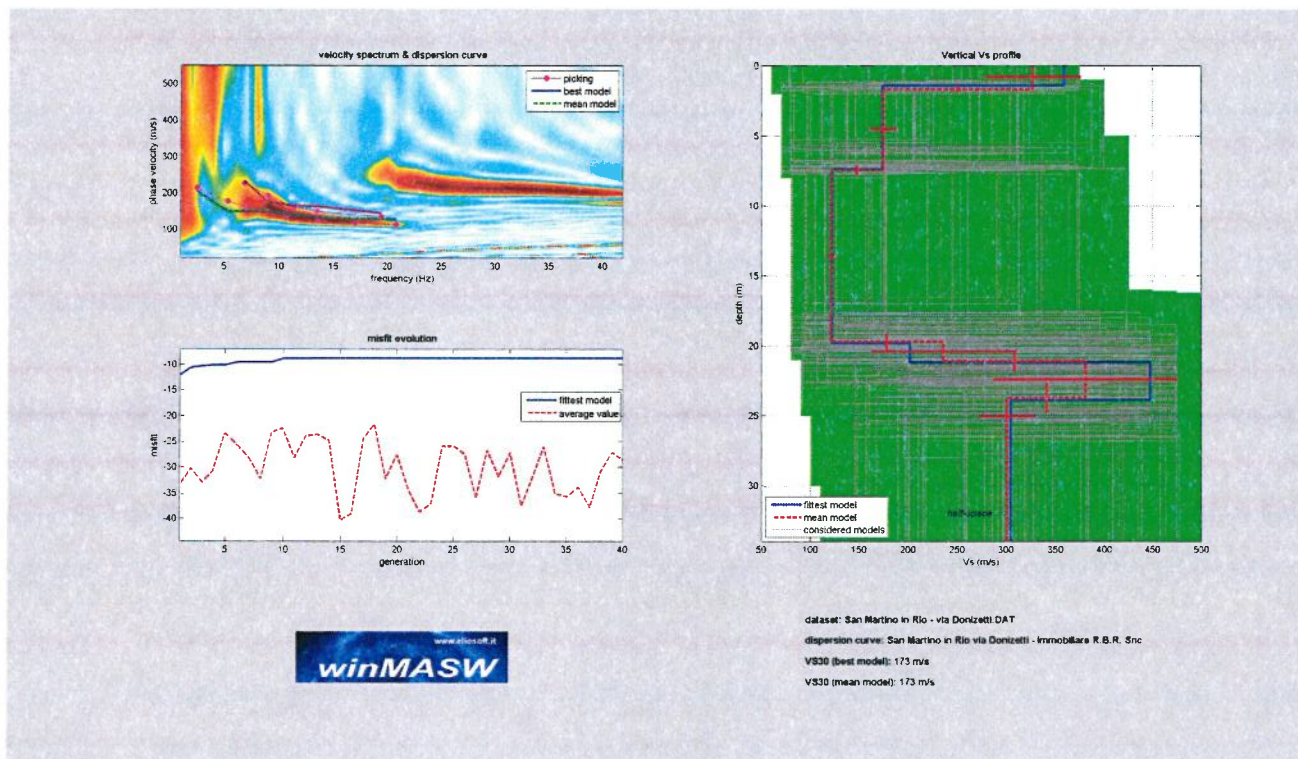
www.eliosoft.it

Date: 17 2013

Time: 14 22

Dataset: San Martino in Rio - via Donizetti.DAT

Considered dispersion curve: San Martino in Rio via Donizetti - Immobiliare R.B.R. Snc



Mean model

Vs (m/s): 327, 174, 121, 236, 381, 301

Standard deviations (m/s): 49, 14, 3, 74, 94, 29

Thickness (m): 1.7, 5.8, 12.3, 1.4, 2.6

Standard deviations (m/s): 0.2, 0.3, 0.6, 0.7, 1.1

Density (gr/cm³): 1.96, 1.81, 1.72, 1.88, 2.00, 1.91

Shear modulus (MPa): 210, 55, 25, 105, 290, 173

Analysis: Rayleigh Waves

Approximate values for Vp and elastic moduli

Vp (m/s): 681, 362, 252, 491, 793, 563

Poisson: 0.35, 0.35, 0.35, 0.35, 0.35, 0.30

Bulk modulus (MPa): 630, 164, 76, 314, 870, 376

Young's modulus (MPa): 566, 148, 68, 283, 783, 451

Lamé (MPa): 490, 127, 59, 244, 676, 260

VS30 (m/s): 173

Possible Soil Type: D

Pay attention

Soil classification must be performed by the user.

For the Italian Users:

Dalla normativa (modifiche del D.M. 14/09/2005 Norme Tecniche per le Costruzioni, emanate con D.M. Infrastrutture del 14/01/2008, pubblicato su Gazzetta Ufficiale Supplemento ordinario n° 29 del 04/02/2008):

A - Ammassi rocciosi affioranti o terreni molto rigidi, caratterizzati da valori di VS30 superiori a 800 m/s, eventualmente comprendenti in superficie uno strato di alterazione, con spessore massimo di 3 m.

B - Rocce tenere e depositi di terreni a grana grossa molto addensati o terreni a grana fine molto consistenti, con spessori superiori a 30 m, caratterizzati da graduale miglioramento delle proprietà meccaniche con la profondità e valori del VS30 compresi tra 360 m/s e 800 m/s (ovvero NSPT30 > 50 nei terreni a grana grossa e cu30 > 250 kPa nei terreni a grana fina).

C - Depositi di terreni a grana grossa mediamente addensati o terreni a grana fine mediamente consistenti, con spessori superiori a 30 m caratterizzati da graduale miglioramento delle proprietà meccaniche con la profondità e valori del VS30 compresi tra 180 m/s e 360 m/s (ovvero 15 < NSPT30 < 50 nei terreni a grana grossa e 70 < cu30 < 250 kPa nei terreni a grana fina).

D - Depositi di terreni a grana grossa scarsamente addensati o terreni a grana fine scarsamente consistenti, con spessori superiori a 30 m caratterizzati da graduale miglioramento delle proprietà meccaniche con la profondità e valori del VS30 inferiori a 180 m/s (ovvero NSPT30 < 15 nei terreni a grana grossa e cu30 < 70 kPa nei terreni a grana fina).

E - Terreni dei sottosuoli dei tipi C o D per spessori non superiori a 20 m, posti sul substrato di riferimento (con VS > 800 m/s).

S1 - Depositi di terreni caratterizzati da valori di VS30 inferiori 100 m/s (ovvero 10 < cuS30 < 20 kPa) che includono uno strato di almeno 8 m di terreni a grana fina di bassa consistenza, oppure che includano almeno 3 m di torba o argille altamente organiche.

S2 - Depositi di terreni suscettibili di liquefazione, di argille sensitive, o qualsiasi altra categoria di sottosuolo non classificabile nei tipi precedenti.

winMASW 4.1.1 Pro

Surface wave analysis modelling and inversion of Rayleigh and Love waves MASW, ReMi and attenuation analyses

www.eliosoft.it

VERIFICA A LIQUEFAZIONE



PROGRAMMA DI CALCOLO: LAN (Aztec Informatica)

Progetto: Variante al P.R.G. – Area L3
 Ditta: Immobiliare R.B.R. snc
 Comune: Via Donizzetti – San Martino in Rio (RE)

Normative di riferimento

- Normativa sismica del GRUPPO NAZIONALE di Difesa dei Terremoti.
- Raccomandazioni del National Center for Earthquake Research (NCEER)
- Eurocodice 8, Indicazioni progettuali per la resistenza sismica delle strutture
- Ordinanza Ministeriale nr. 3274 del 20 Marzo 2003
- Norme Tecniche per le Costruzioni D.M. 14 gennaio 2008

Metodo di calcolo della domanda di resistenza a liquefazione CSR

Il carico sismico, *CSR*, dipende dalla magnitudo *M* e dalla massima accelerazione in superficie, a_{max} .

Per una magnitudo M=7.5 *CSR* è espresso dalla seguente relazione

$$CSR = 0.65 * (a_{max}/g) (\sigma_{v0}/\sigma'_{v0}) * r_d$$

essendo

a_{max} picco di accelerazione orizzontale in superficie prodotto dal terremoto

g accelerazione di gravità

σ_{v0} e σ'_{v0} tensione verticale geostatica totale ed efficace

r_d coefficiente riduttivo delle tensioni

Per il coefficiente r_d si assumono i seguenti valori

$r_d = 1.0 - 0.00765z$ per $z \leq 9.15$ m

$r_d = 1.174 - 0.0267z$ per $9.15 \leq z \leq 23$ m

$r_d = 0.774 - 0.008z$ per $23 < z < 30$ m

$r_d = 0.5$ per $z > 30$ m

Per terremoti con magnitudo diversa da 7.5 si applica un fattore correttivo, *MSF*, al valore di *CSR* precedentemente calcolato.

L'equazione utilizzata per il calcolo di *MSF* viene di seguito riportata:

$$MSF = \left(\frac{M}{7.5} \right)^{-3.3} \quad \text{per } M \leq 7.5$$

$$MSF = \frac{10^{2.24}}{M^{2.56}} \quad \text{per } M > 7.5$$

L'Eurocodice 8 per tener conto di terremoti di magnitudo diversa da 7,5 utilizza la seguente correlazione :

M MSF

5.5 2.86

6.0 2.20

6.5 1.69

7.0 1.30

8.0 0.67

Metodi di calcolo della resistenza a liquefazione CRR

Metodo di Robertson

La valutazione della capacità di resistenza alla liquefazione (CRR) da prove penetrometriche statiche viene stimata dagli autori con la seguente espressione:

$$\text{CRR} = \begin{cases} 0.883 \cdot \left[\frac{(q_{c1n})_{CS}}{1000} \right] + 0.05 & \text{per } 0 < (q_{c1n})_{CS} < 50 \\ 93 \cdot \left[\frac{(q_{c1n})_{CS}}{1000} \right]^3 + 0.08 & \text{per } 50 < (q_{c1n})_{CS} < 160 \end{cases}$$

dove:

$(q_{c1n})_{CS}$: resistenza alla punta corretta e normalizzata.

Per il calcolo di $(q_{c1n})_{CS}$ si procede come di seguito :

Calcolo di q_{c1N}

$$F = \frac{f_s}{q_c - \delta_v} \cdot 100 \quad : \text{attrito laterale specifico normalizzato};$$

$$Q = \frac{q_c - \delta_v}{\delta'_v} \quad : \text{resistenza alla punta};$$

q_c : resistenza alla punta misurata espressa in $[\text{kg}/\text{cm}^2]$;

f_s : attrito laterale specifico misurato espresso in $[\text{kg}/\text{cm}^2]$

δ_v : pressione verticale totale espressa in $[\text{kg}/\text{cm}^2]$.

δ'_v : pressione verticale efficace espressa in $[\text{kg}/\text{cm}^2]$.

$$I_c = \sqrt{(\log_{10} F + 1.22)^2 + (\log_{10} Q - 3.47)^2}$$

$$q_{c1N} = C_Q \cdot q_c$$

$$C_Q = \left(\frac{1}{\delta'_v} \right)^n$$

$$n = \begin{cases} 1.00 & \text{se } I_c > 2.6; \\ 0.50 \text{ se } \begin{cases} I_c \leq 2.6 \\ \sqrt{(\log_{10} F + 1.22)^2 + (\log_{10} q_{c1N} - 3.47)^2} \leq 2.6 \end{cases} \\ 0.75 \text{ se } \begin{cases} I_c \leq 2.6 \\ \sqrt{(\log_{10} F + 1.22)^2 + (\log_{10} q_{c1N} - 3.47)^2} > 2.6 \end{cases} \end{cases}$$

deve comunque essere :

$$q_{c1N} \leq 2 \cdot q_c$$

Calcolo di $(q_{c1N})_{CS}$

$$(q_{c1N})_{CS} = K_C \cdot q_{c1N}$$

$$K_C = \begin{cases} 1 & Ic \leq 1.64 \\ -0.403 \cdot Ic^4 + 5.581 \cdot Ic^3 - 21.63 \cdot Ic^2 + 33.75 \cdot Ic - 17.88 & 1.64 < Ic < 2.6 \end{cases}$$

per $Ic \geq 2.6$ non esiste fenomeno di liquefazione.

Il metodo si basa sulla determinazione del fattore di sicurezza espresso da:

$$Fs = CRR/CSR$$

Quest'ultimo è indicativo della propensione o meno del terreno a liquefare. Il deposito sabbioso saturo è potenzialmente liquefacibile se risulta $Fs <= 1.0$

Dati Situ

Simbologia adottata

M	: Magnitudo dell'evento sismico;
a_{max}/g	: Rapporto tra accelerazione sismica massima ed accelerazione di gravità;
p_0	: Presenza di sovraccarico al piano campagna espresso in [kg/cm ²];
CdS	: Classe di sottosuolo (per classe A e B si ha CdS=1.0 per classe C si ha CdS=0.9);
z_w	: Profondità della falda dal piano campagna espressa in [m].

M	a_{max}/g	p_0	CdS	z_w
6,14	0,161	5000,00	0,90	1,7

Dati Stratigrafia

Simbologia adottata

$Nr.$: Indice dello strato;
<i>Descrizione</i>	: Descrizione strato;
h	: Spessore dello strato espresso in [m];
γ	: Peso di volume del terreno espresso in [kg/mc];
γ_s	: Peso di volume saturo del terreno espresso in [kg/mc];
d_{50}	: Diametro della curva granulometrica del passante al 50 per cento espresso in [mm];
<i>fine</i>	: Contenuto di fine presente nello strato espresso in [%].

Nr.	Descrizione	h	γ	γ_s	d_{50}	fine
1	argilla talora organica con sottili livelli di limi sabbiosi e sabbie limose	3,5	1850	1950	0,004	75,00
2	argille organiche con sottili livelli di limi sabbiosi e sabbie limose	3,5	1800	1900	0,001	85,00
3	argille con limi sabbiose, sabbie limose e sabbie	11,0	1900	2000	0,25	25,00
4	argille ed argille sabbiosi limose	2,0	1900	2000	0,00	70,00

Dati Prova Penetrometrica CPT3

Simbologia adottata

- Nr.* : Numero d'ordine dei valori delle misure della prova;
z_i : Profondità alla quale viene effettuata la misura della prova espressa in [m];
q_c : Resistenza alla punta della prova CPT espressa in [kg/cm²];
f_s : Resistenza laterale della prova CPT espressa in [kg/cm²].

Nr.	z_i	q_c	f_s
1	0,6	26,0	1,6
2	0,8	26,0	1,0
3	1,0	19,0	1,2
4	1,2	17,0	1,1
5	1,4	12,0	0,7
6	1,6	14,0	0,7
7	1,8	12,0	0,6
8	2,0	9,0	0,5
9	2,2	16,0	0,7
10	2,4	14,0	0,7
11	2,6	13,0	0,5
12	2,8	17,0	0,7
13	3,0	12,0	0,7
14	3,2	12,0	0,7
15	3,4	12,0	0,5
16	3,6	12,0	0,6
17	3,8	10,0	0,4
18	4,0	11,0	0,5
19	4,2	12,0	0,5
20	4,4	8,0	0,5
21	4,6	8,0	0,5
22	4,8	10,0	0,5
23	5,0	11,0	0,6
24	5,2	11,0	0,6
25	5,4	9,0	0,5
26	5,6	11,0	0,7
27	5,8	9,0	0,6
28	6,0	10,0	0,7
29	6,2	14,0	0,7
30	6,4	7,0	0,3
31	6,6	8,0	0,5
32	6,8	7,0	0,3
33	7,0	10,0	0,5
34	7,2	10,0	0,6
35	7,4	10,0	0,5
36	7,6	9,0	0,5
37	7,8	14,0	0,8
38	8,0	15,0	1,1
39	8,2	14,0	0,9
40	8,4	18,0	1,1
41	8,6	20,0	1,3
42	8,8	24,0	1,3
43	9,0	20,0	1,2
44	9,2	14,0	0,9
45	9,4	19,0	0,7
46	9,6	19,0	1,3
47	9,8	17,0	0,5
48	10,0	17,0	0,9
49	10,2	23,0	0,9
50	10,4	20,0	1,2
51	10,6	22,0	0,7
52	10,8	31,0	0,4

53	11,0	46,0	0,3
54	11,2	38,0	0,4
55	11,4	64,0	0,3
56	11,6	55,0	0,3
57	11,8	86,0	0,7
58	12,0	100,0	2,0
59	12,2	150,0	0,7
60	12,4	150,0	0,5
61	12,6	70,0	0,7
62	12,8	140,0	0,1
63	13,0	72,0	0,3
64	13,2	24,0	0,5
65	13,4	10,0	0,3
66	13,6	27,0	0,9
67	13,8	22,0	1,0
68	14,0	15,0	0,9
69	14,2	18,0	1,0
70	14,4	26,0	0,9
71	14,6	29,0	1,3
72	14,8	29,0	1,3
73	15,0	18,0	1,1
74	15,2	19,0	0,7
75	15,4	18,0	0,6
76	15,6	15,0	0,6
77	15,8	16,0	0,6
78	16,0	15,0	1,0
79	16,2	22,0	0,8
80	16,4	16,0	0,8
81	16,6	18,0	1,2
82	16,8	52,0	0,1
83	17,0	38,0	1,3
84	17,2	90,0	1,2
85	17,4	50,0	1,1
86	17,6	53,0	0,9
87	17,8	30,0	1,6
88	18,0	26,0	1,3
89	18,2	31,0	1,7
90	18,4	35,0	1,7
91	18,6	30,0	1,7
92	18,8	17,0	1,2
93	19,0	14,0	1,1
94	19,2	25,0	1,4
95	19,4	45,0	3,1
96	19,6	36,0	3,8
97	19,8	27,0	2,8
98	20,0	42,0	2,8

Risultati Analisi

Calcolo fattore di sicurezza

Simbologia adottata

<i>Nr.</i>	: Numero d'ordine del risultato;
z_i	: Profondità alla quale viene calcolato il fattore di sicurezza espresso in [m];
σ'_v	: tensione verticale efficace calcolata alla profondità z_i espressa in [kg/cmq];
σ_v	: tensione verticale totale calcolata alla profondità z_i espressa in [kg/cmq];
r_d	: coefficiente correttivo di riduzione delle tensioni con la profondità z_i ;
<i>MSF</i>	: coefficiente correttivo funzione della magnitudo del sisma;
<i>CSR</i>	: resistenza a taglio mobilità espressa in termini di rapporto di tensione ciclica;
<i>CRR</i>	: sforzo di taglio indotto dal sisma espresso in termini di rapporto di resistenza ciclica;
F_s	: Fattore di sicurezza espresso come rapporto tra CRR e CSR;

Medoto ROBERTSON

Nr.	z_i	σ'_v	σ_v	r_d	MSF	CSR	CRR	F_s
1	0,60	0,61	0,61	1.00	1.94	0.33	0.05	6.08
2	0,80	0,65	0,65	0.99	1.94	0.29	0.05	5.33
3	1,00	0,69	0,69	0.99	1.94	0.15	0.05	2.72
4	1,20	0,72	0,72	0.99	1.94	0.12	0.05	2.23
5	1,40	0,76	0,76	0.99	1.94	0.09	0.05	1.75
6	1,60	0,80	0,80	0.99	1.94	0.10	0.05	1.79
7	1,80	0,82	0,83	0.99	1.94	0.09	0.05	1.67
8	2,00	0,84	0,87	0.98	1.94	0.08	0.06	1.42
9	2,20	0,86	0,91	0.98	1.94	0.10	0.06	1.75
10	2,40	0,88	0,95	0.98	1.94	0.09	0.06	1.63
11	2,60	0,90	0,99	0.98	1.94	0.09	0.06	1.53
12	2,80	0,92	1,03	0.98	1.94	0.10	0.06	1.66
13	3,00	0,94	1,07	0.98	1.94	0.08	0.06	1.40
14	3,20	0,96	1,11	0.98	1.94	0.08	0.06	1.37
15	3,40	0,98	1,15	0.97	1.94	0.08	0.06	1.34
16	3,60	0,99	1,18	0.97	1.94	0.08	0.06	1.31
17	3,80	1,01	1,22	0.97	1.94	0.08	0.06	1.19
18	4,00	1,03	1,26	0.97	1.94	0.08	0.06	1.21
19	4,20	1,05	1,30	0.97	1.94	0.08	0.06	1.23
20	4,40	1,07	1,34	0.97	1.94	0.07	0.07	1.04
21	4,60	1,08	1,37	0.96	1.94	0.07	0.07	1.03
22	4,80	1,10	1,41	0.96	1.94	0.07	0.07	1.09
23	5,00	1,12	1,45	0.96	1.94	0.08	0.07	1.12
24	5,20	1,14	1,49	0.96	1.94	0.07	0.07	1.10
25	5,40	1,16	1,53	0.96	1.94	0.07	0.07	1.01
26	5,60	1,17	1,56	0.96	1.94	0.07	0.07	1.07
27	5,80	1,19	1,60	0.96	1.94	0.07	0.07	0.98
28	6,00	1,21	1,64	0.95	1.94	0.07	0.07	1.01
29	6,20	1,23	1,68	0.95	1.94	0.08	0.07	1.13
30	6,40	1,25	1,72	0.95	1.94	0.06	0.07	0.88
31	6,60	1,26	1,75	0.95	1.94	0.06	0.07	0.91
32	6,80	1,28	1,79	0.95	1.94	0.06	0.07	0.86
33	7,00	1,30	1,83	0.95	1.94	0.07	0.07	0.95
34	7,20	1,32	1,87	0.94	1.94	0.07	0.07	0.94
35	7,40	1,34	1,91	0.94	1.94	0.07	0.07	0.93
36	7,60	1,36	1,95	0.94	1.94	0.07	0.07	0.89
37	7,80	1,38	1,99	0.94	1.94	0.08	0.07	1.03
38	8,00	1,40	2,03	0.94	1.94	0.08	0.07	1.05
39	8,20	1,42	2,07	0.94	1.94	0.07	0.07	1.01
40	8,40	1,44	2,11	0.94	1.94	0.08	0.07	1.11
41	8,60	1,46	2,15	0.93	1.94	0.09	0.07	1.16
42	8,80	1,48	2,19	0.93	1.94	0.09	0.07	1.25
43	9,00	1,50	2,23	0.93	1.94	0.08	0.07	1.13

44	9,20	1,52	2,27	0.93	1.94	0.07	0.07	0.97
45	9,40	1,54	2,31	0.92	1.94	0.08	0.07	1.09
46	9,60	1,56	2,35	0.92	1.94	0.08	0.07	1.09
47	9,80	1,58	2,39	0.91	1.94	0.08	0.07	1.03
48	10,00	1,60	2,43	0.91	1.94	0.08	0.07	1.03
49	10,20	1,62	2,47	0.90	1.94	0.09	0.07	1.17
50	10,40	1,64	2,51	0.90	1.94	0.08	0.07	1.10
51	10,60	1,66	2,55	0.89	1.94	0.08	0.07	1.14
52	10,80	1,68	2,59	0.89	1.94	0.10	0.07	1.31
53	11,00	1,70	2,63	0.88	1.94	0.10	0.07	1.36
54	11,20	1,72	2,67	0.87	1.94	0.10	0.07	1.43
55	11,40	1,74	2,71	0.87	1.94	0.10	0.07	1.43
56	11,60	1,76	2,75	0.86	1.94	0.10	0.07	1.35
57	11,80	1,78	2,79	0.86	1.94	0.14	0.07	1.87
58	12,00	1,80	2,83	0.85	1.94	0.27	0.07	3.72
59	12,20	1,82	2,87	0.85	1.94	0.22	0.07	2.98
60	12,40	1,84	2,91	0.84	1.94	0.21	0.07	2.85
61	12,60	1,86	2,95	0.84	1.94	0.13	0.07	1.75
62	12,80	1,88	2,99	0.83	1.94	0.18	0.07	2.50
63	13,00	1,90	3,03	0.83	1.94	0.11	0.07	1.50
64	13,20	1,92	3,07	0.82	1.94	0.08	0.07	1.16
65	13,40	1,94	3,11	0.82	1.94	0.06	0.07	0.85
66	13,60	1,96	3,15	0.81	1.94	0.09	0.07	1.22
67	13,80	1,98	3,19	0.81	1.94	0.08	0.07	1.11
68	14,00	2,00	3,23	0.80	1.94	0.07	0.07	0.96
69	14,20	2,02	3,27	0.79	1.94	0.07	0.07	1.03
70	14,40	2,04	3,31	0.79	1.94	0.08	0.07	1.19
71	14,60	2,06	3,35	0.78	1.94	0.09	0.07	1.26
72	14,80	2,08	3,39	0.78	1.94	0.09	0.07	1.26
73	15,00	2,10	3,43	0.77	1.94	0.07	0.07	1.03
74	15,20	2,12	3,47	0.77	1.94	0.07	0.07	1.05
75	15,40	2,14	3,51	0.76	1.94	0.07	0.07	1.03
76	15,60	2,16	3,55	0.76	1.94	0.07	0.07	0.97
77	15,80	2,18	3,59	0.75	1.94	0.07	0.07	1.00
78	16,00	2,20	3,63	0.75	1.94	0.07	0.07	0.98
79	16,20	2,22	3,67	0.74	1.94	0.07	0.07	1.12
80	16,40	2,24	3,71	0.74	1.94	0.07	0.07	1.00
81	16,60	2,26	3,75	0.73	1.94	0.07	0.07	1.05
82	16,80	2,28	3,79	0.73	1.94	0.09	0.07	1.40
83	17,00	2,30	3,83	0.72	1.94	0.09	0.06	1.45
84	17,20	2,32	3,87	0.71	1.94	0.16	0.06	2.50
85	17,40	2,34	3,91	0.71	1.94	0.11	0.06	1.66
86	17,60	2,36	3,95	0.70	1.94	0.11	0.06	1.74
87	17,80	2,38	3,99	0.70	1.94	0.08	0.06	1.30
88	18,00	2,40	4,03	0.69	1.94	0.08	0.06	1.22
89	18,20	2,42	4,07	0.69	1.94	0.08	0.06	1.32
90	18,40	2,44	4,11	0.68	1.94	0.09	0.06	1.40
91	18,60	2,46	4,15	0.68	1.94	0.08	0.06	1.31
92	18,80	2,48	4,19	0.67	1.94	0.07	0.06	1.06
93	19,00	2,50	4,23	0.67	1.94	0.06	0.06	1.01
94	19,20	2,52	4,27	0.66	1.94	0.07	0.06	1.22
95	19,40	2,54	4,31	0.66	1.94	0.09	0.06	1.56
96	19,60	2,56	4,35	0.65	1.94	0.09	0.06	1.44
97	19,80	2,58	4,39	0.65	1.94	0.08	0.06	1.28
98	20,00	2,60	4,43	0.64	1.94	0.09	0.06	1.57

Indice di Liquefacibilità del deposito (I.L.): **0.85**
 Rischio di liquefazione: **basso**